

ÉPÍTŐANYAGOK MSC ROZSDAMENTES ACÉL

Dr. Kausay Tibor
BME Építőanyagok és Magasépítés Tanszék



Budapest, 2017. május 3.

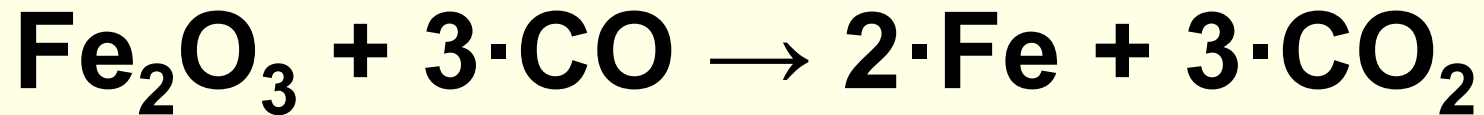
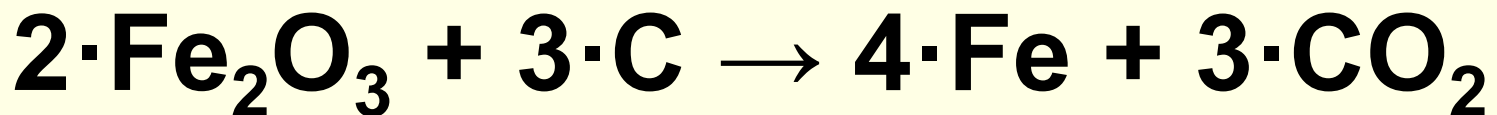
AZ ACÉLGYÁRTÁS TERMÉKEINEK RÖVID ISMERTETÉSE

Vasérc

Vasércnek az olyan **vastartalmú kőzeteket** (vaskőzeteket) nevezzük, amelyekben a vastartalmú ásványok koncentrációja már olyan magas fokú **(legalább 25 tömeg%)**, hogy azokat kohászati úton érdemes feldolgozni. A vasérc-féleségek a vas- és acélgyártás kiindulási nyersanyagai, amelyek közül a legfontosabbak: hematit (vörösvasérc), magnetit (mágnesevasérc), limonit (barnavasérc), sziderit (pátvasérc), fayalit (szilikátos vasérc).

A **nyersvasat** az ércből úgy állítják elő, hogy **redukálják**, azaz oxigéntartalmát eltávolítják.

A redukciót szénnel és szén-monoxiddal valósítják meg, például:



Nyersvas

A nyersvasat vasércből, **nagyolvasztó kohóban** állítják elő. Az előkészített (meddőtlenített, aprított, osztályozott, kevert, pörkölt stb.) vasércet koksszal és olvadáspontot csökkentő hozaganyaggal helyezik a kohóba. Az olvadáspont csökkentő, salakképző hozaganyag rendszerint mészkő, dolomit, bauxit.

A kohóból kikerülő **nyersvas** egy vasötvözet, amelynek **széntartalma 2,5 - 5,0 tömeg%**, és amely rendszerint 1 - 4 tömeg%-ban tartalmaz szennyezőket: mangánt, szilíciumot, ként, foszfort stb.

A nyersvas-termelésnek kb. 10 - 15 tömeg%-át *öntödei célokra* használják fel, a többiből *acélt* gyártanak.

A nyersvasgyártás **mellékterméke a kohósalak**.

A folyékony vas jól oldja a szenet (jól ötvöződik vele), ezért a *nyersvas*nak olyan magas a karbontartalma, hogy képlékenyen nem alakítható. A képlékenyen alakítható acél előállítása céljából a fölösleges szenet el kell távolítani.

Ez az **acélgyártás művelete, amely – a nyersvasgyártással szemben – **oxidációs** jellegű művelet. Az acélgyártás során az acélt a szén eltávolítása mellett szükség esetén más elemekkel is ötvözik, így kapják a sokoldalúan felhasználható acélminőségeket.**

Acél

Az acélt nyersvasból gyártják. Az acélgyártásnak többféle *hagyományos módja* van:

Konverteres (konverter = a nyersvas hevítésére használt körte vagy henger alakú tartály) **eljárások**, például Bessemer-, Thomas-eljárás, amelyekkel csak speciális összetételű nyersvasakat lehet feldolgozni;

Martin-eljárás (Siemens-Martin eljárás), amely a nyersvas összetételére nem kényes. A Martin-kemence váltakozó lángjárású gázkemence. (A Siemens-Martin eljárást fokozatosan korszerűbb acélgyártási módszerek váltják fel.)

A konverteres acélgyártást a kor kívánalmainak megfelelően 1950-es évektől átalakították a tömeggyártásnak megfelelően. Ezt azzal érték el, hogy nem levegővel, hanem tiszta oxigénnel végezték a frissítést (oxidációt, amelynek célja a C, P, és H₂-tartalom csökkentése oxigénbefúvás mellett), ez által nem érintkezett a fémfürdővel nitrogén. Az eljárást a *Linz-Donawitz acélmű* fejlesztette ki, és ezért **LD eljárásnak** nevezik. Az LD eljárással előállított acélok gázszegények, különösen tiszták, szívósak. Az **oxigénnel frissített acélok** kiválóan felhasználhatók hengerelt és húzott, hidegen alakított termékek készítésére.

A mai kor követelményeinek megfelelően került kifejlesztésre az **elektroacélgyártás**. Az indukciós kemencében a nyersvas megolvasztását lehet megoldani oly módon, hogy a kemencét körülvevő indukciós tekercsben nagyfrekvenciás váltóáram a fémbetétet megolvasztja. A nyersvas megolvasztása nagyon gyorsan végbemegy. A változó elektromos térben a fémfürdő állandó mozgásban van, ami elősegíti a koncentráció és a hőmérsékleti különbségek kiegyenlítését.

Az elektroacélok gyártásának egyik fő eszköze az ívfényes kemence.

Forrás: <http://tudasbazis.sulinet.hu/> és

Dr. Károly Gyula – Dr. Kiss László – Dr. Harcsik Béla:
Elektroacélgyártás, <http://metont.uni-miskolc.hu>

Öntöttvas és öntöttacél

Öntödei termék a **nyersvasból előállított öntöttvas és öntöttacél**.

Az öntöttvas széntartalma több, mint 2,06 tömeg%, míg az öntöttacél széntartalma legfeljebb 2,06 tömeg%.

Az **öntöttvasból** például szürkevas-öntvényeket gyártanak, az építőiparban szerkezeti anyagként ridegsége, kis húzószilárdsága miatt ma már nem igen használják. (Az első budapesti Lánchíd keresztartói öntöttvasból készültek.) Az öntöttvas fajták esetén különbséget kell tenni a húzószilárdság és az annál jóval nagyobb nyomószilárdság között.

Az **öntöttacélból** nagyszilárdságú acélöntvényeket, például tartószerkezetekhez sarukat, csuklókat gyártanak.

Bár a 2,06 tömeg%-nál kisebb széntartalmú vasfajtákat acéloknak nevezik, az öntöttacélt nem szokás a tulajdonképpeni acélok közé sorolni.

Az építőipari acélok széntartalma kevesebb, mint 1,7 tömeg%.

Főbb csoportosításuk az alakítás, a tulajdonságok, a felhasználás szerint a következő:

Melegen hengerelt szerkezeti acélok;

Melegen hengerelt betonacélok;

Hidegen alakított (hidegen hengerelt és hidegen húzott) betonacélok;

Hidegen húzott feszítőacélok (feszítőhuzal, feszítőpászma);

Melegen hengerelt feszítőacél (feszítőrúd).

Az acél széntartalma

Acéloknak azokat a — nyersvas feldolgozásával nyert — kis széntartalmú vas-szén ötvözeteket tekintjük, amelyek **széntartalma kevesebb, mint 2,06 tömeg%**.

Az **öntött acélok széntartalma 1,70 – 2,06 tömeg%**, a tulajdonképpeni **építőipari acélok széntartalma kevesebb, mint 1,7 tömeg%**.

A szén az acél legfontosabb ötvözője. A széntartalom növekedésével növekszik a betonacél folyáshatára és szakítószilárdsága, csökken a nyúlása, kontrakciója és ütőmunkája (lásd az ábrát a következő oldalon).

Az acélok nyomódiagramja hasonló a húzódiagramjukhoz, de a nyomószilárdság a húzószilárdságnál valamivel nagyobb, ezért **a húzószilárdságot tekintik mértékadónak, és a nyomószilárdságot általában nem vizsgálják.**

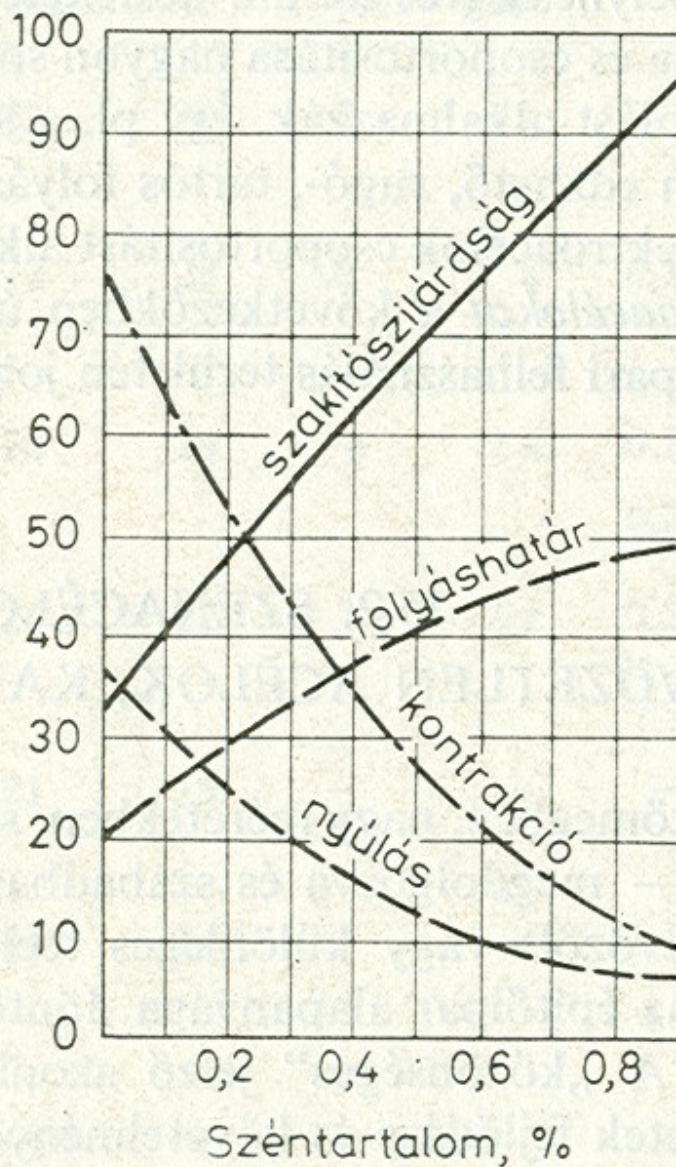
$1 \text{ kp/mm}^2 \sim 10 \text{ N/mm}^2$

Szakítószilárdság, kp/mm^2

Folyáshatár, kp/mm^2

Nyúlás, %

Kontrakció, %



VI. 139. ábra

A széntartalom hatása az acél mechanikai tulajdonságaira

Forrás:
Dr. Palotás
László:
Fa –kő – fém –
kötőanyagok.
Mérnöki
szerkezetek
anyagtana,
2. kötet.
Akadémiai
Kiadó.
Budapest, 1979.

Az acél hegeszthetősége

A szenen kívül más ötvözőt nem tartalmazó ún. ötvözetlen szénacél általában akkor hegeszthető, ha a széntartalma legfeljebb 0,22 – 0,25 tömeg%.

A hegeszthető acél ne legyen edzhető. (Edzés az a hőkezelési eljárás, amikor az acélt felmelegítik 950 °C fölé, majd nagy sebességgel lehűtik. Az edzés célja a nagykeménységű szövetszerkezet előállítása. Az erősen edzett acélok üvegszerűen ridegek.)

A nem edzhető acél-ötvözetek az edzhetőknél puhábbak, ezért azokat **lágymasnak (lágyacélnak)** nevezik, ezt az elnevezést sokszor a betonacél szinonimájaként használják.

A betonacélokat meleg hengerléssel vagy hideg alakítással gyártják.

A 0,22 – 0,25 tömeg%-nál nem nagyobb széntartalmú **melegen hengerelt betonacélok** (MSZ 339:1987) és a legfeljebb 0,2 tömeg% széntartalmú **hidegen alakított (hidegen hengerelt és hidegen húzott) betonacélok** („hálóacélok”, MSZ 982:1987 és DIN 488-1:2009) **jól hegeszthetők.**

A **hidegen húzott feszítőhuzalok** (ötvözetlen acélhuzalok, MSZ 5720:1993, prEN 10138-1:2000, DIN EN 10138-1:2000, MSZ EN 10027-1:2017) széntartalma 0,45 – 0,80 tömeg%, tehát **nem hegeszthetők.**

A szenen kívül más ötvözőt is tartalmazó, ún. ötvözött szénacél hegeszthetőségét az ötvöző elemek (szén, mangán, króm, molibdén, vanádium, nikkel, réz,) mennyiségét is figyelembe vevő **szénegyenérték (C_{ekv}) fejezi ki**, amelynek megengedett legnagyobb értéke a hegesztendő anyag vastagságától (d) függ, elegendő üzembiztonság mellett például

$d = 6,35$ mm esetén $C_{ekv} \leq 0,45$ tömeg%,

$d = 12,7$ mm esetén $C_{ekv} \leq 0,40$ tömeg%,

$d = 25,4$ mm esetén $C_{ekv} \leq 0,35$ tömeg%.

Forrás: *Balázs György: Építőanyagok és kémia.* Tankönyvkiadó. Budapest, 1984. 12.7. táblázat.

A **szénegyenértéket** (C_{ekv} , ill. C_{eq}) a hegeszthető betonacélokra az MSZ EN 10080:2005 európai szabvány az anyagvastagságtól függetlenül a következő képletből számítja ki:

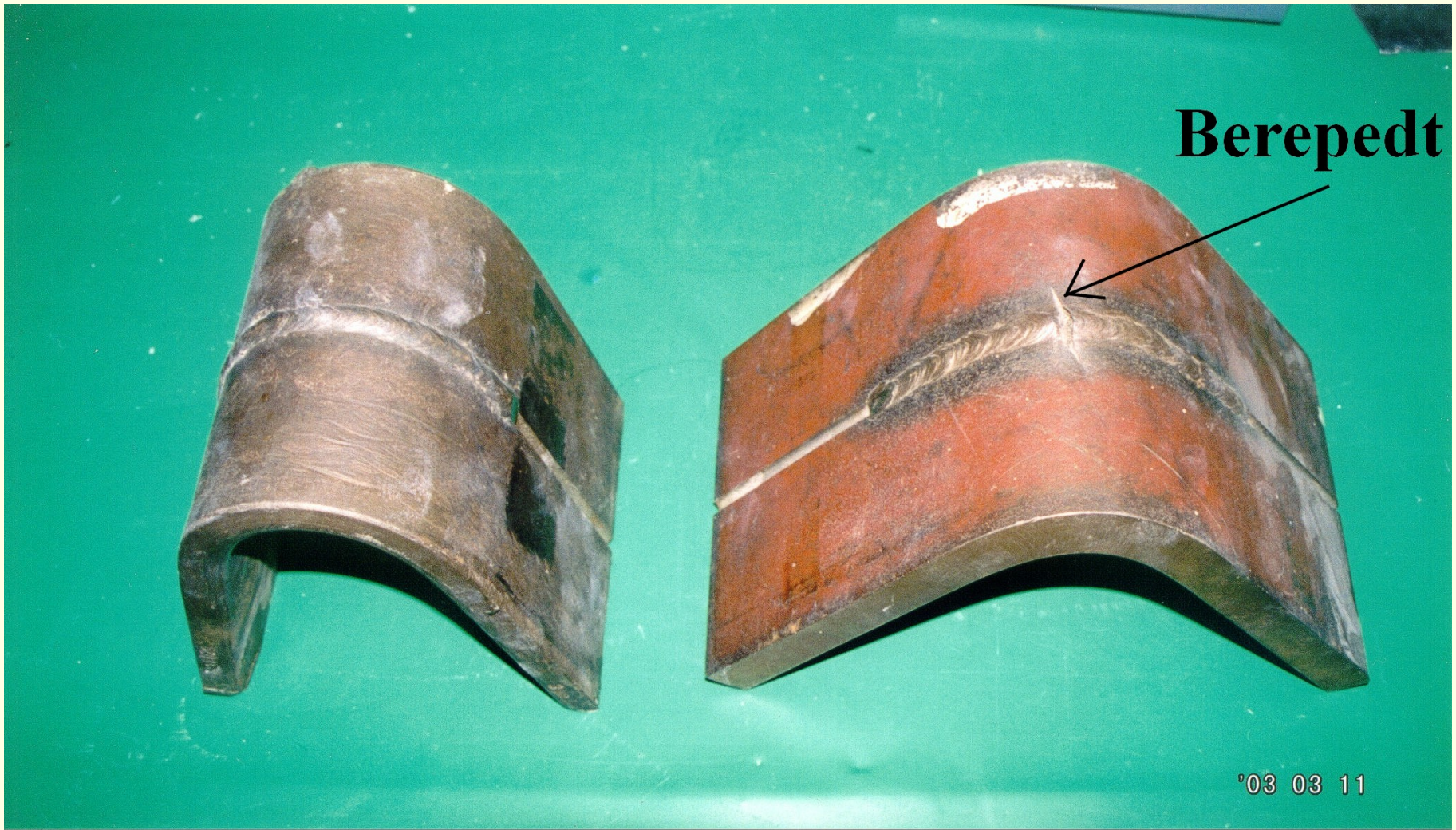
$$C_{eq} \% = C + \frac{Mn}{6} + \frac{Cr + Mo + V}{5} + \frac{Ni + Cu}{15}$$

és a hegeszthetőség feltételeként

olvadékvizsgálat esetén $C \% \leq 0,22$ és
 $C_{eq} \% \leq 0,50$ tömeg%;

termékvizsgálat esetén $C \% \leq 0,24$ és
 $C_{eq} \% \leq 0,52$ tömeg%

követelményt támasztja.



Hegesztési varrat vizsgálata hideghajlítással

A vas és az acél bizonyos idő elteltével a levegőn, a vízben vagy a földben és *karbonátosodott betonban* elkezd korrodálni (rozsdásodni).

2007/10/8 13:26

A VAS- ÉS ACÉLKORROZÓ FAJTÁI

Forrás:

<http://www.geniusmbt.hu/szakcikkek/korrvedelem/korrozvedelem.htm>

Ha a rozsdát megelemezük, akkor azt találjuk, hogy az **vasoxid**. Ha a kibányászott vasércet elemezzük meg, akkor arról is azt fogjuk megállapítani, hogy az is **vasoxid**! A **rozsd**a legstabilabb alakja az Fe_3O_4 .
A korrózió tehát az ember által végzett fémgyártásnak a természeti erők révén megfordított, ellentétes irányú folyamata.

- **Egyenletes vagy általános korrózió**

Elektrokémiai korrózió a teljes felületen, az anód és a katód állandó eltolódása következtében. Például a **beton karbonátosodása egyenletes kémiai acélbetét korrózióra** vezet.

- **Lyukkorrózió**

Lokalizált elektrokémiai korrózió, amelyet a nagy katód felülethez képest kis anód felület eredményez. Például a **kloridkorrózió elektrokémiai acélbetét lyukkorrózió**.

- **Galvanikus korrózió**

Különböző fémeket összekapcsolva elektroliton keresztül az anódikus fém korróziója lényegesen nagyobb mérvű lesz, mint a katódikus fém.

- **Réskorrózió**

Az oxigénszint eltérései okozzák, rendszerint a levegő-folyadék fázishatárok mentén.

- **Eróziós korrózió**

Szilárd anyagok, folyadékok és gázok koptató hatása következtében fellépő mechanikai hatás következménye.

- **Feszültségkorrózió**

Az acélban meglévő feszültségek hatására az acélszemcsék anódokká válnak a szomszédos felületekhez képest, ami repedéseket idézhet elő.

- **Szemcseközi korrózió**

Szelektív korróziós hatás a fémekben lévő szemcsék felülete mentén. Legáltalánosabb példája az ausztenites rozdaálló acél hőkezelése során fellépő folyamat.

- **Súrlódási korrózió**

Eróziós korrózió, melyet a buborékok szétpattanása okoz az acél felületén. Például: hajócsavarok, szivattyú lapátkerekek, turbina lapátok felületén.

- **Ütközési korrózió**

Nagy sebességű folyadékok mozgása által okozott fizikai-kémiai hatás.

- **Rideg törékenység**

A hidrogén gáznak a fémbe való diffundálása révén következik be, ott ahol a fémbe feszültségek lépnek fel.

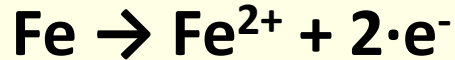
- **Grafitosodás**

Vas szelektív kiválása öntöttvasból, grafit hátrahagyásával.

- **Kóboráram**

Nedves talajokon következik be, ott ahol a fémek olyan közvetlen áramforrásoknak vannak kitéve, mint a villamos vasút, vagy a hegesztő berendezések.

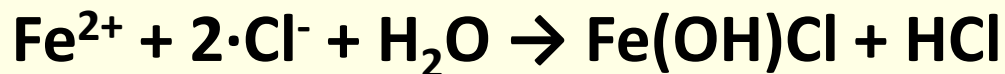
Kloridkorrózió esetén a vas ionos formában oldódik, és ez *elektrokémiai acélbetét lyukkorrózióra* vezet:

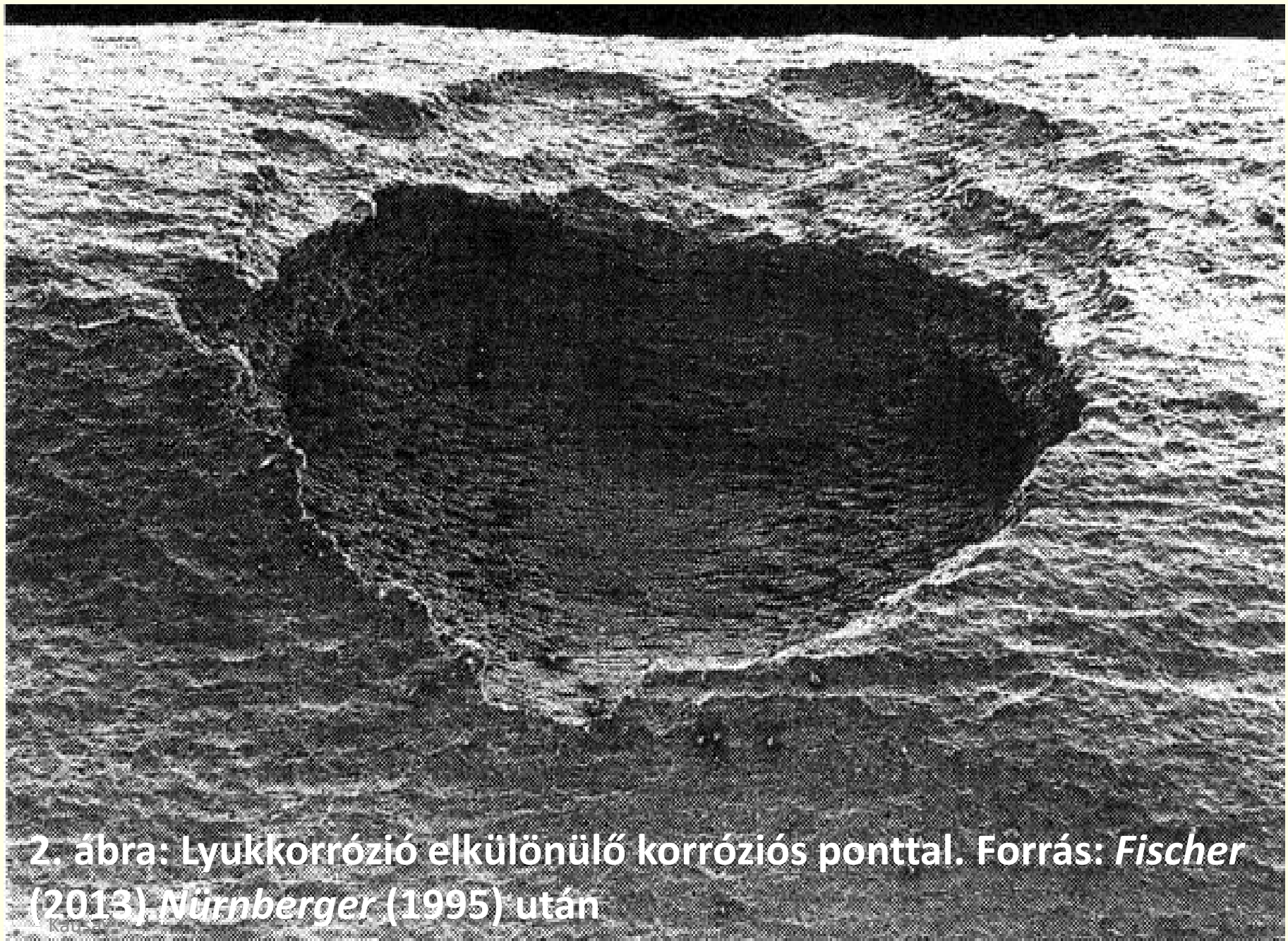


A folyamat elektron leadással jár, tehát oxidáció, a vas oxidálódik.

Az oxidációs folyamatokat az elektrokémiában anódos folyamatnak nevezik.

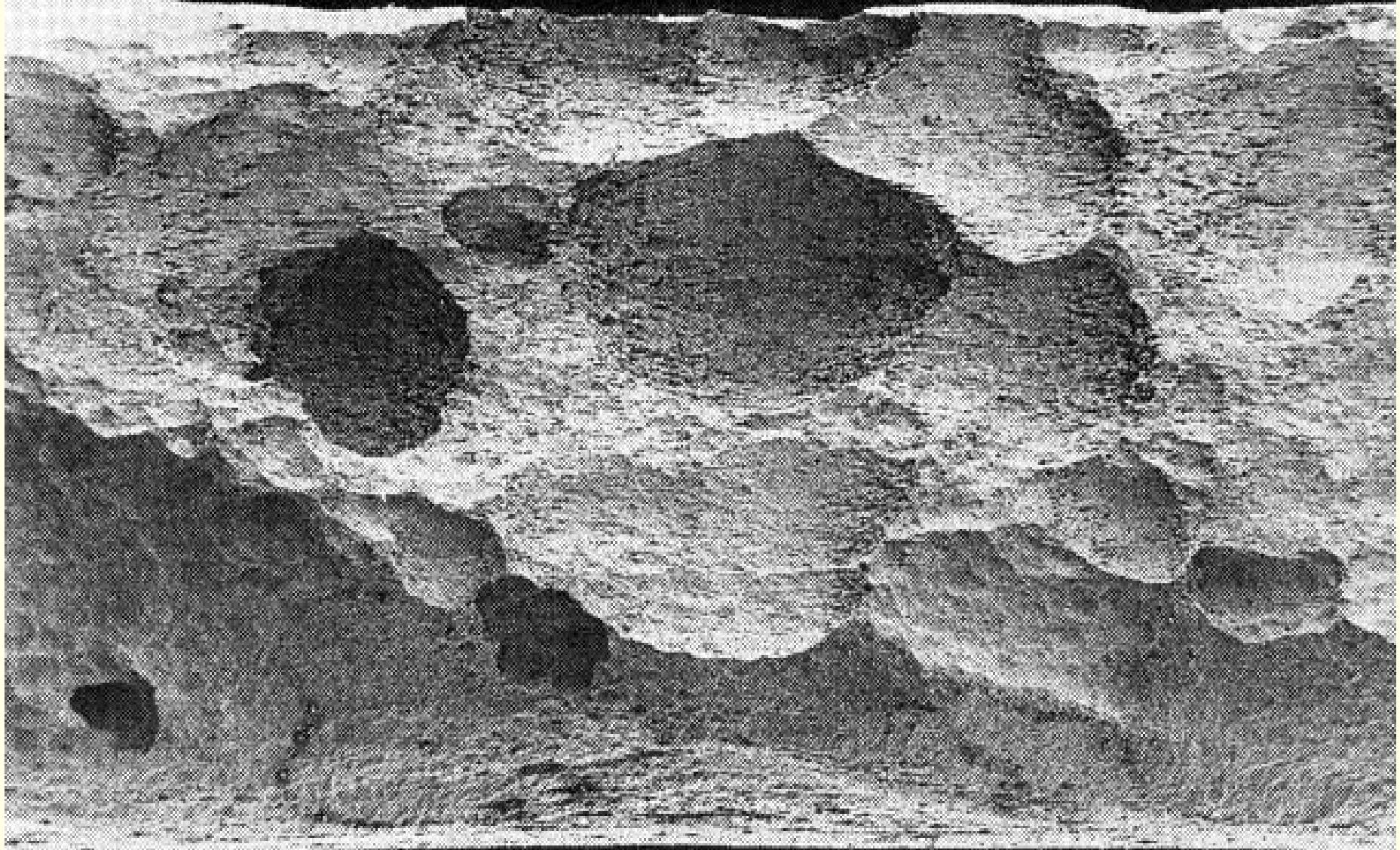
Kloridionok jelenléte esetén a kloridionokkal az oldatban ment vasionok sósav (HCl) képződése mellett reakcióba lépnek, miáltal az acélfelület egy pontjának (korróziós pont → pontkorrózió → lyukkorrózió) környezete erősen savassá válik ($\text{pH} \leq 5$):





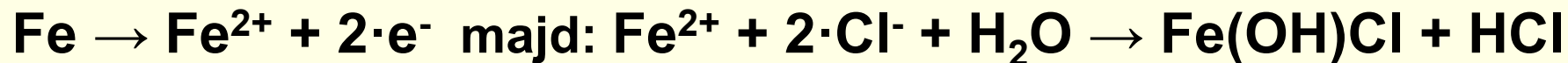
2. ábra: Lyukkorrózió elkülönülő korróziós ponttal. Forrás: *Fischer (2013), Nürnberg (1995)* után

3. ábra: Lyukkorrózió összenőtt korróziós pontokkal.



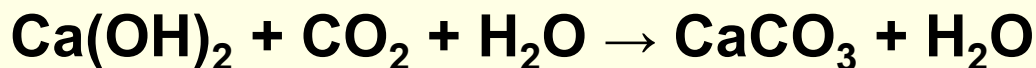
Forrás: *Fischer (2013) Nürnberger (1995) után*

A lyukkorrózióra vezető **kloridkorrózió** oxidációs (elektron leadással járó) folyamat, a vas oxidálódik. Az oxidációs folyamatokat az elektrokémiában anódos folyamatnak nevezik:



Az anódos folyamat nem csak kloridok hatására, hanem levegő vagy hosszú idejű vízátzivárgás hatására végbemenő **karbonátosodás** folytán is létre jöhet.

A **beton karbonátosodása** azonban nem elektrokémiai lyukkorrózióra, hanem **egyenletes kémiai acélbetét korrózióra** vezet. A karbonátosodás hatására, amelynek kémiai egyenlete (Benedix, 2008):



a cementkő lúgossága csökken. Ha a megsavanyodott zóna eléri a vasalást, akkor az acélbetét felületén a korábbi nagy pH folytán kialakult passzív védőréteg felbomlik, és megindul az **acélbetét korróziója**.

A **rozsa** a betonacél felületén rakodik le, de egy része az acélbetétet környező cementkő pórusaiba és a beton repedéseibe – azok tágulását okozva – vándorol (*Fischer, 2013*).

A betonacél felületén lerakódó rozsa porózus szerkezetű, és az acélbetét további korrodálódását nem akadályozza meg, **térfogata pedig mintegy hatszorosa a vas térfogatának**, ezért repesztő hatású.

Az acél korróziójáról részletesebben itt lehet olvasni:

<http://www.betonopus.hu/szakmernoki/178-femkorrozio.pdf>

Az acélkorrózió elleni védekezésül fejlesztették ki a rozsdamentes acélokat.

A **rozsdamentes acél** (más néven inox acél, az „inox” elnevezés a francia inoxydable szóból) egy minimum 10,5% krómot tartalmazó, nagyon alacsony széntartalmú acélötvözet, mely segítségével az acél fokozott rozstaállóságot nyer a közönséges acéllal szemben.

Kutatása már az ókorban elkezdődött. Erre az egyik híres példa a Delhiben álló, ma sem rozsdás, 7 m magas, 6 tonnás vasoszlop, amelyet **II. Csandragupta** (380-415) emeltetett Kr. után 400 körül. A rozsdamentes acélokkal szemben ezen ötvözet rozstaállóságát nem a króm, hanem a magas foszfortartalom (kb. 1%-os, szemben a jelenkori vas mintegy 0,05%-os foszfortartalmával) adta, ami a megfelelő klíma mellett a vasoxid mellett foszfátokat tartalmazó réteget képezett, ami megvédte a vas anyagát.

Az első krómtartalmú rozstaálló acélt **Pierre Berthier** (1782–1861) francia kohász készítette 1821-ben, aki emellett savállóságát is kiemelte, és javasolta a konyhai eszközökben való használatát. A XIX. század fémfeldolgozó-ipara nem volt képes a mai rozsdamentes acélokra jellemző alacsony széntartalmat és magas krómtartalmat biztosítani, ezért az eredmény nem volt elegendő a mindennapi felhasználáshoz.

Az 1890-es évek végén **Hans Goldschmidt** (azaz **Johannes Wilhelm Goldschmidt**, Berlin, 1861. január 18. – Baden-Baden, 1923. május 21.) kémikus Németországban kidolgozta azt az aluminotermikus módszert, amellyel szénmentes krómot tudott előállítani.

Forrás: https://hu.wikipedia.org/wiki/Rozsdamentes_acél
https://hu.wikipedia.org/wiki/Gupta_Birodalom
<http://www.expressindia.com>
[https://de.wikipedia.org/wiki/Hans_Goldschmidt_\(Chemiker\)](https://de.wikipedia.org/wiki/Hans_Goldschmidt_(Chemiker))

1821: **Pierre Berthier** (Nemours, 1782 – Párizs, 1861) francia geológus nyilvánosságra hozta kísérleti eredményeit az acélnak krómmal történő ötvözéséről.

1904-1911: **Léon Alexandre Guillet** (Saint-Nazaire, 1873-1946) francia kohász publikálta az acél, króm és nikkel ötvözésével foglalkozó kutatásainak eredményeit. Ezt az ötvözetet tekintjük ma rozsdamentes acélnak.

1911: **Albert Marcel Germain René Portevin** (Párizs, 1880 – Abano Terme, 1962) francia kohász nyilvánosságra hozta *Guillet* kutatásaira támaszkodva a német **W. Giesennel** (1909-ben) elért eredményeit, amelyek lényegében megfelelnek a mai ausztenites, martenzites és ferrites rozsdamentes acélminőségnek.

1911: **Philip Monnartz** közreadott kutatásában összefüggésbe hozta a króm tartalmat és a korrózióval szembeni ellenállóképességet.

1911: **Elwood Haynes** (Portland, Indiana, 1857 – Kokomo, Indiana, 1925) kohász az USA-ban kísérletezni kezdett a krómacéllal, és meghatározta a króm szerepét a kémiai és atmoszférikus hatások elleni korrózióállóságban. 1916-ban bejelentett szabadalmi igényét 1919-ben ismerték el.

Két króm-nikkel rozsdamentes acélt szabadalmaztatott 1912-ben az esseni *Friedrich Krupp AG.* két mérnöke, **Dr. Benno Strauss** (Fürth, 1873. január 30. – Vorwohle, 1944. szeptember 27.) kohász, fizikus és munkatársa **Dr. Eduard Maurer** (Königstein im Taunus, 1886. november 3. – Warnemünde, 1969. február 21.) kohász, vegyész.

Kettőjük viszonya később végzetesen megromlott.

Eduard Maurer 1925-ben elhagyta a Krupp Műveket és a vaskohászati tanszék vezető professzora lett a freibergi Bergakademie-n, majd 1951-től a berlini Humboldt Egyetemen.

Benno Strauss sorsa a II. világháború idején tragikus fordulatot vett. 1935-ben a Krupp Művek származása miatt felmondott neki, megfosztották a münsteri „Westfälische Wilhelms-Universität” egyetemen betöltött professzori állásától, 1938-ban elkobozták vagyonát, majd 1944. szeptember 18-án kényszermunkára koncentrációs táborba hurcolták, ahol néhány nap múlva tüdőgyulladásban halt meg.

Forrás: https://de.wikipedia.org/wiki/Benno_Strauß
https://de.wikipedia.org/wiki/Eduard_Maurer

Benno Strauss emlékét
esseni lakóházán emléktábla
őrzi.

Essenben és Fürthben
utcát neveztek el emlékére.



Eduard Maurer
emléktáblája Freibergben
a Bányászati Akadémián.

Rostfreie Stähle

Berechtigte deutsche Bearbeitung der Schrift „Stainless Iron and Steel“ von J. H. G. Monypenny in Sheffield

Von

Dr.-Ing. Rudolf Schäfer

Mit 122 Textabbildungen



Berlin
Verlag von Julius Springer
1928

Az angol szakirodalom a rozsdamentes krómacél angol feltalálójának **Harry Brearley** (Sheffield, 1871. február 18. – Torquay, 1948. augusztus 12.) kohómérnököt tartja.

Emléktábla **Harry Brearley** emlékére Sheffieldben.



Harry Brearley a nagy krómtartalmú acélok korrózióállóságát 1913-ban találta fel, amikor Sheffieldben a *John Brown and Co. Ltd.* és a *Thomas Firth and Sons Ltd.* cégeknél a harcászati eszközök korróziójával foglalkozott. Kísérletei során a hőkezelés különböző állapotában lévő acélok közül számosat mikroszkopikusan megvizsgált, és arra figyelt fel, hogy a nagy krómtartalmú acélokat a vékonycsiszolatok feltárásához használt szokásos maratószerrek egyáltalán nem, vagy nagyon lassan támadták meg; és ezek az acélok, ha hosszabb ideig a laboratóriumban a levegőn álltak, lényegében nem rozsdásodtak.

Harry Brearley 1914-ben megállapodott **Ernest Stuart**-tal, a sheffieldi *Robert Fead Mosley & Co.* cég készítményének vezetőjével, és a *Mosley* cég elkezdte a készgyártást az új acélfajta egyikének felhasználásával.

Bizonyos nehézségek folytán **Harry Brearley** – akkor már a sheffieldi *Brown, Bayleys Steel Works Ltd.* vezetőjeként – találmányát nem Angliában, hanem 1915 augusztusában Kanadában (Nr. 164622), majd 1916 szeptemberében az USA-ban (Nr. 1197256) szabadalmaztatta. A szabadalmaztatott acél krómtartalma 9-16 tömeg%, széntartalma kevesebb mint 0,7 tömeg%, optimálisan kevesebb mint 0,4 tömeg% volt.

A **Brearley**-féle rozsdamentes acélokat Franciaországban 1915. december 31-én szabadalmaztatták (Nr. 483152).

A kanadai **Brearley szabadalom** szerint a 900 °C hőmérsékleten olajban edzett és 700 °C hőmérsékleten megeresztett rozsdamentes acél széntartalma 0,24 tömeg%, mangántartalma 0,3 tömeg% és krómtartalma 13 tömeg%, folyáshatára mintegy 60 kg/mm² (~600 N/mm²), szakítószilárdsága 76 kg/mm² (~760 N/mm²), nyúlása 25%, kontrakciója 63% és IZOD-féle fajlagos ütőmunka szívósság 12 mkg/cm² (~120 J/cm²) volt.

EDZÉS-MEGERESZTÉS FOGALMA

Az acélok kristályszerkezete kémiai összetételtől függően más 700-900 °C hőmérséklet alatt (**alfavas**) mint felett (**gammavas**).

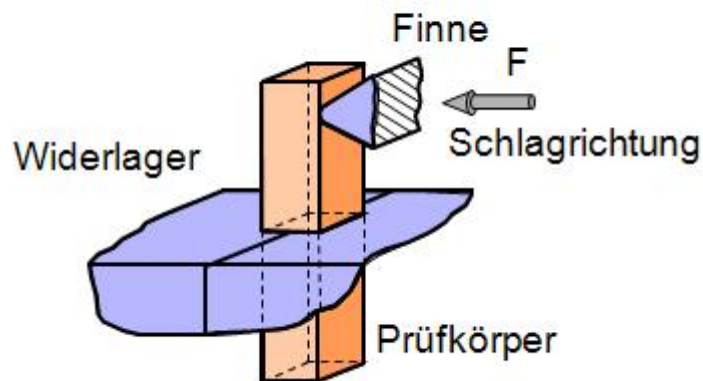
Az alfa és gamma módosulatok az ötvözőket különböző mértékben oldják. Például a gammavas nagymértékben oldja a szenet, míg az alfavas igen kis mértékben.

Ha az alfa állapotból gamma állapotba (**ausztenites** állapot) hevítjük az acélt, majd visszahűtjük, akkor a következő esetek állhatnak fenn:

- Lassú hűtés esetén visszaáll az egyensúlyi állapot, tehát az acél lágy marad.
- Gyors hűtés esetén a gamma-alfa átalakulás végbemegy ugyan, de a szén nem tud kiválni, ezért szénben túltelített alfavas jön létre, amely nagy keménységű, rideg, úgynevezett **martenzites** szerkezetű. Az edzés célja a „nem egyensúlyi” állapot létrehozása.

Forrás: <http://www.sasovits.hu/cnc/irodalom/hokezeles.pdf>

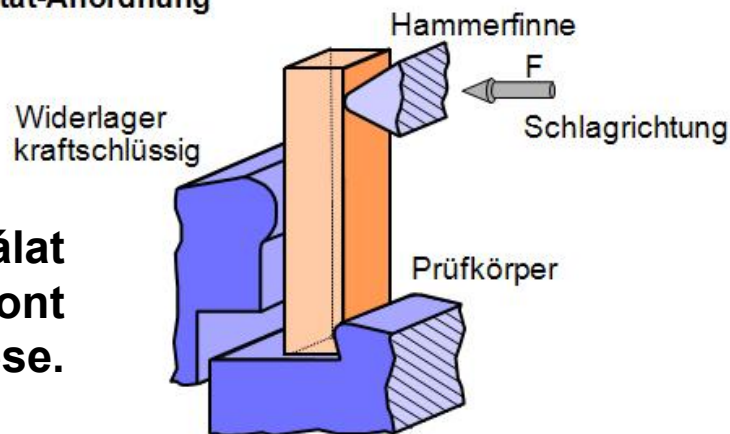
IZOD-Anordnung



A különböző **fajlagos ütőmunka** vizsgálati módszereket eredetileg műanyagok vizsgálatára dolgozták ki.

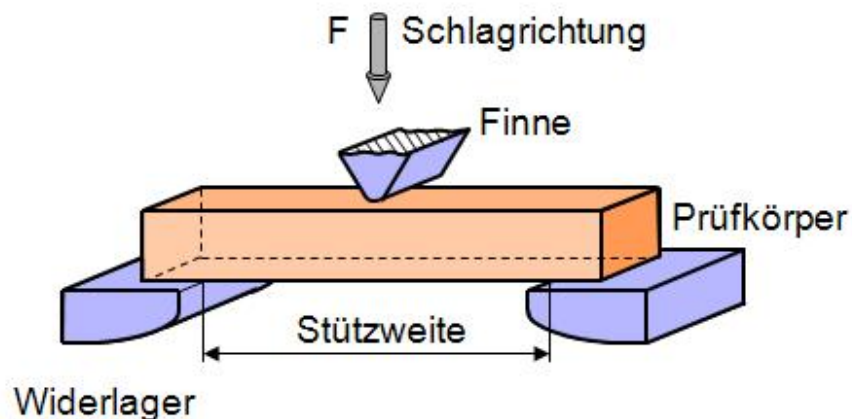
IZOD-féle ütőmunka vizsgálat (MSZ EN ISO 180:2001) elrendezése.

Dynstat-Anordnung



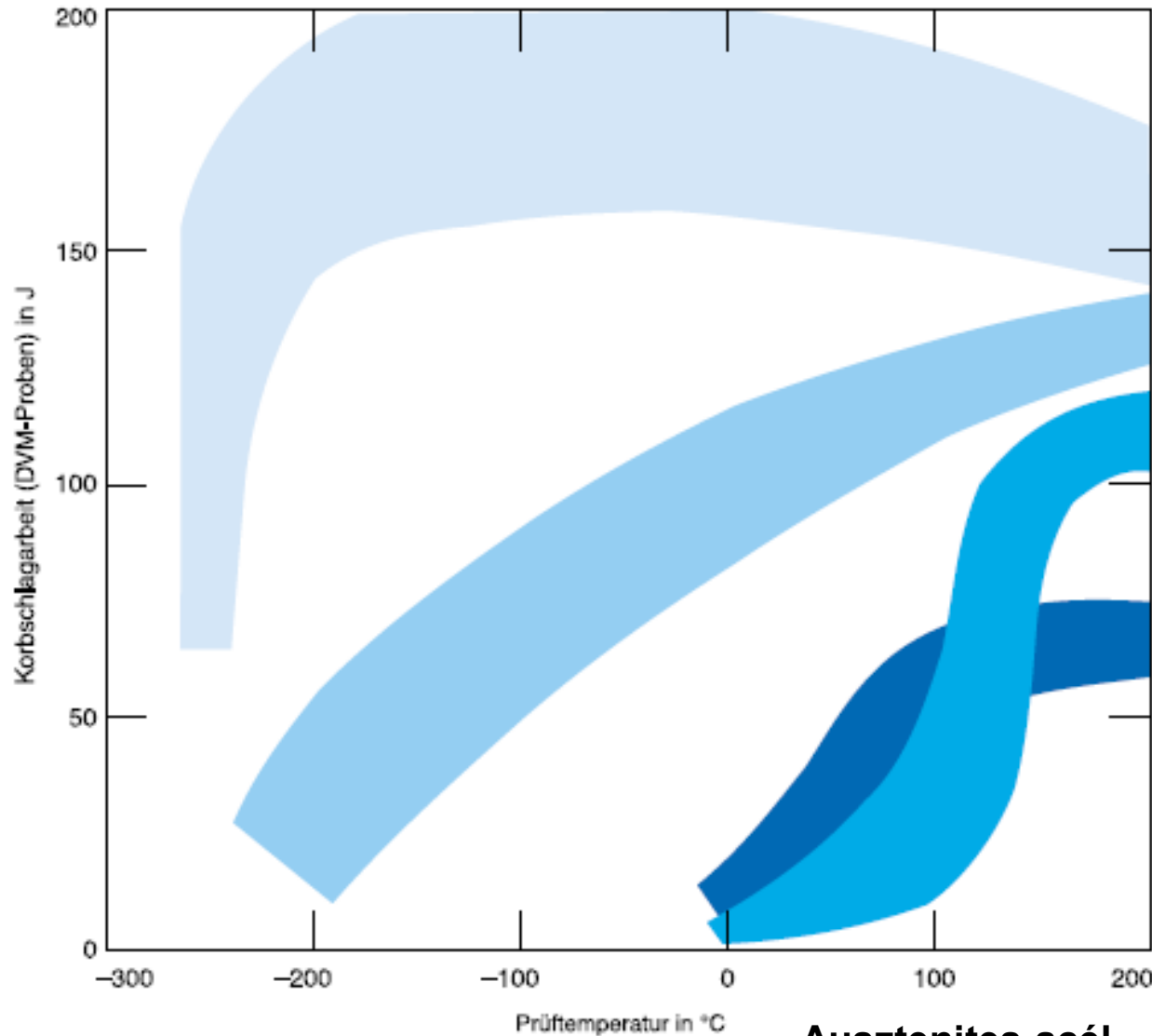
Dynstat-féle ütőmunka vizsgálat (MSZ 11686:1985 visszavont szabvány) elrendezése.

CHARPY-Anordnung



Charpy-féle ütőmunka vizsgálat (MSZ EN ISO 179-1:2010, MSZ EN ISO 179-2:2000) elrendezése. Az eljárást elsőként **Silas Bent Russell** (1860-1941) amerikai építőmérnök 1898-ban, majd 1901-ben **Augustin Georges Albert Charpy** (1865-1945) francia mérnök dolgozta ki.

Forrás: <http://wiki.polymerservice-merseburg.de>



- austenitische Stähle
- nickel/martensitische Stähle
- ferritische 17%ige Cr-Stähle
- martensitische 13%ige Cr-Stähle

Ausstenites acél

Nikkel-martenzites acél

Ferrites acél 17% krómtartalommal

Martenzites acél 13% krómtartalommal

**Különböző
rozsdamentes
acélok ütőmunkája
a hőmérséklet
függvényében (R.
Oppenheim:
„Nichtrostende
Stähle” Verlag
Stahleisen mbH,
Düsseldorf 1989.
után)**

**Forrás: [http://
www.edelstahl-
rostfrei.de/
downloads/iser/
MB_821.pdf](http://www.edelstahl-rostfrei.de/downloads/iser/MB_821.pdf)**

Magyar vonatkozás

- A jó hírnévre szert tett diósgyőri acélok az 1937 utáni években a **Diósgyőri Vas- és Acélgyárban** olyan szerződések megkötésére is módot adtak, mint pl. az esseni **Krupp cég világhírű sav- és hőálló V2-V4 acélcsaládjának gyártási lehetősége**. (Ezek az acélok 0,07-0,15% C-t; 18% Cr-ot; 8% Ni-t és 0,4% Mo-t tartalmaztak.)
- A **Diósgyőri Vas- és Acélgyárban** 1943-ban további vásárlás útján egy újabb nagyfrekvenciás indukciós kemence (50 kg kapacitású) kezdte meg működését, különleges acélok, hő-, sav-, és **korrózióálló** választékának kikísérletezése és bővítése volt a cél.
- A Diósgyőrben 1982-ben átadott Kombinált Acélmű üzembe lépésével korábban nem gyártott acélminőségek, például a **szuper alacsony C-tartalmú ausztenites sav- és hőálló acélok** előállítása oldódott meg.

Forrás: *Nyitray Dániel – Jung János – Harcsik Béla: „Az acélgyártás korszakai Diósgyőrben (2. rész)”*. ISD DUNAFERR Műszaki Gazdasági Közlemények 2016/3. (182) pp. 103-113.

Rozsdamentes acél németül: rostfreier Stahl

Rozsdamentes acél angolul: stainless steel

Rozsdamentes acél franciául: inox, inoxydable acier

Edelstahl (német) magyarul: nemesacél, ötvöztött acél

Edelstahl angolul: high-grade steel

Edelstahl franciául: acier inoxydable, alliage d'acier

Az MSZ EN 10083-1:1991+A1:2000 szerint:

Nemesíthető acélok németül: Vergütungsstähle

angolul: Quenched and tempered steels

franciául: Aciers pour trempe et revenu

Nemesacélok németül: Edelstähle

angolul: Special steels

franciául: Aciers spéciaux

A „Nichtrostenden Stahl” vagy „Rostfreier Stahl” nem szinonimája az „Edelstahl” kifejezésnek:

Edelstahl rostfrei, allgemein auch nur **Edelstahl** genannt; fachsprachlich wird die Bezeichnung **Edelstahl** nur für Stahlsorten mit besonders hoher Reinheit verwendet, die nicht zwangsläufig (nem feltétlenül) **hochlegiert** und rostfrei sein müssen.

In Deutschland sind für die folgenden zwei **Edelstahlsorten** besondere Bezeichnungen gebräuchlich, die jedoch keine Synonyme für rostfreien Stahl sind, sondern eine bestimmte Stahlsorte bezeichnen:

V2A (Versuchsschmelze 2 **Austenit**, entstand 1912 für Legierungs-Typ X12CrNi18-8 oder auch 1.4300 genannt), wird heute nicht mehr hergestellt. (Die Bezeichnung V2A wird heute für den Nachfolger 1.4301 (X5CrNi18-10) und dem klassischen Stahl für die Automatenbearbeitung 1.4305 (X8CrNiS18-9) verwendet).

V4A (ähnlich V2A, jedoch zusätzlich mit 2 % **Molybdän** (Mo) legiert, was diesen Stahl widerstandsfähiger gegen Korrosion durch chloridhaltige Medien macht – Salzwasser, Schwimmbäder, chemische Industrie etc.) Die allgemeine Bezeichnung für V4A ist 1.4401 (X5**CrNiMo**17-12-2)

Auch **VA-Stahl** leitet sich von diesen Bezeichnungen ab. Weniger verwendet werden die Stahlsorten V1A, V3A und V5A.

Forrás: https://de.wikipedia.org/wiki/Rostfreier_Stahl

ÉS MÉG SOK MÁS ÉRDEKESSÉG

Edelstahl (nach EN 10020) ist eine Bezeichnung für legierte oder unlegierte Stähle mit besonderem Reinheitsgrad, zum Beispiel Stähle, deren Schwefel- und Phosphorgehalt (sogenannte Eisenbegleiter) 0,025 % nicht überschreitet.

Ein Edelstahl muss nicht zwangsläufig den Anforderungen eines nichtrostenden Stahls entsprechen. Trotzdem werden im Alltag häufig nur rostfreie Stähle als Edelstähle bezeichnet. Der Legierungsanteil von niedrig- oder hochlegiertem Edelstahl ist jedoch genauestens definiert.

Die Stahlgruppennummern für Edelstähle nach EN 10027-2 kennen folgende Bezeichnungen:

10 bis 18 – unlegierte Edelstähle

20 bis 89 – legierte Edelstähle

ÉS MÉG SOK MÁS ÉRDEKESSÉG

Forrás: <https://de.wikipedia.org/wiki/Edelstahl>

DIN EN 10083-1:2006 **Vergütungsstähle — Teil 1: Allgemeine technische Lieferbedingungen**

1 Anwendungsbereich

ANMERKUNG 4 Entsprechend EN 10020 handelt es sich bei den in EN 10083-2:2006 enthaltenen Stählen um Qualitäts- und Edelstähle und bei den in EN 10083-3:2006 enthaltenen Stählen um Edelstähle.

Die **Edelstähle** unterscheiden sich von den **Qualitätsstählen** nur durch:

- Mindestwerte der Kerbschlagarbeit im vergüteten Zustand (bei unlegierten Edelstählen nur bei mittleren Masseanteilen an Kohlenstoff von $< 0,50 \%$);
- Grenzwerte der Härtebarkeit im Stirnabschreckversuch (bei unlegierten Edelstählen nur bei mittleren Massenanteilen an Kohlenstoff $> 0,30 \%$);
- begrenzter Gehalt an oxidischen Einschlüssen;
- niedrigere Höchstgehalte für Phosphor und Schwefel.

MSZ EN 10083-1:1991+A1:2000 „Nemesíthető acélok. 1. rész: Nemesacélok műszaki szállítási feltételei (tartalmazza az A1:1996 módosítást)” **Visszavont szabvány. Részlet**

3. táblázat: Az acélminőségek és vegyi összetételük (adagelemzés)

Az acélminőség		Vegyi összetétel, tömegszázalék ^{1) 2) 3) 4)}									
jele	számjele	C ⁵⁾	Si max.	Mn	P max.	S	Cr	Mo	Ni	V	Cr+Mo+Ni max. ⁵⁾
C22E	1.1151	0,17–0,24	0,40	0,40–0,70	0,035	max 0,035	max 0,40	max 0,10	max 0,40	–	0,63
C22R	1.1149					0,020–0,040					
(C25E) ⁶⁾	(1.1158) ⁶⁾	0,22–0,29	0,40	0,40–0,70	0,035	max 0,035	max 0,40	max 0,10	max 0,40	–	0,63
(C25R) ⁶⁾	(1.1163) ⁶⁾					0,020–0,040					
(C30E) ⁶⁾	(1.1178) ⁶⁾	0,27–0,34	0,40	0,50–0,80	0,035	max 0,035	max 0,40	max 0,10	max 0,40	–	0,63
(C30R) ⁶⁾	(1.1179) ⁶⁾					0,020–0,040					
C35E	1.1181	0,32–0,39	0,40	0,50–0,80	0,035	max 0,035	max 0,40	max 0,10	max 0,40	–	0,63
C35R	1.1180					0,020–0,040					
(C40E) ⁶⁾	(1.1186) ⁶⁾	0,37–0,44	0,40	0,50–0,80	0,035	max 0,035	max 0,40	max 0,10	max 0,40	–	0,63
(C40R) ⁶⁾	(1.1189) ⁶⁾					0,020–0,040					
C45E	1.1191	0,42–0,50	0,40	0,50–0,80	0,035	max 0,035	max 0,40	max 0,10	max 0,40	–	0,63
C45R	1.1201					0,020–0,040					
(C50E) ⁶⁾	(1.1206) ⁶⁾	0,47–0,55	0,40	0,60–0,90	0,035	max 0,035	max 0,40	max 0,10	max 0,40	–	0,63
(C50R) ⁶⁾	(1.1241) ⁶⁾					0,020–0,040					
(C55E) ⁶⁾	(1.1203) ⁶⁾	0,52–0,60	0,40	0,60–0,90	0,035	max 0,035	max 0,40	max 0,10	max 0,40	–	0,63
(C55R) ⁶⁾	(1.1209) ⁶⁾					0,020–0,040					
C60E	1.1221	0,57–0,65	0,40	0,60–0,90	0,035	max 0,035	max 0,40	max 0,10	max 0,40	–	0,63
C60R	1.1223					0,020–0,040					
28Mn6	1.1170	0,25–0,32	0,40	1,30–1,65	0,035	max 0,035	max 0,40	max 0,10	max 0,40	–	0,63
38Cr2	1.7003	0,35–0,42	0,40	0,50–0,80	0,035	max 0,035	0,40–0,60	–	–	–	–
38CrS2	1.7023					0,020–0,040					
46Cr2	1.7006	0,42–0,50	0,40	0,50–0,80	0,035	max 0,035	0,40–0,60	–	–	–	–
46CrS2	1.7025					0,020–0,040					
34Cr4	1.7033	0,30–0,37	0,40	0,60–0,90	0,035	max 0,035	0,90–1,20	–	–	–	–
34CrS4	1.7037					0,020–0,040					
37Cr4	1.7034	0,34–0,41	0,40	0,60–0,90	0,035	max 0,035	0,90–1,20	–	–	–	–
37CrS4	1.7038					0,020–0,040					

Az 1–6) lábjegyzet a táblázat végén van

Egyes anyagoknak többféle kristályos alakja is lehet, ezt a jelenséget **allotrópiának nevezzük**. Az anyagok különböző kristályos szerkezetű változatai a módosulatok, és jelölésükre a görög abc kezdő betűit használjuk. Az egyik kristályos szerkezetből a másikba való **átalakulás a fémeknél jellemző és állandó hőmérsékleten megy végbe**. Az átalakulás hőtartalom-változással jár, tehát a lehűlésgörbén töréspontnak kell jelentkeznie.

A vasnak például két allotróp átalakulása van. Lehűléskor először **1536 °C-on** szabályos *térben középpontos* rácsszerkezetbe kristályosodik, majd **1392 °C-on** átalakul *felületen középpontossá*, és végül **906 °C-on** újból *térben középpontos* rácsszerkezetűvé válik. (Régebben a 769 °C-ot és a 720 °C-ot is átalakulási hőmérsékletnek tartották.) (Palotás, 1979.)

Így a **vas allotróp módosulatai** és átalakítási hőmérsékletei a következők:

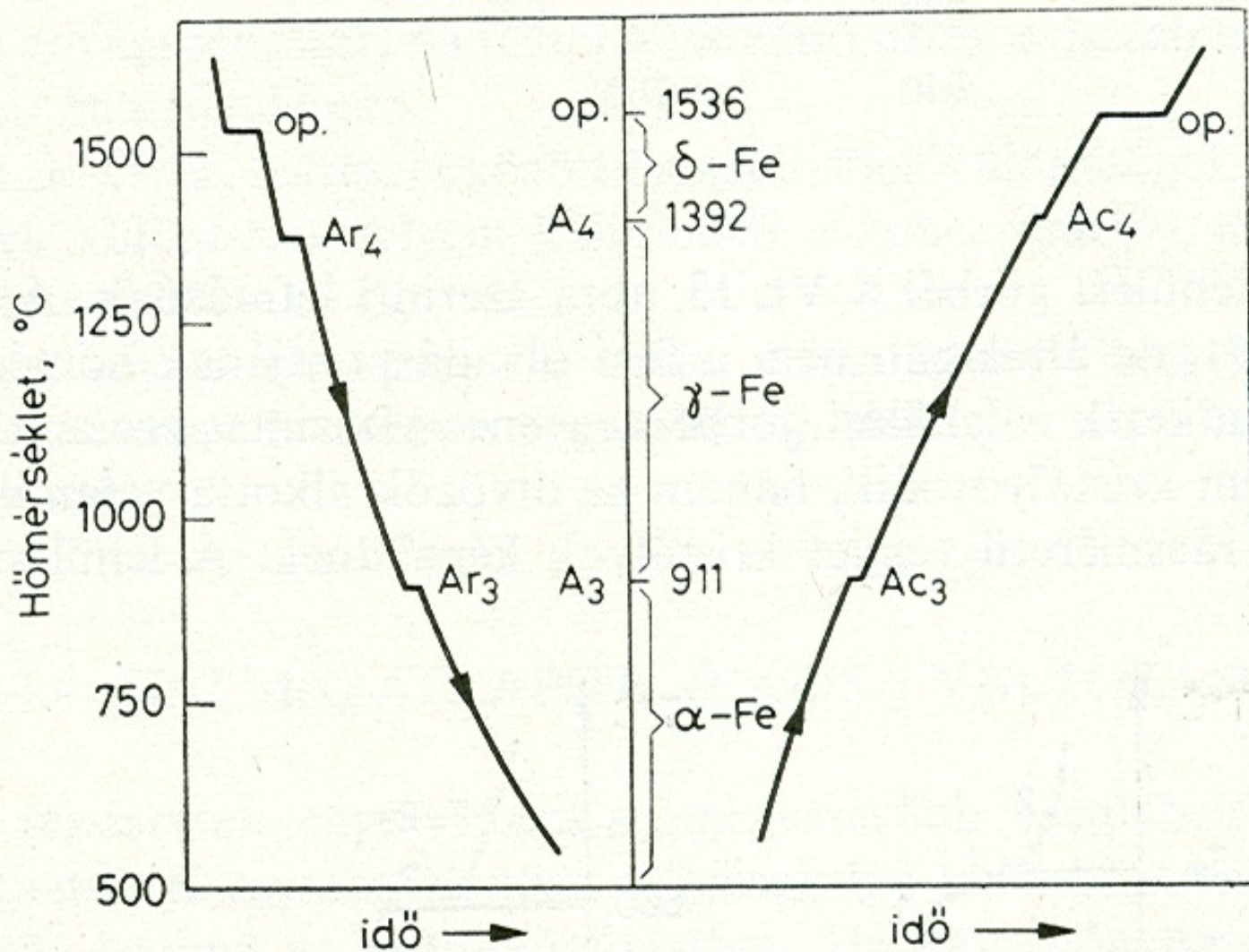
α -vas: -273 – 906 °C

γ -vas: 906 – 1392 °C

δ -vas: 1392 – 1536 °C

Az átalakulási hőmérsékletek a felfűtés, illetve a lehűlés alkalmával kissé eltérnek egymástól, ezért a hevítéskor „C” jelölést (például: A_{C_4}), a hűléskor „r” jelölést (például: A_{r_3}) alkalmazunk.

Az acél lehűlési és hevítési görbéit a következő (VI. 12.) ábrán mutatjuk be (*Palotás, 1979.*).



VI. 12. ábra

A vas lehülési és hevítési görbéje ([31], 41)

Palotás L.: Mérnöki szerkezetek anyagana
2. kötet. Budapest, 1979.

Rozsdamentes acélok csoportosítása

Az ötvözők – melyek közül a króm a legjelentősebb – nem csak közvetlen hatással vannak a rozsdamentes acél tulajdonságaira, hanem az acél szövetszerkezetét is különböző módon alakítják.

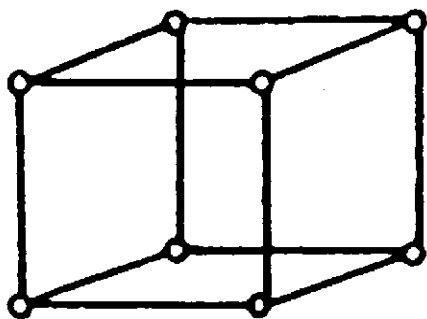
Az **ötvözetlen, tiszta vas** kétféle rácsalakban fordul elő:

- 906 °C alatt *tércentrált köbös* szerkezetű **ferrit** kristály (**α -vas**) és
- 906 °C feletti hőmérsékleten *felület-* vagy *lapcentrált köbös* szerkezetű **ausztenit** kristály (**γ -vas**) alakjában.

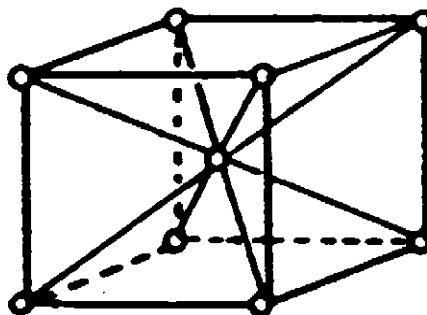
Forrás: <https://hu.wikipedia.org/wiki/Ferrit>

A köbös rács elemi cellái

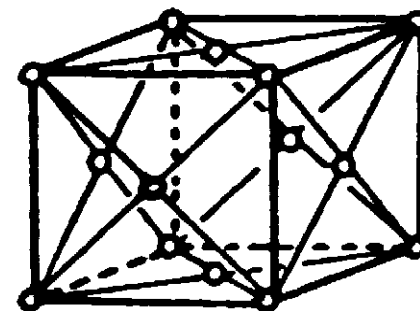
- a) Az egyszerű köbös cellában az atomok egy kocka csúcsain helyezkednek el,
b) a *tércentrált* cellában még a kocka középpontjában is van egy atom (ilyen szerkezetű a **ferrit** kristály, **α -vas**),
c) a *lapcentrált* cellában a kocka csúcsain és az oldallapok átlóinak metszéspontjában helyezkednek el az atomok (ilyen szerkezetű az **ausztenit** kristály, **γ -vas**) .



a



b

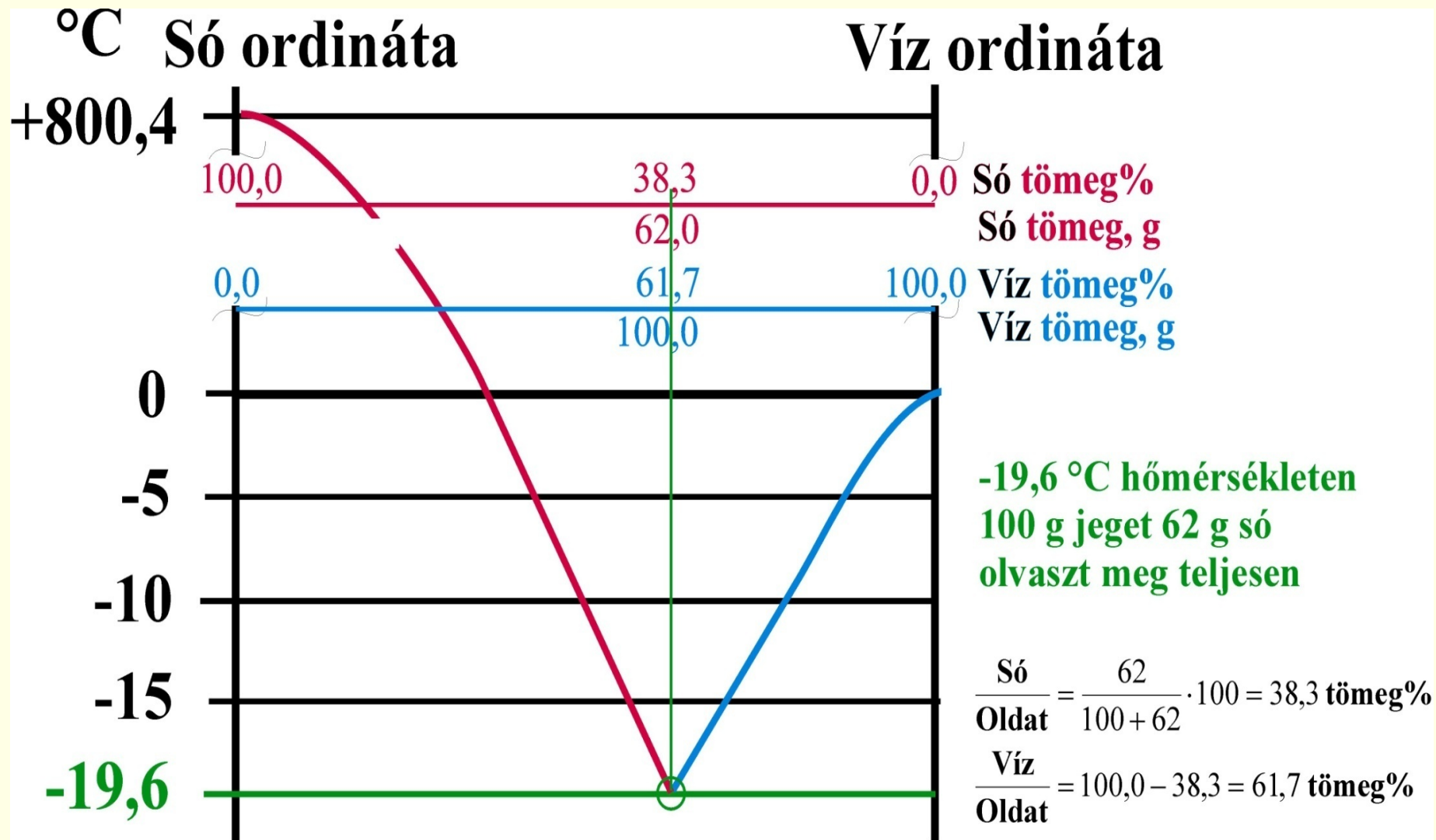


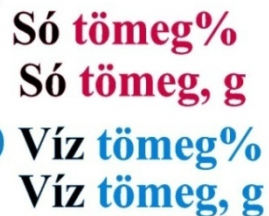
c

Termodinamikai egyensúlyi állapotban ugyanilyen a **rozsdamentes acél** rácsfelépítése is, csak az ötvözők hatására a térrács különbözőképpen módosul.

Hőkezelés hatására további szövetszerkezeti állapotok jönnek létre. A különböző szövetszerkezetekhez különböző acél tulajdonságok tartoznak.

Idézzük emlékezetünkbe a **só (NaCl) – víz állapotábráját**.

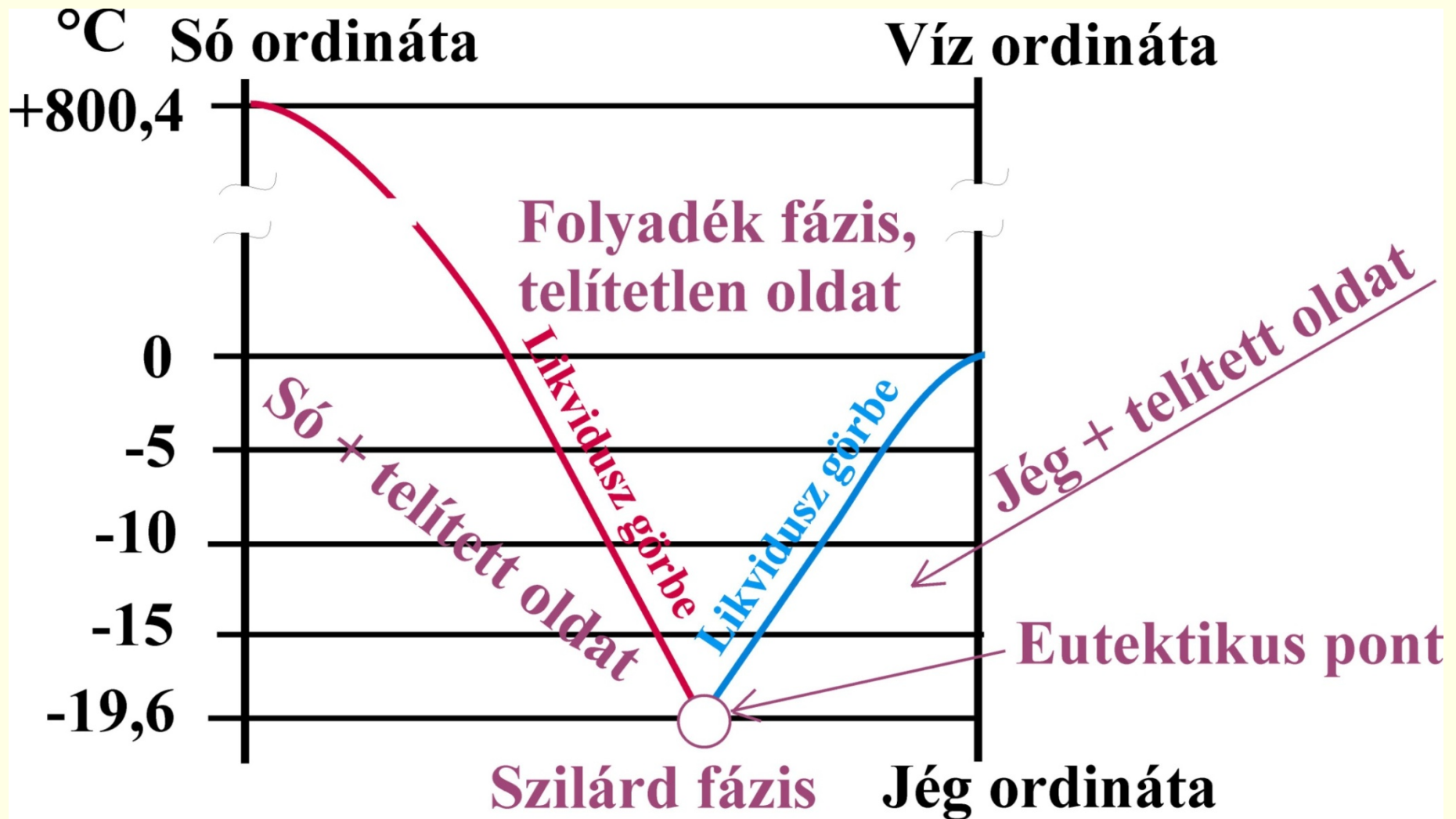




**-10 °C hőmérsékleten
100,0 g jeget 28,2 g só
olvaszt meg teljesen**

$$\frac{\text{Só}}{\text{Oldat}} = \frac{28,2}{100 + 28,2} \cdot 100 = 22,0 \text{ tömeg\%}$$

$$\frac{\text{Víz}}{\text{Oldat}} = 100,0 - 22,0 = 78,0 \text{ tömeg\%}$$



Az acél szövetében egyensúlyi állapotban előforduló fázisok és szövetelemek:

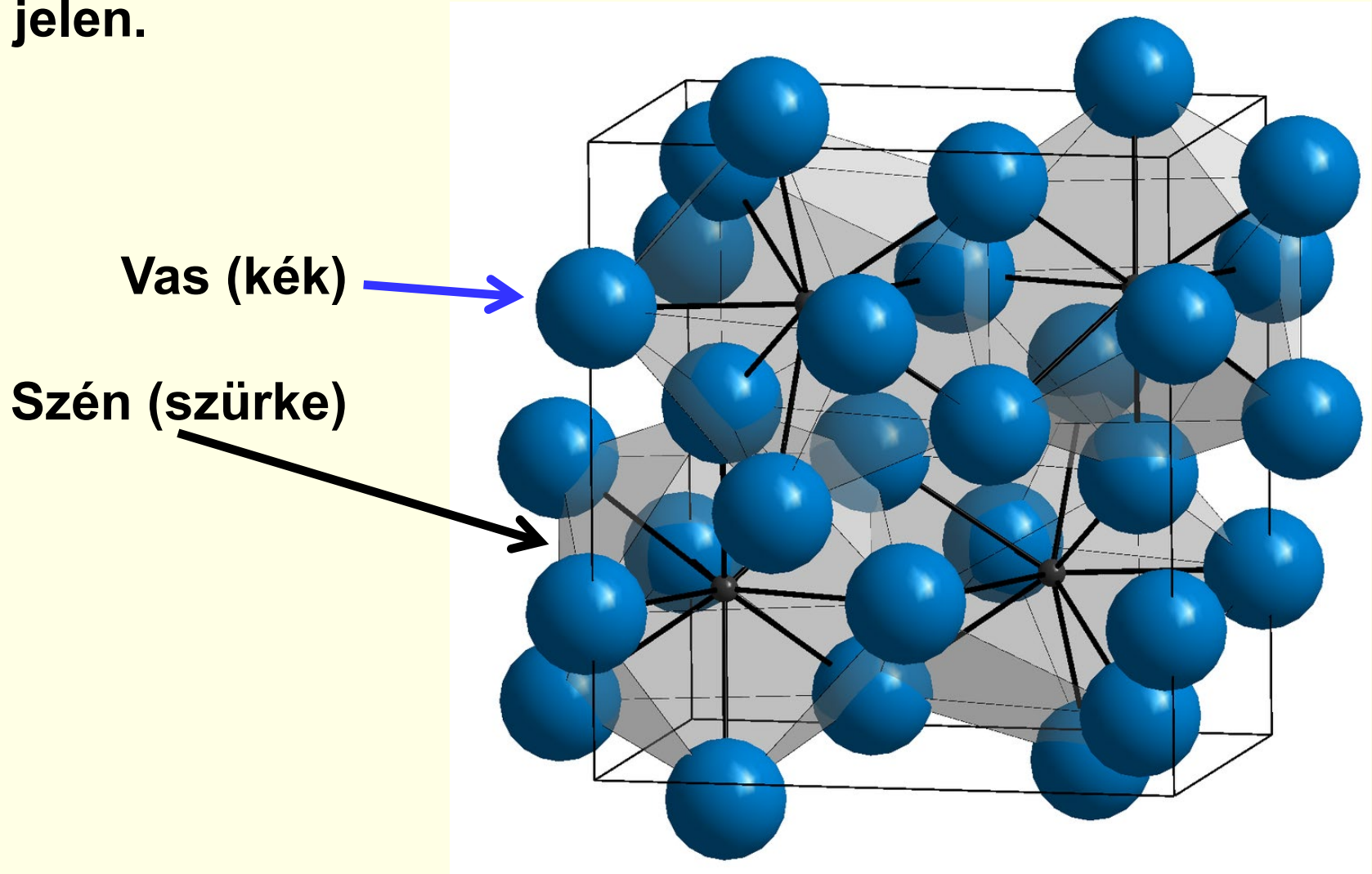
Ferrit vagy **α -vas**: A diagram *G*, *P* és a szobahőmérsékleten jelölt *Q* pontjai közötti keskeny sávjában állandó. 727 °C-on 0,0218%, szobahőmérsékleten 0,007% szenet old. Acélban az *S* pontnak megfelelő 0,77% szenet tartalmazó *hipoeutektoidos* ötvözetekben fordul elő.

Auszenit vagy **γ -vas**: Az *NJSEG* területen belül állandó, szenet vagy más ötvözőelemeket tartalmaz oldva.

Cementit vagy **vaskarbid**, Fe_3C : Három változatban fordul elő: az *elsődleges* vagy *primer* cementit a *C* ponttól „jobbra”, azaz a 4,3%-nál nagyobb karbontartalmú *hipereutektikus* ötvözetekben kristályosodik (értelemszerűen 1148 °C fölött). A *másodlagos* vagy *szekunder* cementit a 0,77%-nál nagyobb C-tartalmú auszenitből válik ki az 1148–727 °C hőmérsékletközben. A *tercier* vagy *harmadlagos* cementit a ferritből alakul ki 727 °C alatt.

Forrás: <https://hu.wikipedia.org/wiki/Acél>

A **cementit** a vas és szén igen kemény vegyülete, **vaskarbid** (Fe_3C). A cementitben a szén kötött formában van jelen.



Forrás: <https://de.wikipedia.org/wiki/Zementit>

Ledeburit: Az ausztenit és a cementit **eutektikuma**, amely 1148 °C-on kristályosodik 4,3% C-tartalommal (C pont).

Forrás: <https://hu.wikipedia.org/wiki/Acél>

Az **eutektikum** két vagy több komponens (elem vagy vegyület) elegye, amelynek létezik egy vagy több olyan összetétele amely a tiszta komponensek olvadáspontjánál alacsonyabb hőmérsékleten olvad meg. A kifejezés görög eredetű, jelentése „könnyen olvadó”. Az eutektikum egy ötvözet típus.

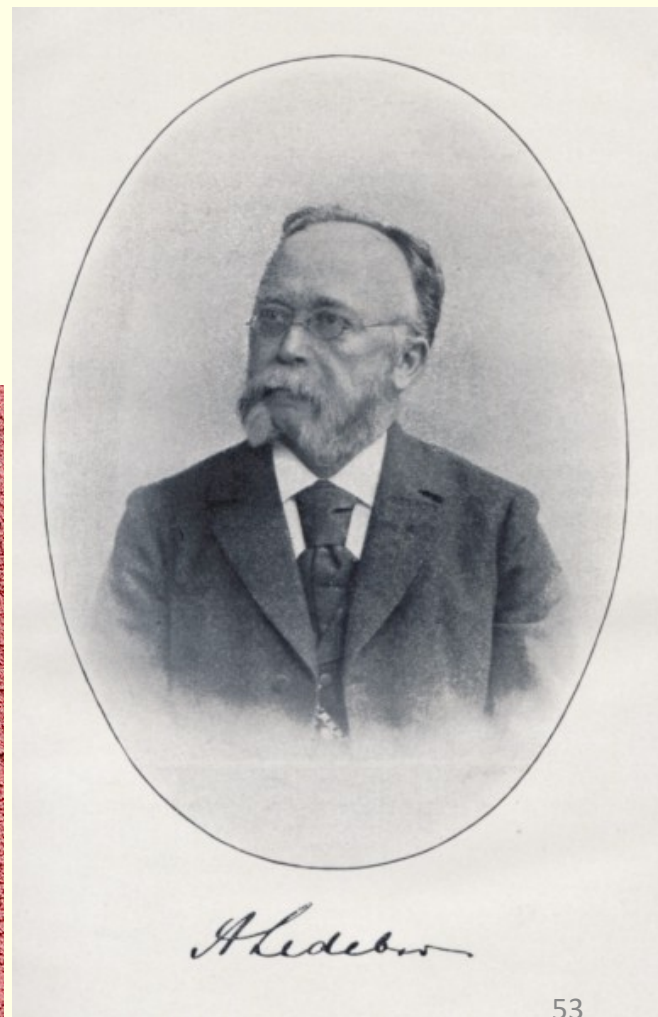
Forrás: <https://hu.wikipedia.org/wiki/Eutektikum>

Az **eutektoid** két komponens, azaz (elem és/vagy vegyület) és/vagy szilárd oldat szilárd halmazállapotú keveréke. Az eutektoidot kétféle, eltérő összetételű szilárd oldatból álló kristálykák keveréke alkotja. Az eutektoid egy ötvözet típus.

Forrás: <https://hu.wikipedia.org/wiki/Eutektoid>

A 2,06 – 6,67 tömeg% széntartalmú vas neve: **ledeburit**. Nevét felfedezőjéről – **Karl Heinrich Adolf Ledebur** (1837–1906) német kohászról – kapta. A ledeburit kétféle formában előforduló fáziskeverék, **1147 °C alatt ausztenit és cementit (ledeburit I), 723 °C alatt perlit és cementit (ledeburit II)** alkotja.

A vas-szén fázisdiagramban az ECF-vonal jeleníti meg. Az eutektikus keverékben a széntartalom 4,3 tömeg%, az olvadási hőmérséklet (eutektikus pont, „C”) 1147 °C.



Perlit: A ferrit és a cementit **eutektoidja**, ami 727 °C-on jön létre (S pont). Szerkezete lemezes, ami annál finomabb, mennél gyorsabb lehűlés közben alakul ki (régebben megkülönböztették *szorbit* és *trosztit* nevű változatait, idejétmúlt elnevezések). A perlitnek van szemcsés szerkezetű változata is, ez edzett és megeresztett acélban mutatható ki.

Forrás: <https://hu.wikipedia.org/wiki/Acél>

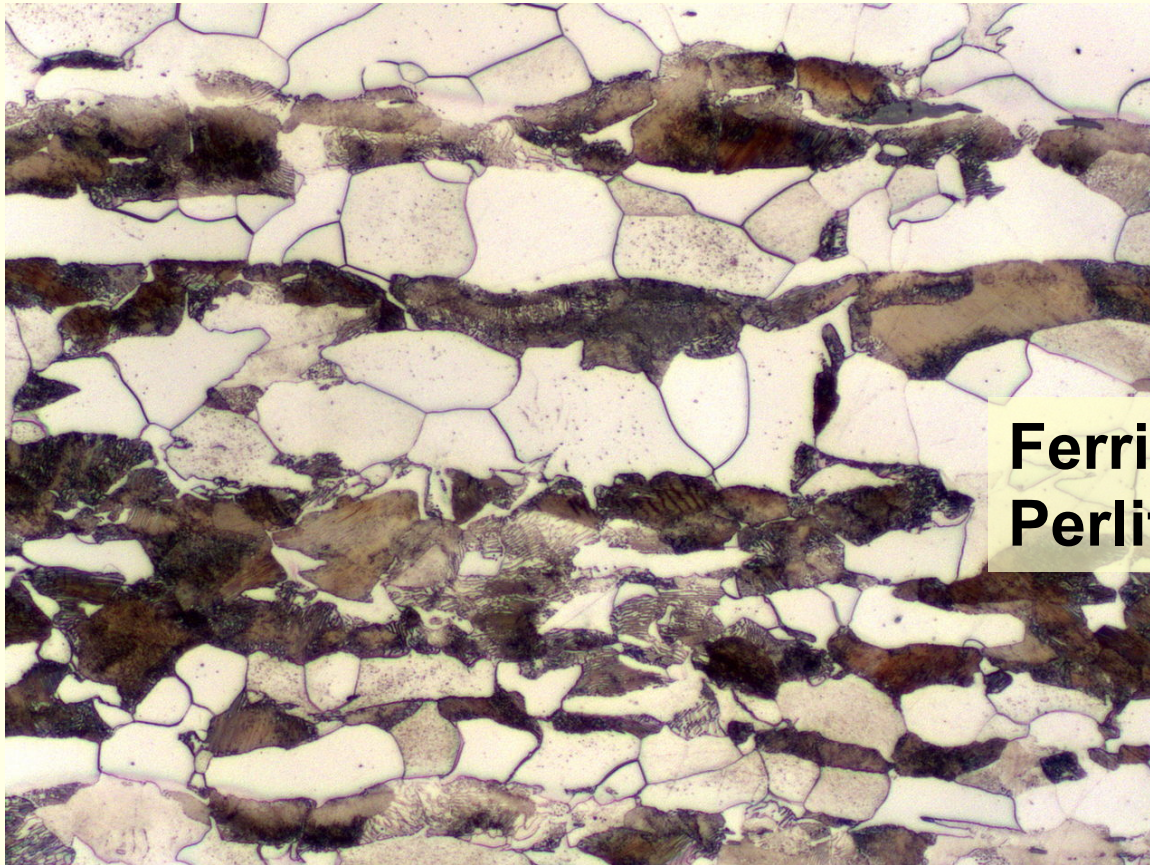
Az **eutektoid** két komponens, azaz (elem és/vagy vegyület) és/vagy **szilárd oldat** szilárd halmazállapotú keveréke. Az eutektoidot kétféle, eltérő összetételű szilárd oldatból álló kristálykák keveréke alkotja.

Forrás: <https://hu.wikipedia.org/wiki/Eutektoid>

A **szilárd oldatban** a fém és az oldódó anyag atomjai közös kristályszerkezetbe rendeződnek, az oldó anyag rácsszerkezetének megfelelően. A szilárd oldat egy ötvözet típus.

Forrás: <https://hu.wikipedia.org/wiki/Fémek>

A **perlit** a ferrit és a cementit fáziskeveréke, amely a vas-szén ötvözetben 0,02 tömeg% és 2,06 tömeg% közötti széntartalom esetén jelenik meg. Az eutektikus hőmérséklete 0,83 tömeg% széntartalom esetén 723 °C.



0,35 tömeg%
széntartalmú
ferrites-perlites
szövetszerkezet

Ferrit kristályok (világos)
Perlit lamellák (sötét)

Forrás: [https://de.wikipedia.org/wiki/Perlit_\(Stahl\)](https://de.wikipedia.org/wiki/Perlit_(Stahl))

Az egyensúlyi állapotban elő nem forduló szövetelemek:

Martenzit: Az acél edzésekor jön létre ausztenitből. A γ -vas átalakul α -vassá, de az ausztenit oldott karbontartalma továbbra is oldva marad. A martenzit metastabil (nem egyensúlyi állapotú) anyag, szénnel túltelített α -vas. A szénatomok térközpontú tetragonális szerkezetté torzítják a **kockarácsot**. A martenzit igen kemény és rideg szövetelem.

Bénit: 727 °C alatt, az átalakulás befejeződéséig való hõn-tartása során képzõdik. Ferritbe ágyazott karbidkristályok alkotják.

Forrás: <https://hu.wikipedia.org/wiki/Acél>

Martenzitnek általában a diffúzió nélküli, rácsátbillenéssel lezajló átalakulási folyamatok termékét szokás nevezni. A felületen középpontos rácsú ausztenitből térben középpontos rácsú, tetragonális rácsú, illetve szoros illeszkedésű, hexagonális rácsú martenzit keletkezhet.

Forrás: (Dr. Hári László)

http://www.tankonyvtar.hu/hu/tartalom/tamop412A/2010-0013_anyagszerkezettan_es_anyagvizsgalat/12_5_a_martenzit_kepzodese.html

Azt a hőmérsékletet, amelyen a **martenzit képződése** megindul, M_S hőmérséklettel, az átalakulás befejező hőmérsékletét M_F hőmérséklettel jelöljük. Az M_S hőmérsékletet az átalakuló ausztenit összetétele, legerőteljesebben pedig a karbon határozza meg (**lásd a következő diakockát**).

A martenzites átalakulás kezdő és befejező hőmérséklete a lehűlési sebességtől független.

A martenzites átalakulás egyik leglényegesebb vonása az, hogy a képződött martenzit mennyisége csak attól a hőmérséklettől függ, amelyre az acélt lehűtöttük, de független az átalakulás hőmérsékletén eltöltött időtől.

A martenzit képződése tehát nem diffúziós jellegű folyamat, ezért nem szükséges hozzá csíraelem .

További jellemzője az martenzites átalakulásnak, hogy **irreverzibilis**, azaz nem megfordítható folyamat, vagyis a martenzitből hevítéskor nem keletkezik ausztenit.

Forrás: (Dr. Hári László)

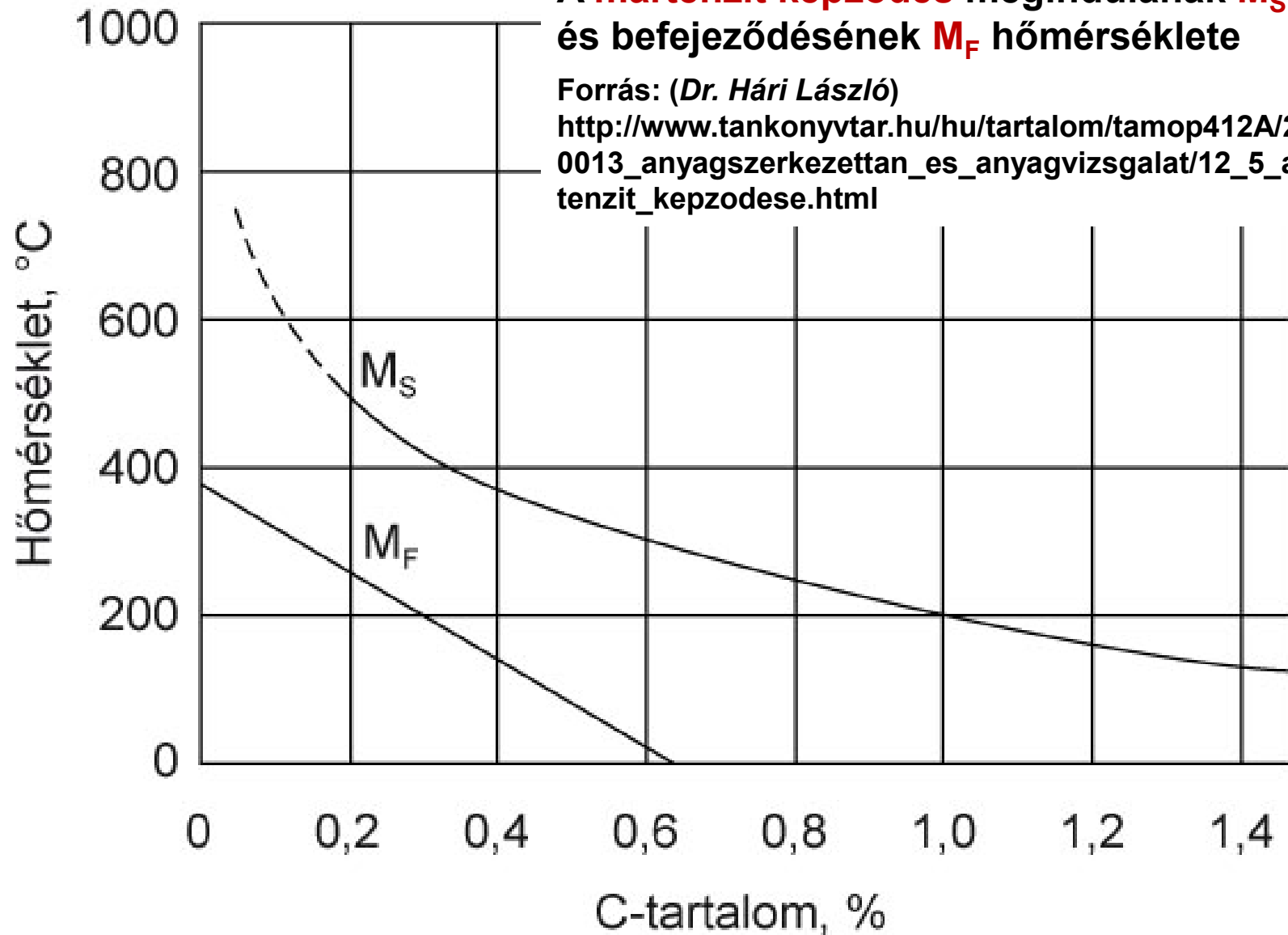
<http://www.tankonyvtar.hu/hu/tartalom/tamop412A/2010-0013>

[anyagyszerkezettan es anyagvizsgalat/12 5 a martenzit kepzodese.html](http://www.tankonyvtar.hu/hu/tartalom/tamop412A/2010-0013/anyagyszerkezettan-es-anyagvizsgalat/12-5-a-martenzit-kepzo-dese.html)

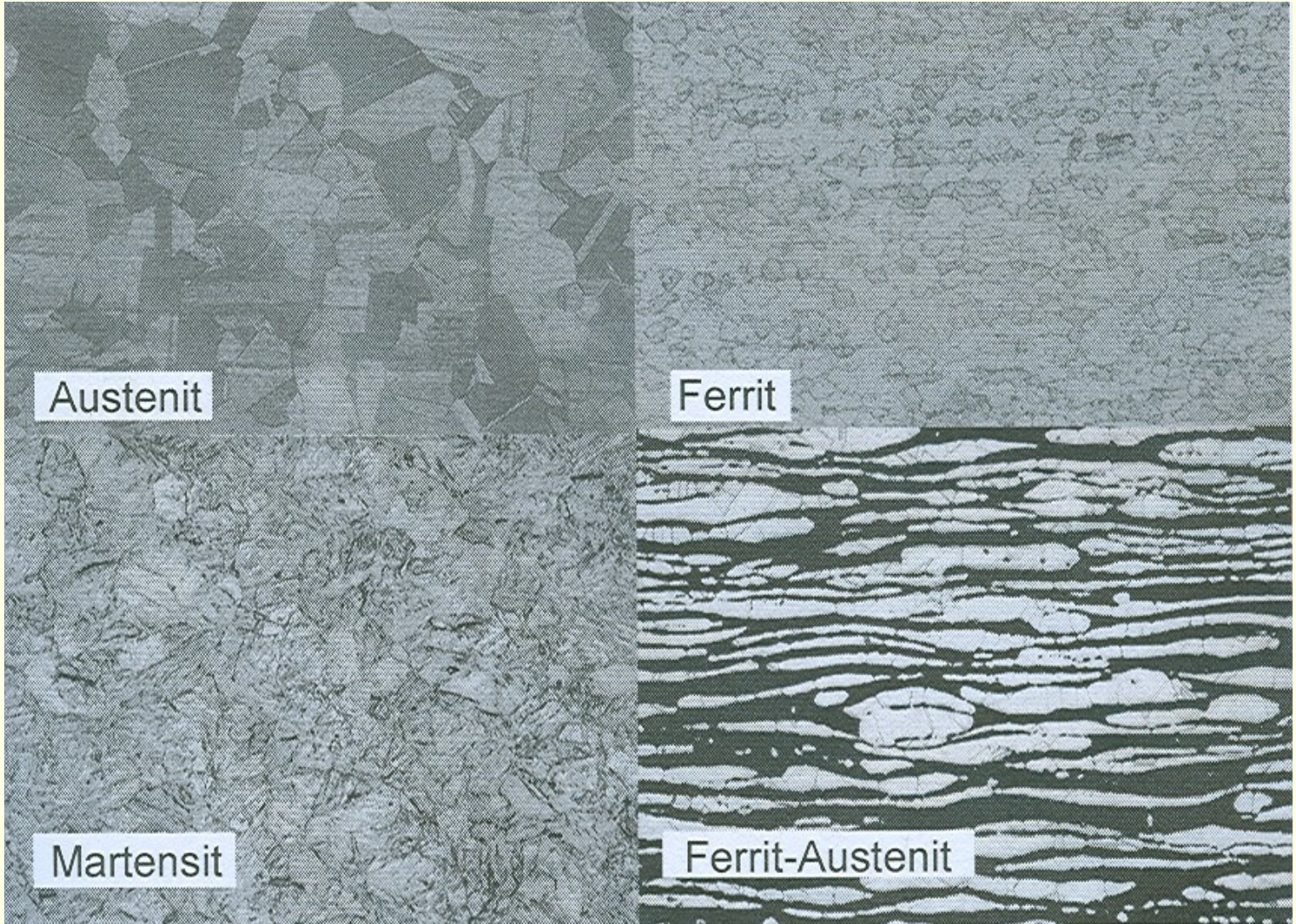
A martenzit képződés megindulásának M_S és befejeződésének M_F hőmérséklete

Forrás: (Dr. Hári László)

http://www.tankonyvtar.hu/hu/tartalom/tamop412A/2010-0013_anyagszerkezetan_es_anyagvizsgalat/12_5_a_martenzit_kepzodes.html

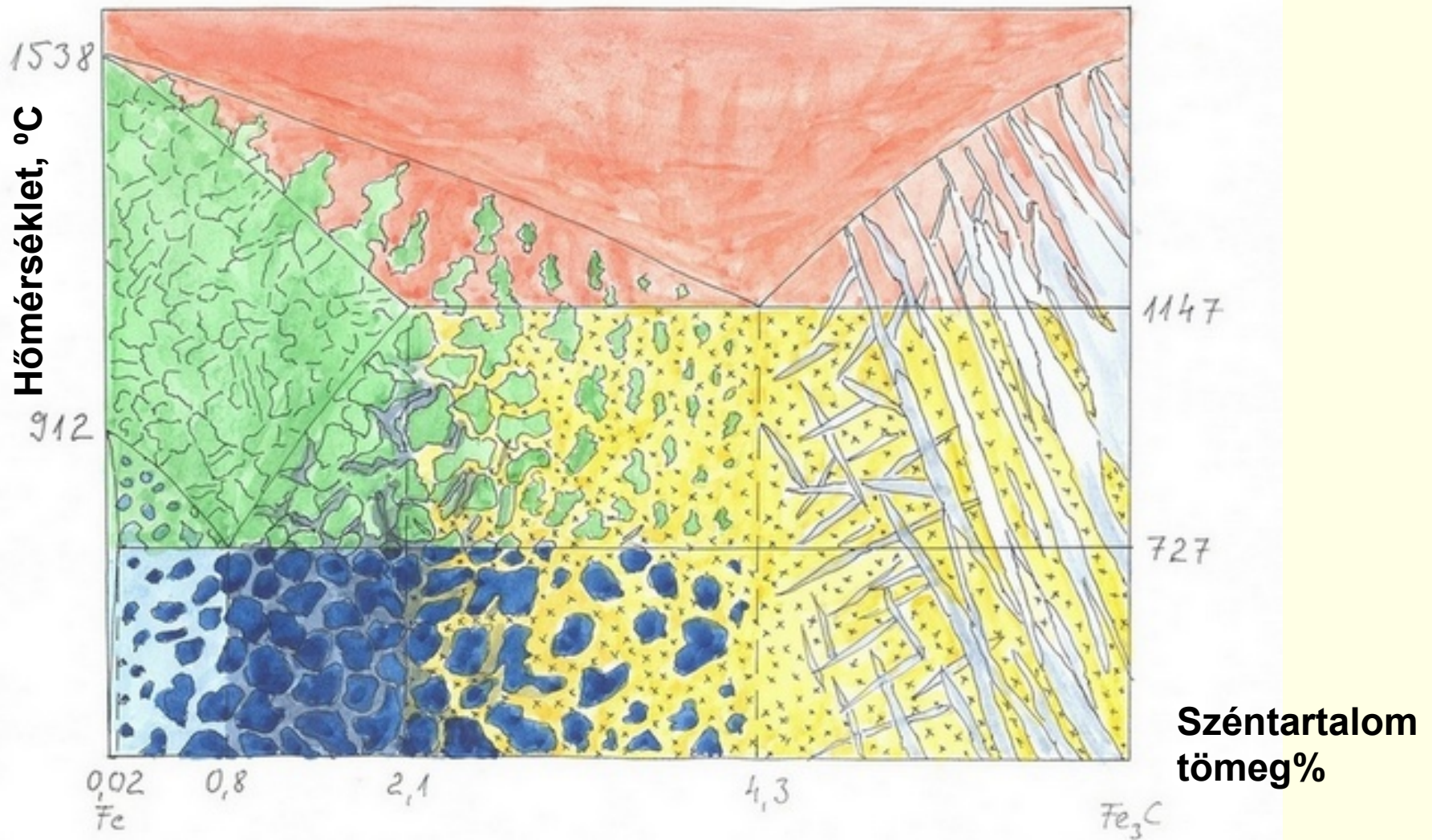


A szövetszerkezeti tulajdonságok alapján a rozsdamentes acélokat ma a következőképpen csoportosítjuk: ferrites, martenzites, ausztenites, ferrites-ausztenites acélok.



Forrás:
Gümpel, P. et
al: Rostfrei
Stähle. Expert
Verlag.
Renningen,
2016.

kausay



A vas-szén (vas-cementit) fázisdiagram szövetszerkezettel. A színkód a következő: **piros** - olvadék, **zöld** - ausztenit, szürke - cementit, **sárga** - ledeburit, **világoskék** - ferrit, **sötétkék** - perlit. Forrás: <https://hu.wikipedia.org/wiki/Ferrit>

Vas-szén állapotábra (lásd a következő diakockát) jelölései:

A = perlit, eutektoid

B = ledeburit, eutektikum

a = α + perlit

b = Fe_3C + ledeburit + perlit

c = Fe_3C + ledeburit

d = cementit (Fe_3C) + grafit

e = ferrit, α

f = α + γ

g = ausztenit, γ

h = γ + Fe_3C + ledeburit

i = Fe_3C + ledeburit

j = γ + folyékony

k = folyékony

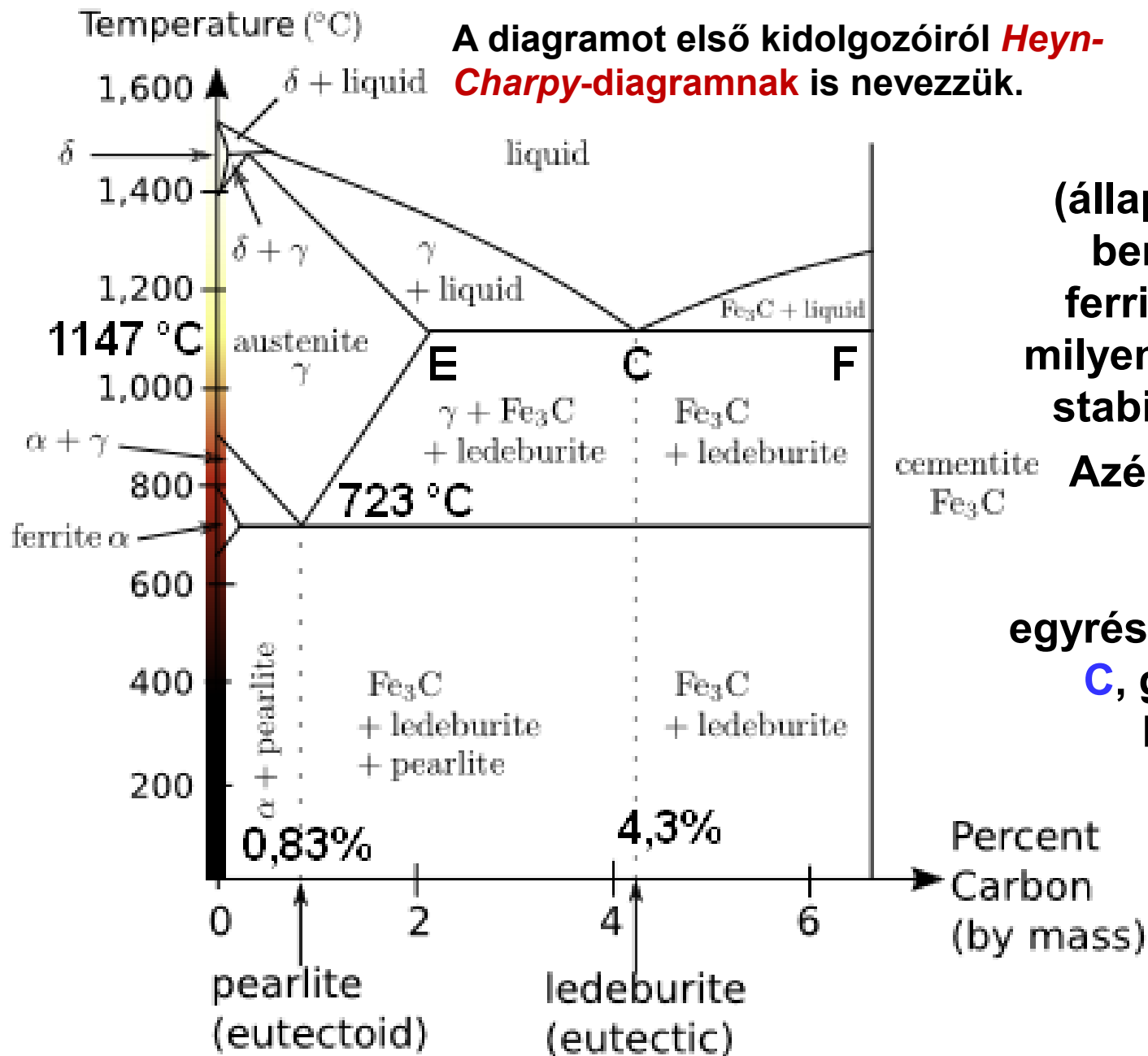
l = folyékony + Fe_3C

m = δ + γ

n = δ

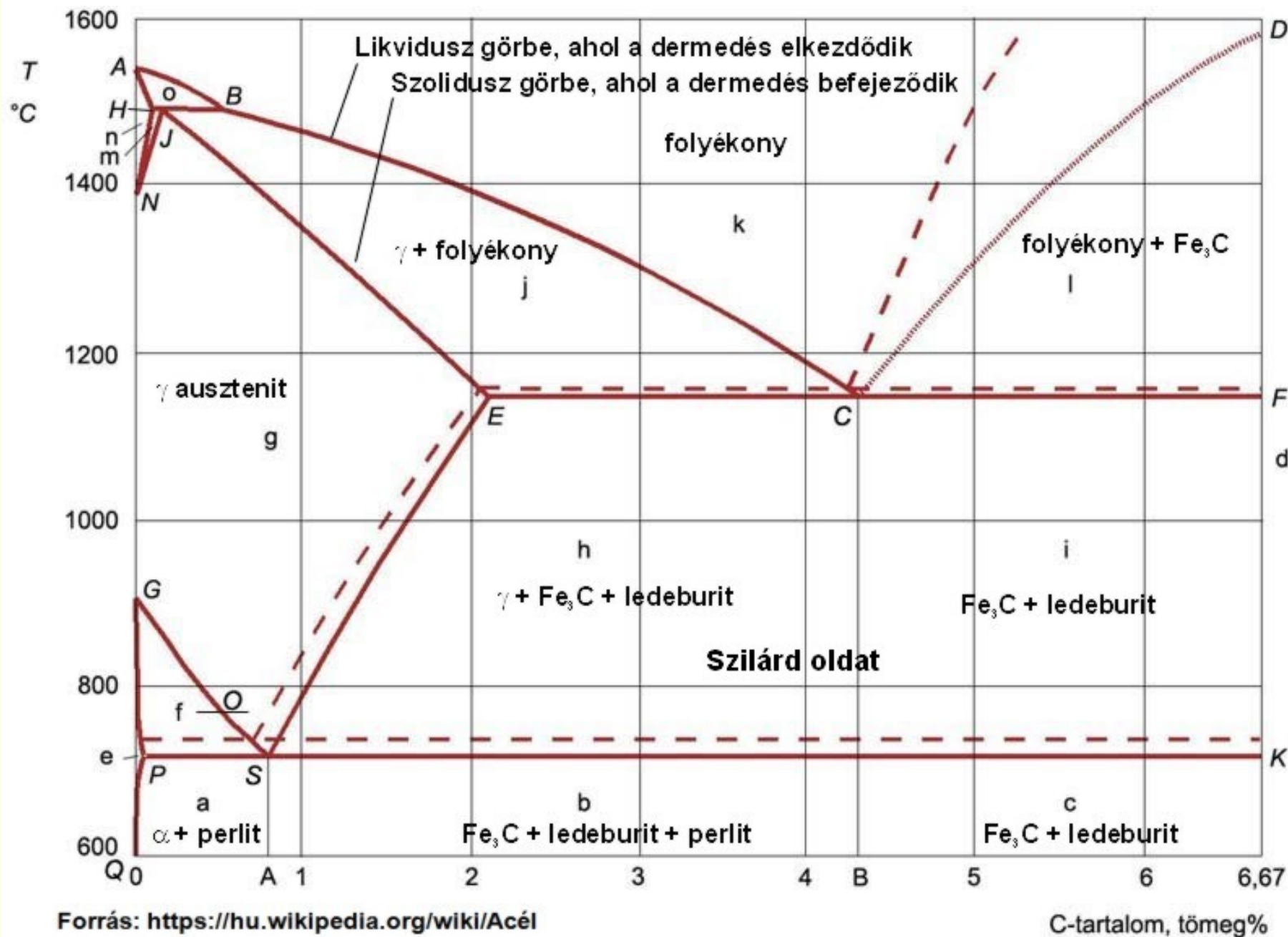
o = δ + folyékony

A diagramot első kidolgozóiról **Heyn-Charpy-diagramnak** is nevezzük.



A **vas-szén** „metastabil” fázisdiagramja (állapotábra), amely bemutatja, hogy a ferrit, vagy alfa-vas milyen tartományban stabil az acélokban.

Azért „metastabil”, mert a szén az ötvözetekben egyrészt, mint **szabad C**, grafit, másrészt Fe₃C (cementit) vegyületben, vaskarbidként, **kötött C** formában van jelen.



Ötvöző elemek

– Legierungselemente:

Buchstaben = Chemische Symbole für die den Stahl charakterisierenden Legierungselemente¹⁾, gefolgt von Zahlen, getrennt durch Bindestriche, die dem mittleren Gehalt der Elemente, multipliziert mit den nachstehenden Faktoren entsprechen.

Element	Faktor
Cr, Co, Mn, Ni, Si, W	4
Al, Be, Cu, Mo, Nb, Pb, Ta, Ti, V, Zr	10
Ce, N, P, S	100
B	1000

- ¹⁾ Die Reihenfolge der Symbole muss nach abnehmendem Wert des Gehaltes geordnet sein; wenn die Werte für den Gehalt von 2 oder mehr Elementen gleich sind, sind die entsprechenden Symbole in alphabetischer Reihenfolge anzugeben.

Ötvöző elemek

– Alloying elements:

Letters = chemical symbols indicating alloying elements¹⁾ that characterize the steel followed by: numbers, separated by hyphens, representing respectively the average percentage content of the elements multiplied by the following factors

Element	Factor
Cr, Co, Mn, Ni, Si, W	4
Al, Be, Cu, Mo, Nb, Pb, Ta, Ti, V, Zr	10
Ce, N, P, S	100
B	1 000

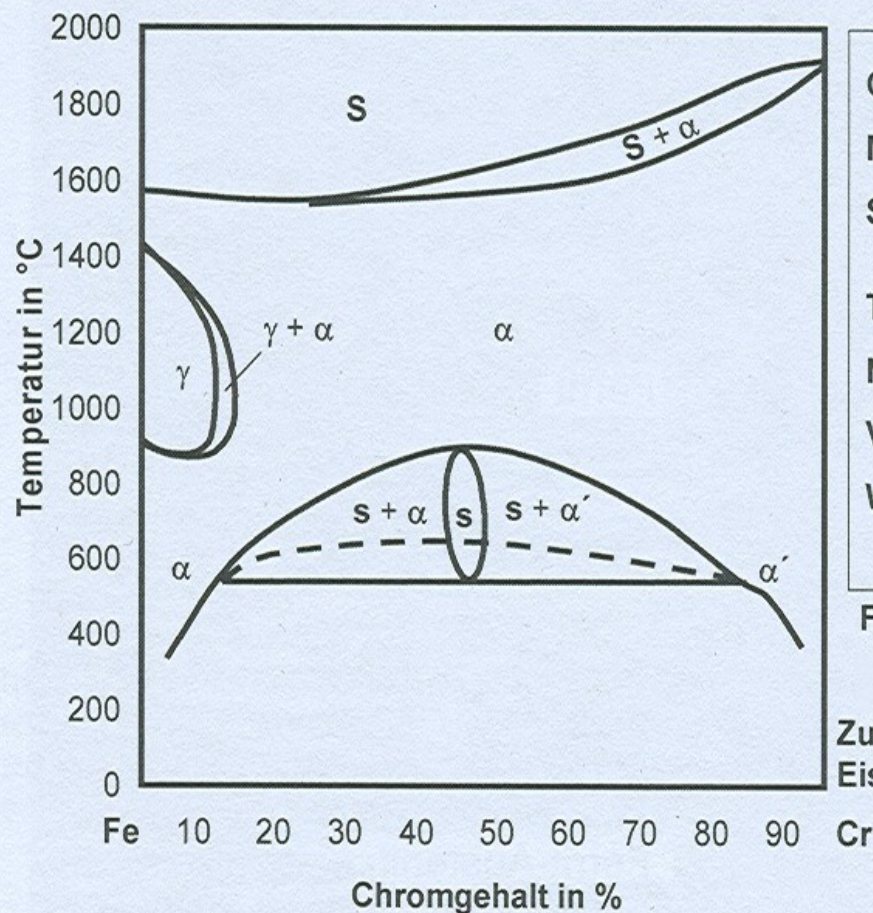
- ¹⁾ The sequence of symbols shall be in decreasing order of the values of the average percentage content; where the values of contents are the same for two or more elements, the corresponding symbols shall be indicated in alphabetical order.

Ötvözők hatása a szövetszerkezetre

FERRIT-KÉPZŐ ÖTVÖZŐK

Króm. A rozsdamentes acélok krómtartalma mintegy 10-30 tömeg%. A króm a *ferrit-képzők* csoportjába tartozik. A vas-króm állapotábrán (egyensúlyi diagramon) az α -fázis nagy területet foglal el, és a γ -fázis

beszűkül.



Chrom
Molybdän
Silicium

Titan
Niob
Vanadium
Wolfram

Ferritbildend auch durch Abbinden der Austenitbildner Kohlenstoff und Stickstoff

Ferritbildende Legierungselemente

Zustandsschaubild
Eisen-Chrom

Ferrit-képzők, azáltal is, hogy megkötik az ausztenit-képző szenet és nitrogént

Vas-króm állapotábra és ferrit-képző ötvöző elemek (Gümpel et al. 2016)

Ötvözők hatása a szövetszerkezetre

FERRIT-KÉPZŐ ÖTVÖZŐK

Molibdén. *Ferrit-képző* ötvöző. Különösen a halogéntartalmú oldatok okozta lyukkorrózió elleni védelmet fokozza.

Volfrám. Hatása a molibdénéhez hasonló.

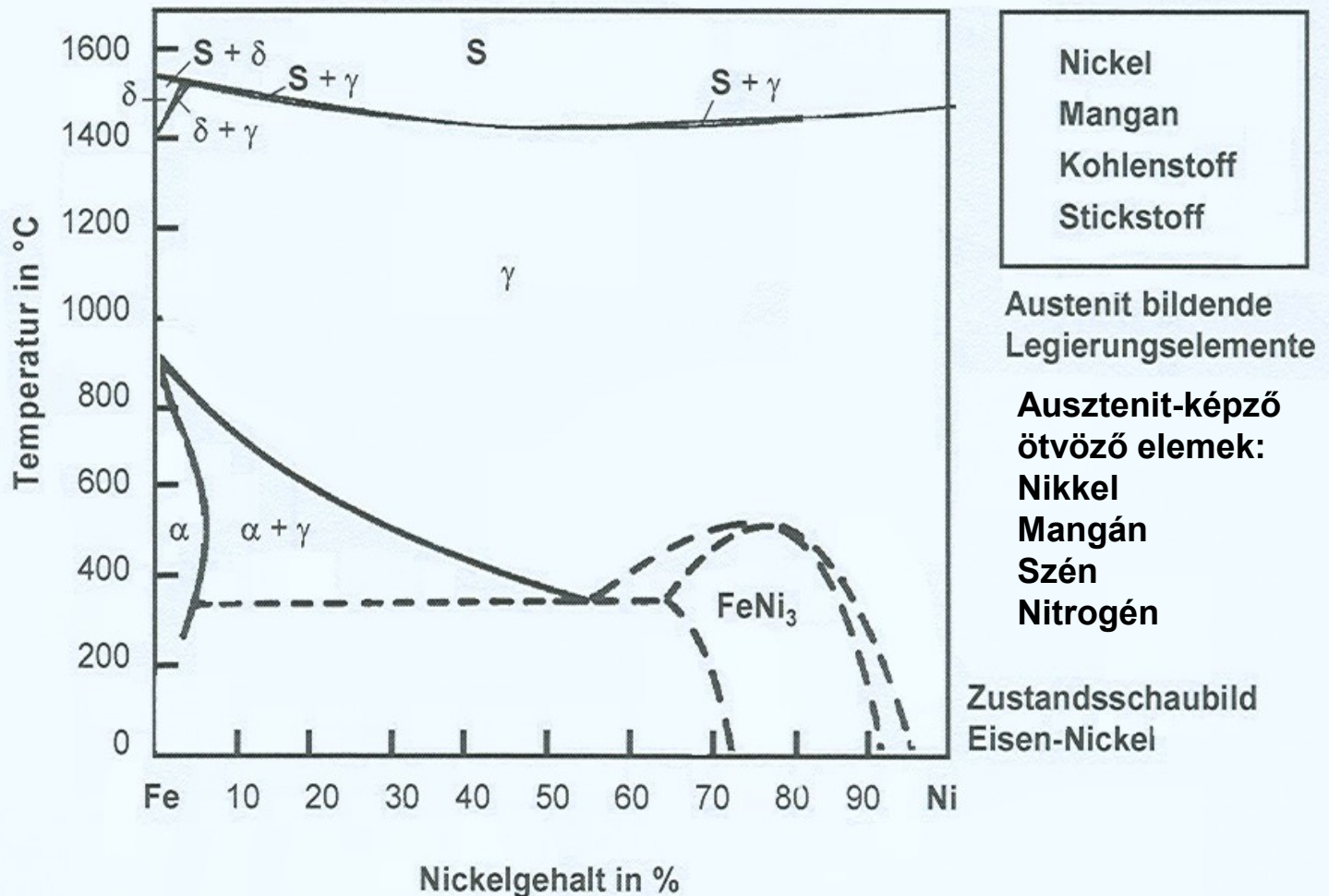
Szilícium. *Ferrit-képző* ötvöző. A rozsdamentes acélok szilíciumtartalma általában kevesebb, mint 1 tömeg%. A hőálló acélok reveképződését csökkenti, ha azok szilíciumtartalma mintegy 2 tömeg%. Nagyobb szilíciumtartalma legfeljebb 5 tömeg%-ig a különleges acéloknak, mint például az erős salétromsav (HNO_3) hatásának ellenálló acéloknak van.

Titan, nióbium, vanádium és volfrám a ferrites elegykristályt stabilizálja közvetlenül azáltal, hogy maga is *ferrit-képző*, és közvetve azáltal, hogy megköti az erősen ausztenit-képző szenet és nitrogént.

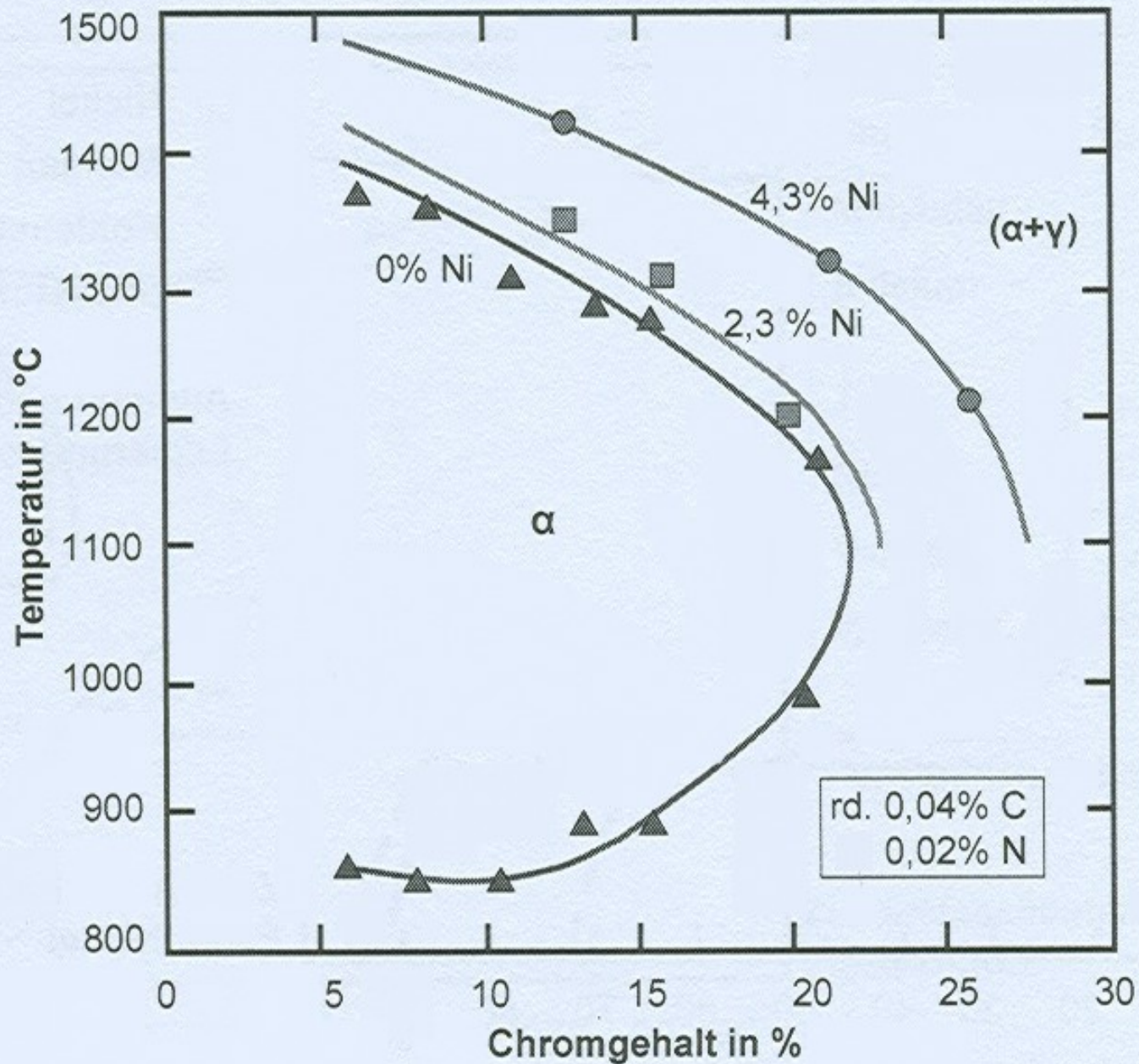
Ötvözők hatása a szövetszerkezetre

AUSZTENIT-KÉPZŐ ÖTVÖZŐK

Nikkel. A króm mellett az ausztenites acélok legfontosabb ötvöző anyaga. A vassal a γ -elegykristályok teljes sorát alkotja, és ezáltal erős *ausztenit-képző*.



Vas-nikkel
állapotábra és
ausztenit-
képző ötvöző
elemek
(Gümpel et al.
2016)



Nikkel hatására eltolódó (α+γ)-fázis és α-fázis tartomány közötti határgörbe a vas-króm állapotábrán (Gümpel et al. 2016)

Ötvözők hatása a szövetszerkezetre

AUSZTENIT-KÉPZŐ ÖTVÖZŐK

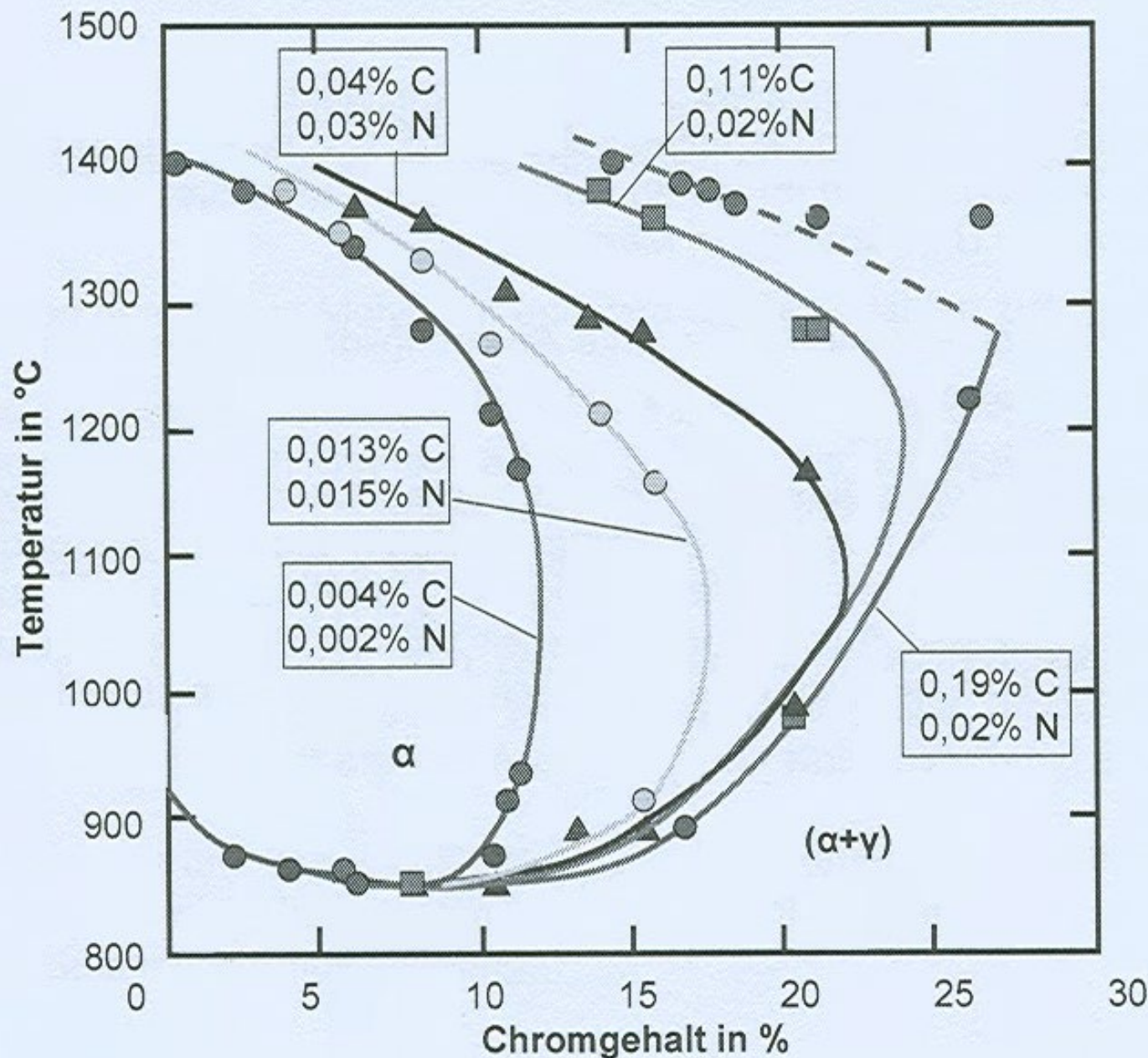
Mangán-tartalom mintegy 2 tömeg%-ig gyenge ausztenit-stabilizáló hatása van. Nagyobb mennyiségben, például 5 tömeg% felett, dermedéskor inkább ferrit-képző, míg szilárd állapotban az ausztenites elegykristályokat megvédi a diffúzió nélküli martenzites átalakulástól.

Szén és **nitrogén** mint erős ausztenit-képzők – akárcsak a nikkel – megnövelik a γ -vas területet a vas-króm fázisdiagramban (állapotábrán).

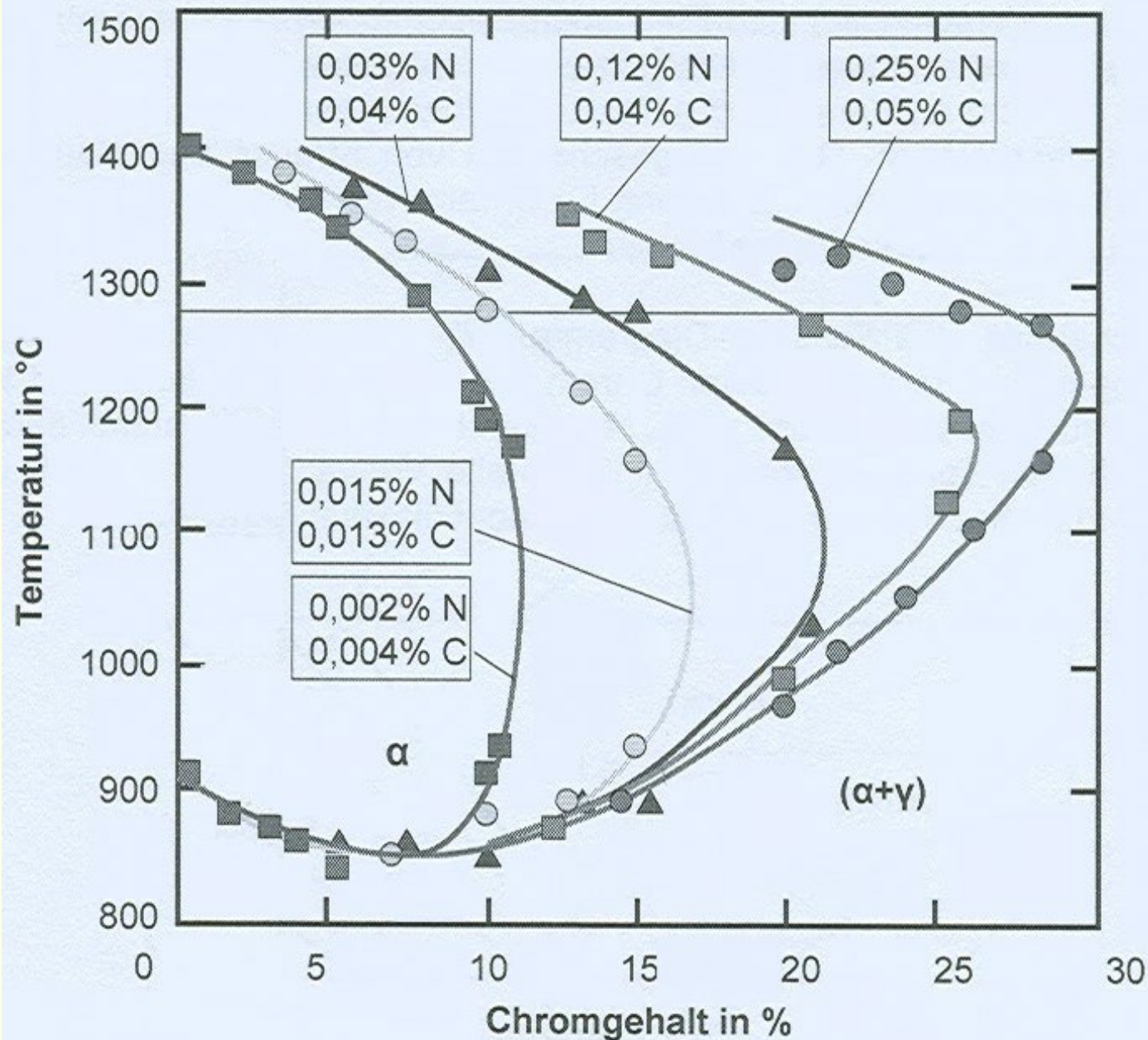
Ezeknek az ötvöző elemeknek az erős hatására a szokásos ferrites acélok már viszonylag kis szén- és nitrogéntartalom (0,1 tömeg% C+N) mellett is magasabb hőmérsékleten ferrites és ausztenites szövetszerkezetet mutatnak.

Az ausztenit martenzites átalakulása folytán szobahőmérsékleten a ferrites alap-szövetszerkezet megjelenése mellett a szövetszerkezet is megváltozik.

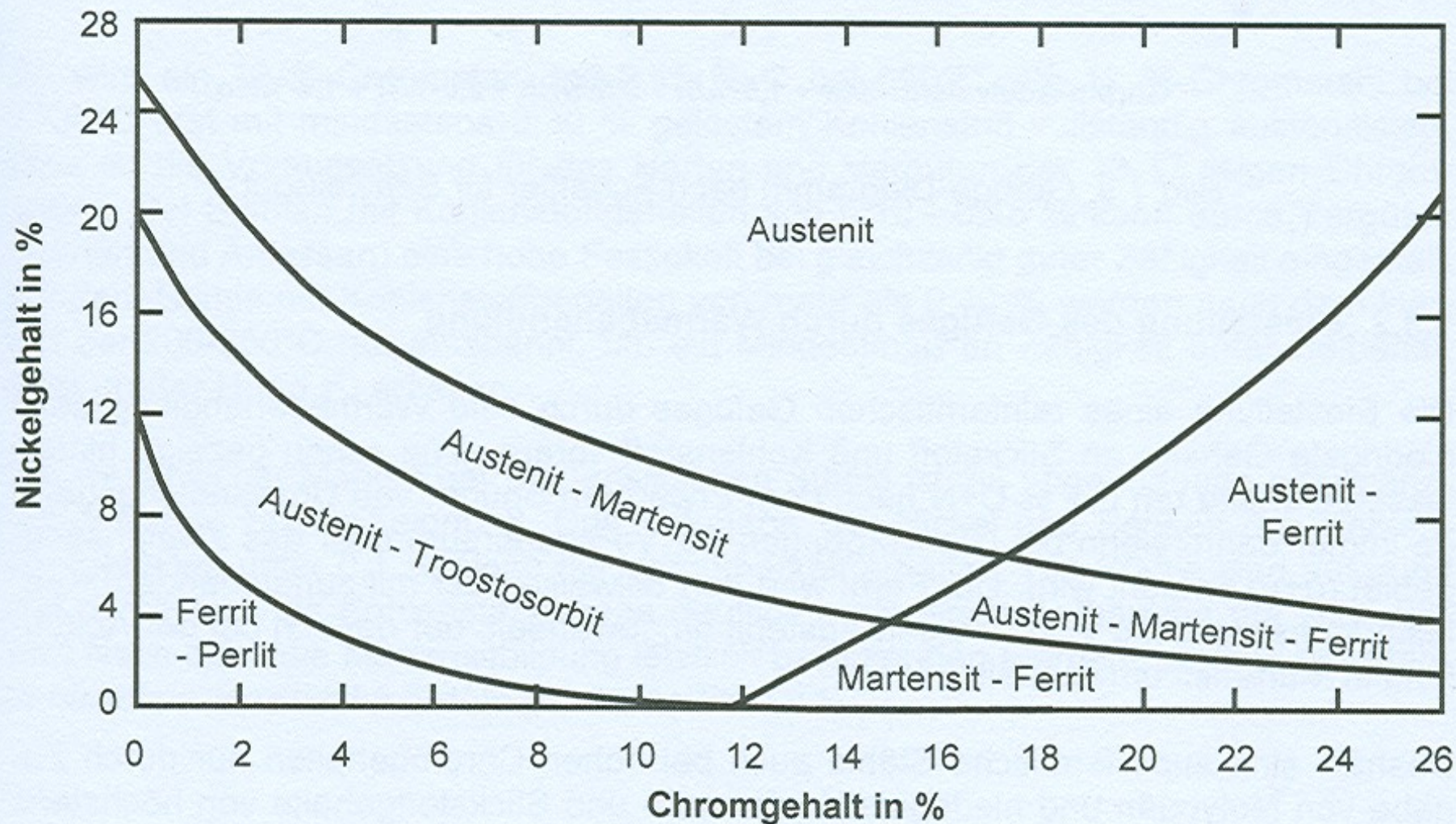
Az ötvöző elemeknek a sok-összetevős nem rozsdásodó acél várható szövetszerkezetére gyakorolt hatásának becslésére az összefüggéseket egy egyszerű diagramokban szokás ábrázolni. Ilyen például *Strauss* és *Maurer* szövetszerkezeti diagramja a 0,2 tömeg% széntartalmú króm-nikkel acélokra, vagy a *Schäffler*-diagram a hegesztendő acélokra.



Szén (C) hatására eltolódó $(\alpha+\gamma)$ -fázis és α -fázis tartomány közötti határgörbe a vas-króm állapotábrán (Gümpel et al. 2016)



Nitrogén (N)
hatására
eltolódó $(\alpha+\gamma)$ -
fázis és α -fázis
tartomány
közötti
határgörbe a
vas-króm
állapotábrán
(Gümpel et al.
2016)



**Strauss és Maurer szövetszerkezeti diagramja
a 0,2 tömeg% széntartalmú króm-nikkel acélokra (Gimpel et al. 2016)**

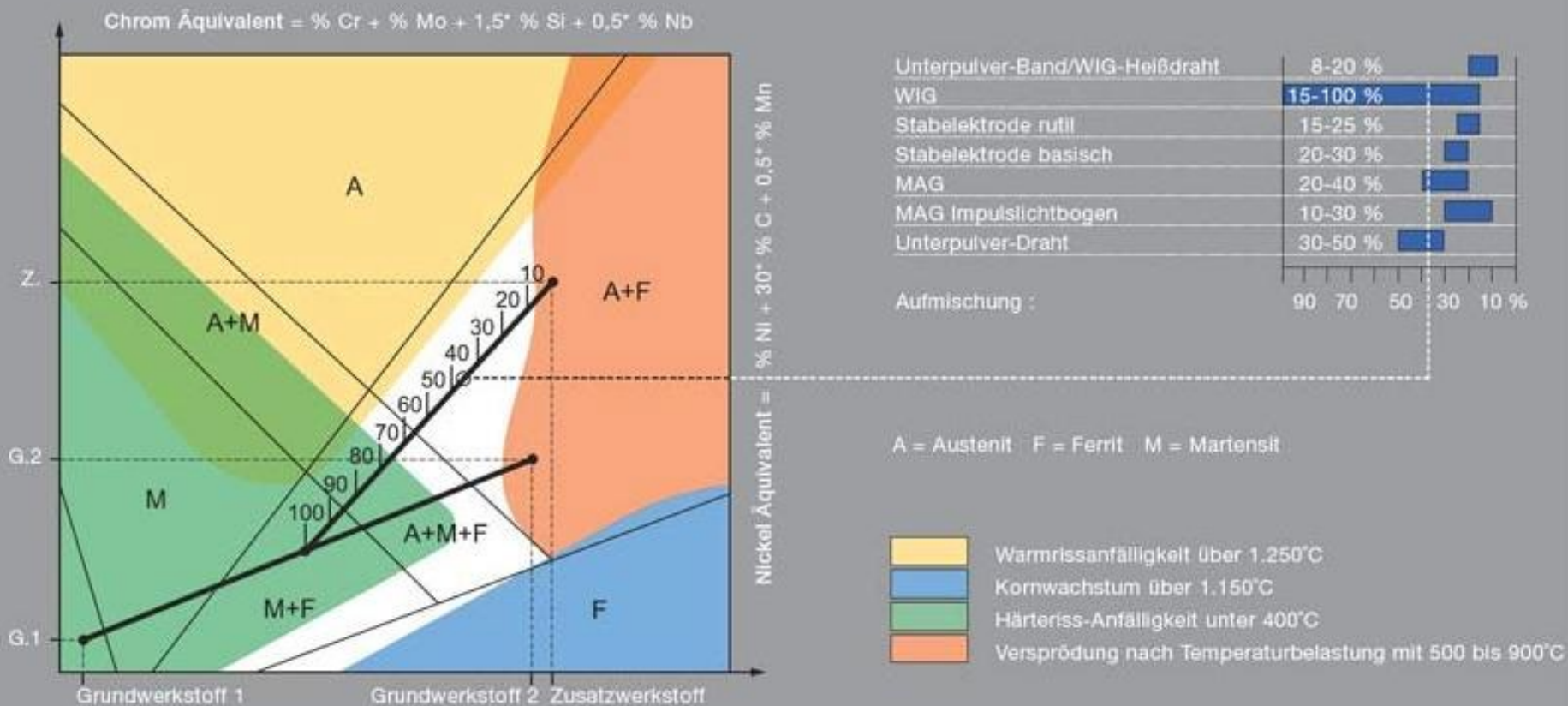
A *Schäffler*-diagramban a króm-egyenértékben és nikkel-egyenértékben kifejezett ötvöző elemek ferrit- és ausztenit-képző hatása látható a magas hőmérsékletről lehűlt szövetszerkezetre. A *Schäffler*-diagram mindenek előtt a hegesztendő acélötvözet (Schweißgut) szövetszerkezeti összetevőinek becslésére alkalmas az ötvözet króm-egyenértéke és nikkel-egyenértéke alapján.

Az acél, amelynek szövetszerkezete a *Schäffler*-diagram „fehér tartományában” fekszik, jól hegeszthető. A *Schäffler*-diagram „fehér tartományának” S-alakja van, és a diagram közepén alul fekszik.

Az ilyen szövetszerkezetű acél hegesztésekor nem jelentkeznek olyan gondok, mint a forrórepedések (Heißrisse), hideg repedések (Kaltrisse), szemcsenövekedés (Kornwachstum), Sigma-ridegülés (Sigma-Versprödung).

A *Schäffler*-diagramot *Anton L. Schäffler* (1919-2001) amerikai (USA, Wisconsin állambeli, Milwaukee-i) mérnök 1949-ben fejlesztette ki.

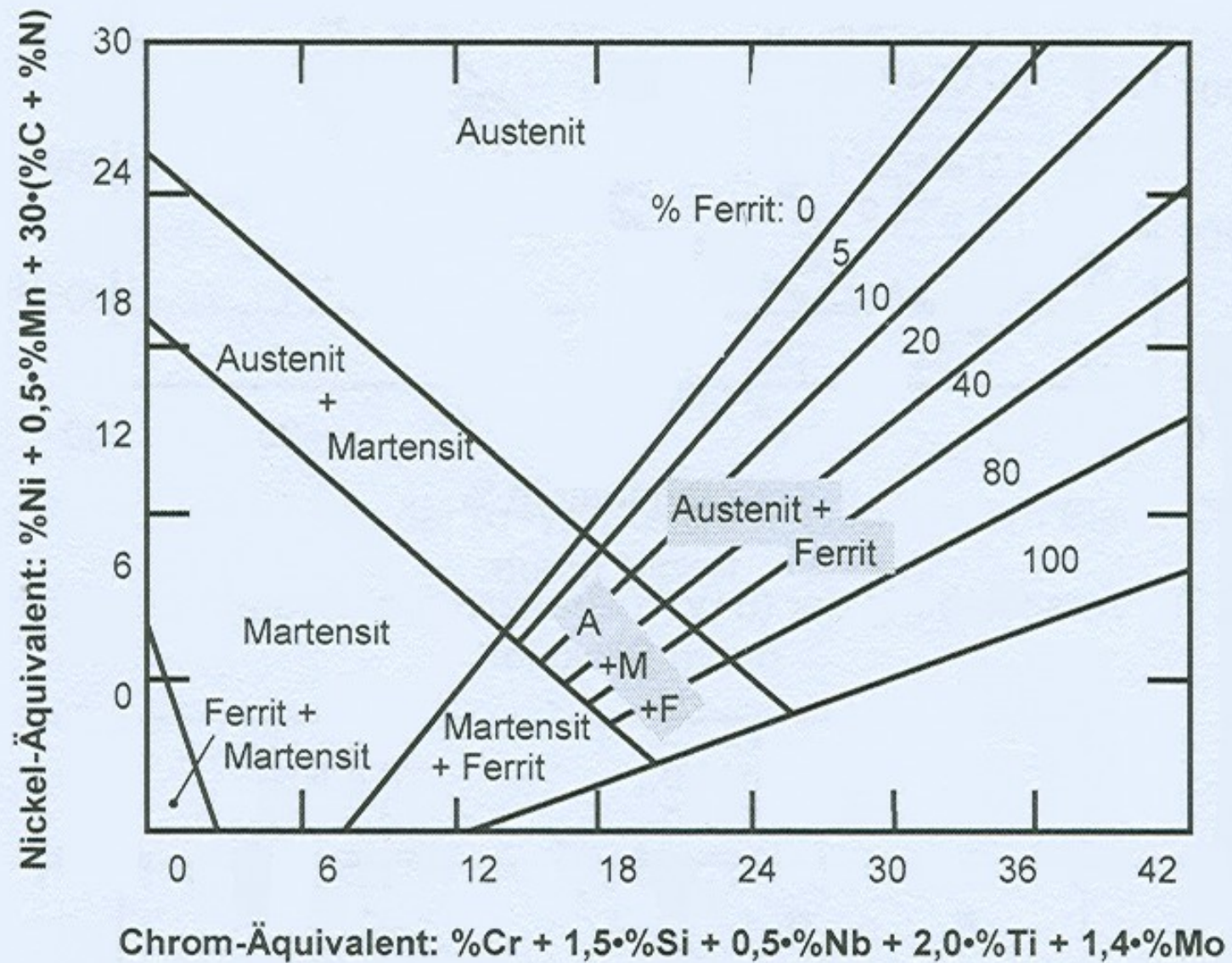
Schaeffler-Diagramm



Schäffler-diagram. Hegesztendő acélötvözet króm-nikkel egyenértékeinek állapotábrája

A „fehér tartományába” eső ötvözetek jól hegeszthetők.

Forrás: <http://www.bs-wiki.de/mediawiki/index.php/Datei:Schaeffler-Diagramm.JPG>



Schäffler-diagram. Hegesztendő acélötvözet króm-nikkel egyenértékeinek állapotábrája (Gimpel et al. 2016)

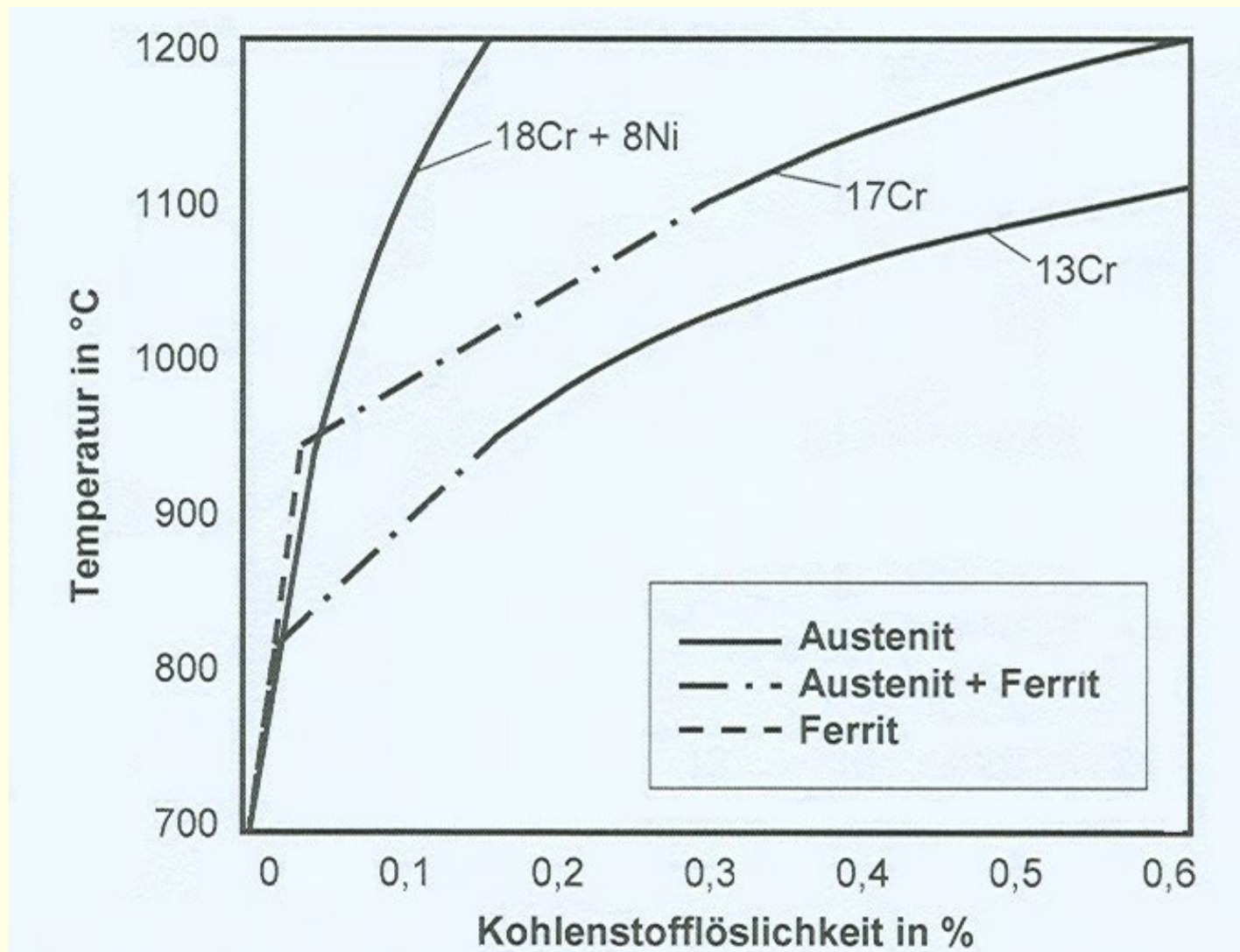
Szövetszerkezet beállítása hőkezeléssel

A **tiszta ferrites szövetszerkezet** előállítása hőkezeléssel kis nitrogéntartalmat és kis széntartalmat feltételez. Hőkezelés után a megváltozott szövetszerkezetben akkor jelenik meg 0,1 tömeg% körüli szén+nitrogéntartalom, amikor az izzítási folyamat eléri a γ -fázisteret vagy a kétfázisú ($\alpha+\gamma$)-teret. Ekkor a ferrit részben vagy növekvő széntartalom mellett közel teljesen átváltozik ausztenitté, amelyik azután a lehűlés során átalakul martenzitté.

Ez az oka annak, hogy szuper-ferrites acélokat nagy krómtartalom mellett is csak molibdén hozzáadásával és legfeljebb 0,015 tömeg% szén- és nitrogéntartalom mellett, és nióbium vagy titán stabilizálással lehet előállítani.

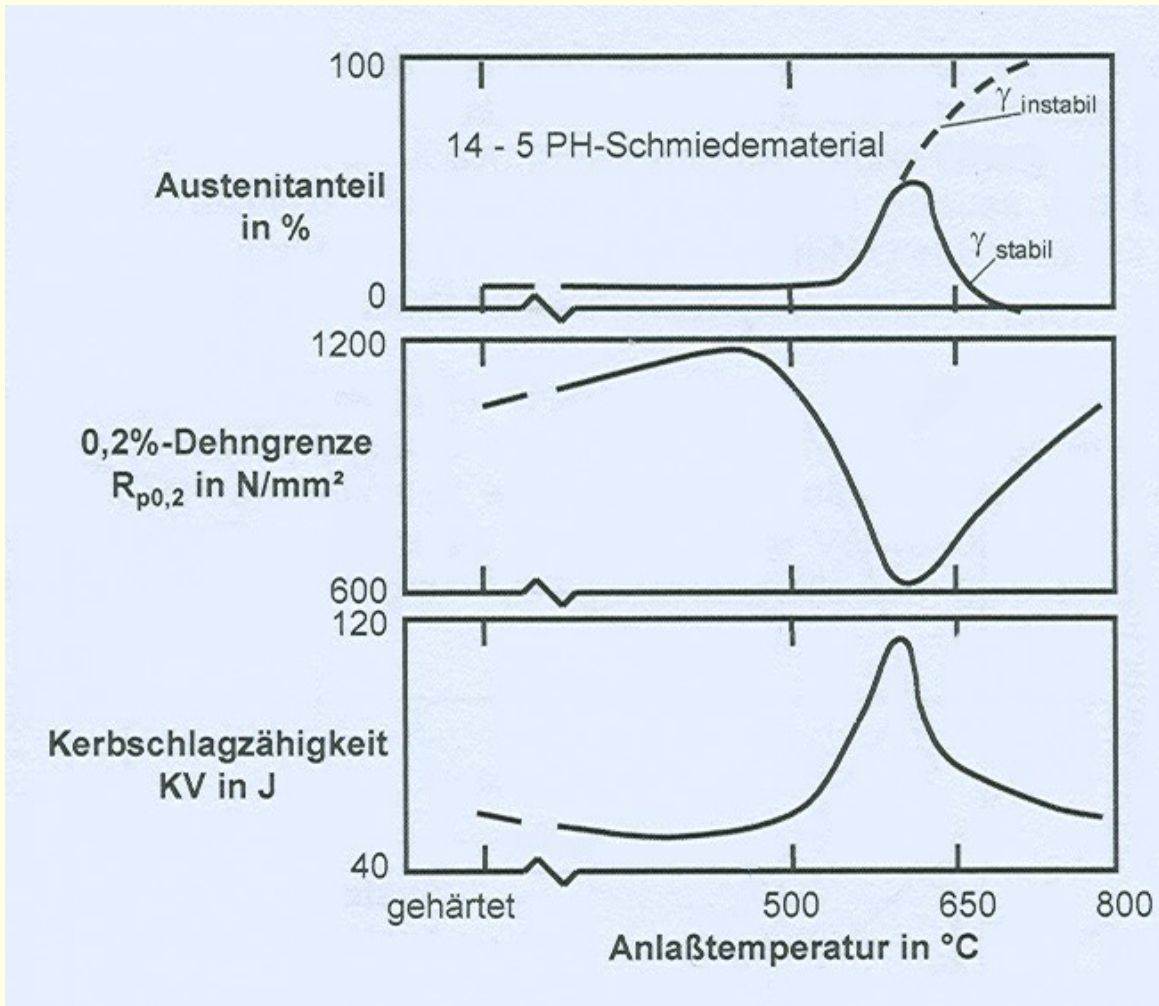
Másrészt **tiszta ausztenites szövetszerkezet** előállítása nagy hőmérsékleten csak nagyobb szén-, nitrogén- és/vagy nikkeltartalom mellett lehetséges.

Így a 13 tömeg%-os krómacél 0,15 tömeg%-os széntartalommal 950 °C hőmérsékleten, a 17 tömeg%-os krómacél 1100 °C hőmérsékleten, csak legalább 0,3 tömeg% oldott széntartalom mellett ausztenitesíthető teljesen. Ez a feltétele a 13-17 tömeg% krómtartalmú acél edzésének és nemesítésének. A 0,10-0,45 tömeg% széntartalmú acélok nemesítésével (edzés és megeresztés) nagy szilárdságot és egyidejűleg jelentős szívósságot lehet elérni. A 0,4 tömeg%-nál nagyobb széntartalmú acélokat 200-350 °C hőmérsékleten való edzés után csak meg kell ereszteni a minimális szívósság eléréséhez a nagy szilárdság megtartása mellett.



Összefüggés a króm-, szén- és nikkeltartalom, valamint az izzítási hőmérséklet, a szénoldódás (azaz széntartalom, Kohlenstofflöslichkeit) és a szövetszerkezet alakulása között (*Gimpel et al. 2016*)

A **martenzites acélok** lényeges hiányossága, hogy *rosszul vagy egyáltalán nem hegeszthetők*. Nikkel hozzáadása és a szénttartalom 0,1 tömeg% alá csökkentése hegeszthetővé teszi a martenzites acélokat. Ezek az acélok a kis szénttartalomnak köszönhető kis felkeményedés folytán jól hegeszthetők. Az ilyen acélokat **nikkel-martenzites acéloknak** hívják.



Kovácsoltanyag

Ausztenit-részarány

0,2%-os maradó nyúláshoz
tartozó névleges
folyáshatár (egyezményes
folyáshatár)

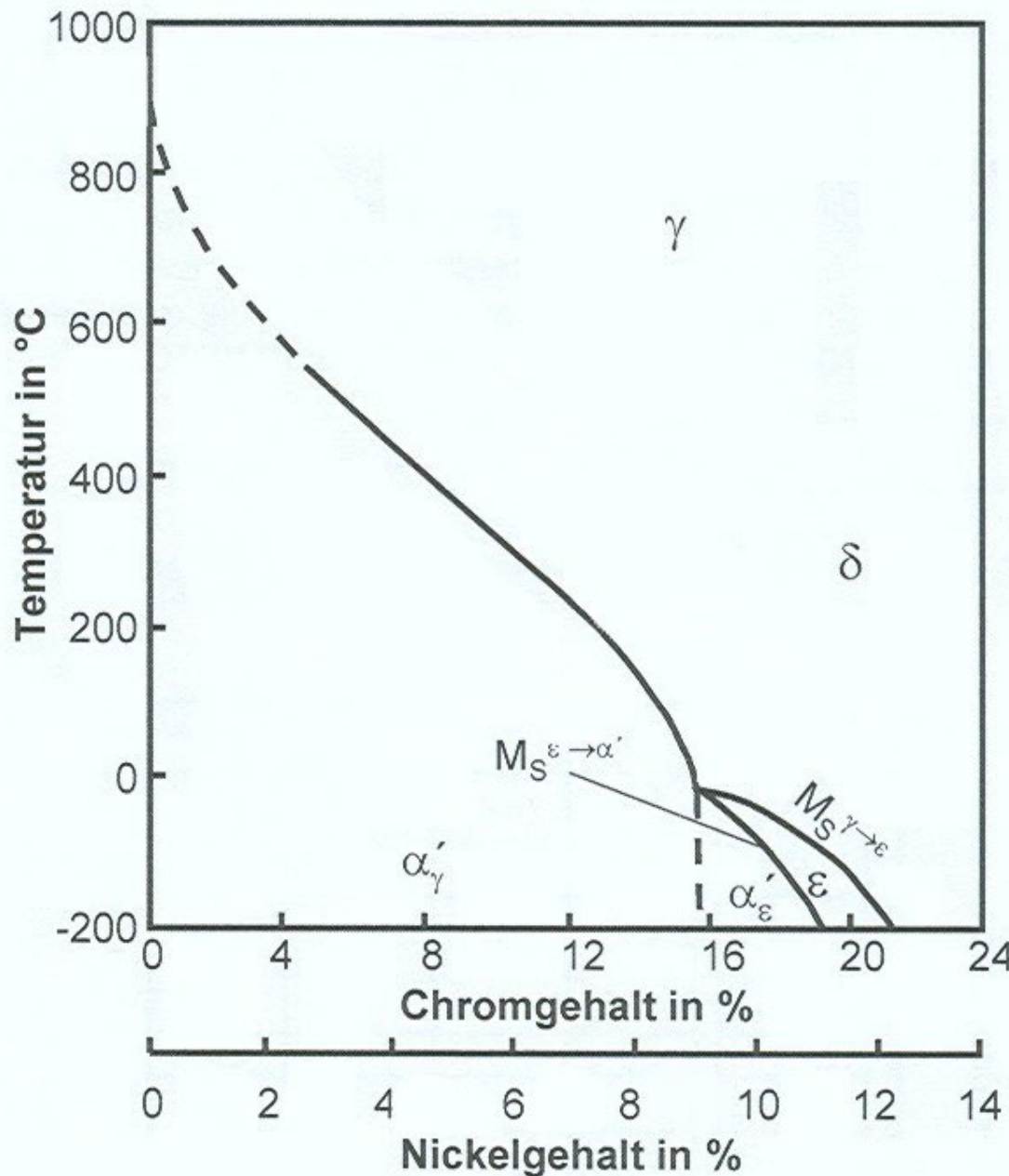
Ütőmunka szívósság

Nikkel-martenzites acélok
megeresztési állapotábrája
(*Gümpel et al. 2016*)

A **nikkel-martenzites acélok** különleges tulajdonsága, hogy a szívóssága 500-620 °C hőmérsékleten megeresztve még viszonylag nagy szilárdság mellett is nagy lesz. Ebben a hőmérséklet tartományban új ausztenit képződik, amely lehűlés után nem alakul át martenzitté. Ez a **stabil ausztenit** biztosítja a szívósságot. Csak 620 °C hőmérséklet felett képződik instabil ausztenit.

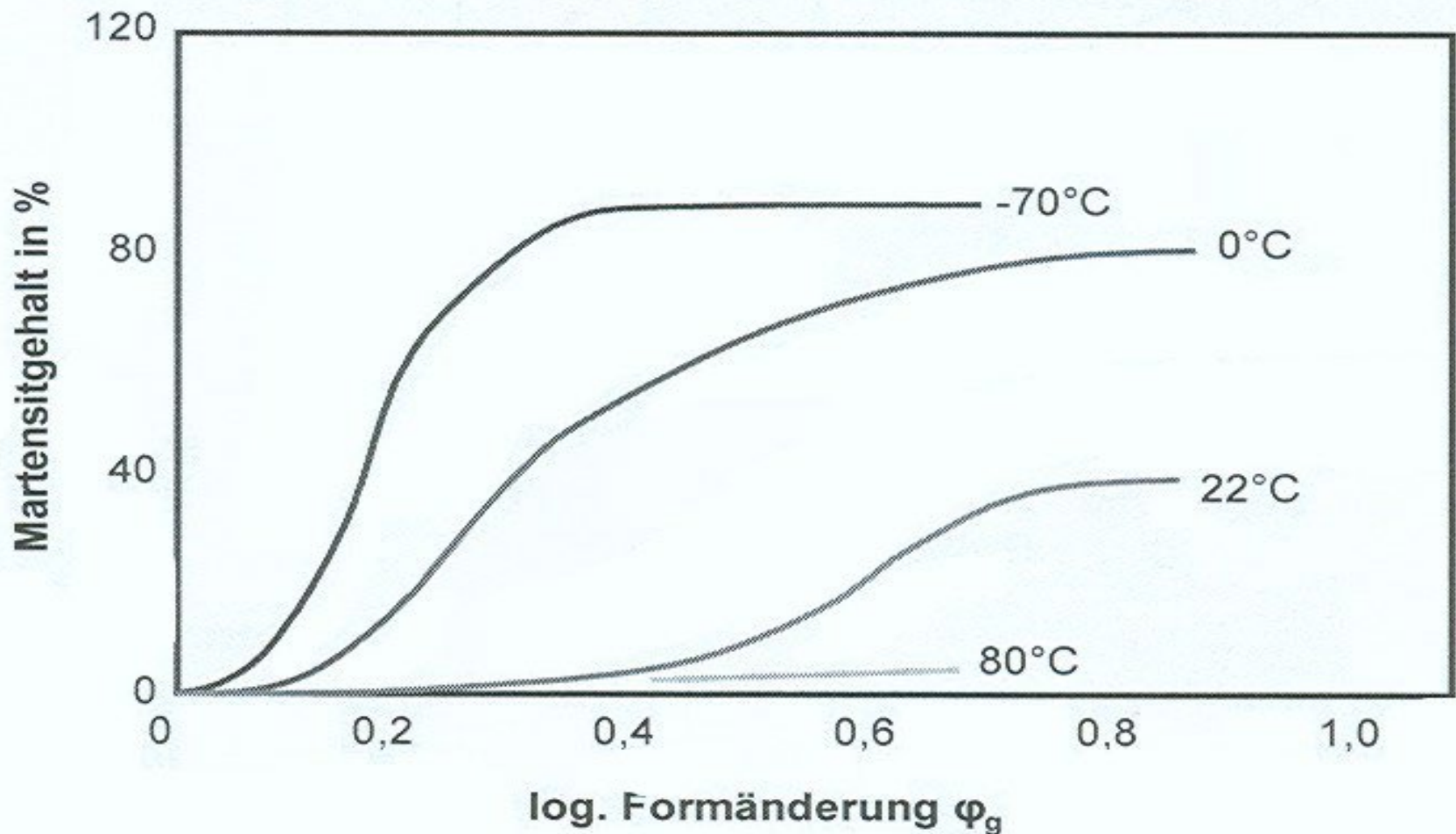
A **nikkel-martenzites acélok** fémes fázisok kiiktatásának és a 400-600 °C hőmérséklet között képződő karbidoknak (fémek szénnel alkotott vegyületei, például vas-karbid = Fe_3C , cementit) köszönhetően jól kikeményíthetők. Ilyen céllal réz, titán és alumínium ötvözőket alkalmaznak.

Az **ausztenites acélok** 1000-1150 °C hőmérséklet között diffúziós izzításon és edzésen esnek át. Az ausztenit metastabil (nem stabil, nem egyensúlyi) állapotba kerül. Ezért képződhetnek a karbidok, nitridek és fémes fázisok, mint szigma (σ) és chi (χ), illetve jöhet létre az α -martenzitté alakulás.



A martenzit képződés, azaz a γ -vas átalakulása α -vassá ($\gamma \rightarrow \alpha$) mind az **ötvőzésnek,** mind a **hőmérsékletnek** függvénye (Gümpel, 2016) .

Az ábrán a martenzit képződés kezdetét lehet látni króm-nikkel acélok esetén az 1050 °C hőmérsékletről való lehűlés után (H. Schumann után)



Martenzit képződés metastabil (nem stabil, nem egyensúlyi) ausztenites acél képlékeny alakítása során különböző átalakítási hőmérsékleteken (*T. Angel* után)

Az ötvözők hatékonysága a **martenzit képződés hőmérsékletének** függvényében különböző matematikai összefüggésekkel fejezhető ki:

$$M_{d30} = 413 - 462\%(C+N) - 9,2(\% Si) - 8,1(\% Mn) - 13,7(\% Cr) - 9,5(\% Ni) - 18,5(\% Mo) \text{ } ^\circ\text{C}$$

⇒ M_{d30} ist die Temperatur,
bei der nach 30%iger Umformung 50% Martensit gebildet wird.

$$M_s = 1305 - 1665\%(C+N) - 28(\%Si) - 33(\%Mn) - 42(\%Cr) - 61(\%Ni) \text{ } ^\circ\text{C}$$

⇒ Martensitpunktberechnung nach *Hull* und *Eichelmann*

ahol:

- M_{d30} az a hőmérséklet, amelyen 30%-os átalakulás során 50% martenzit képződik;
- M_s a martenzit képződés hőmérséklete *Hull* és *Eichelmann* szerint (lásd a következő diakockát is).

53

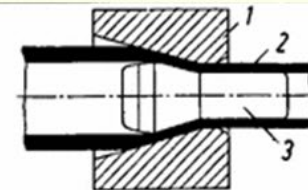
Jobst-H. Kerspe

**Abstreckgleitziehen von
nichtrostenden
austenitischen Stählen**

Eichelmann, Gr. H., **Hull**, F. C.: The Effect of Composition on the Temperature of Spontaneous Transformation of Austenite to Martensite in 18-8 Typ Stainless Steel. Transaction of the ASME 45 (1953), S. 77 - 104.

Hivatkozás *Eichelmann* és *Hull* tanulmányára a Stuttgarti Egyetem rozsdamentes ausztenites acélok kiadványában

Gleitziehen \equiv Durchziehen = áthúzás



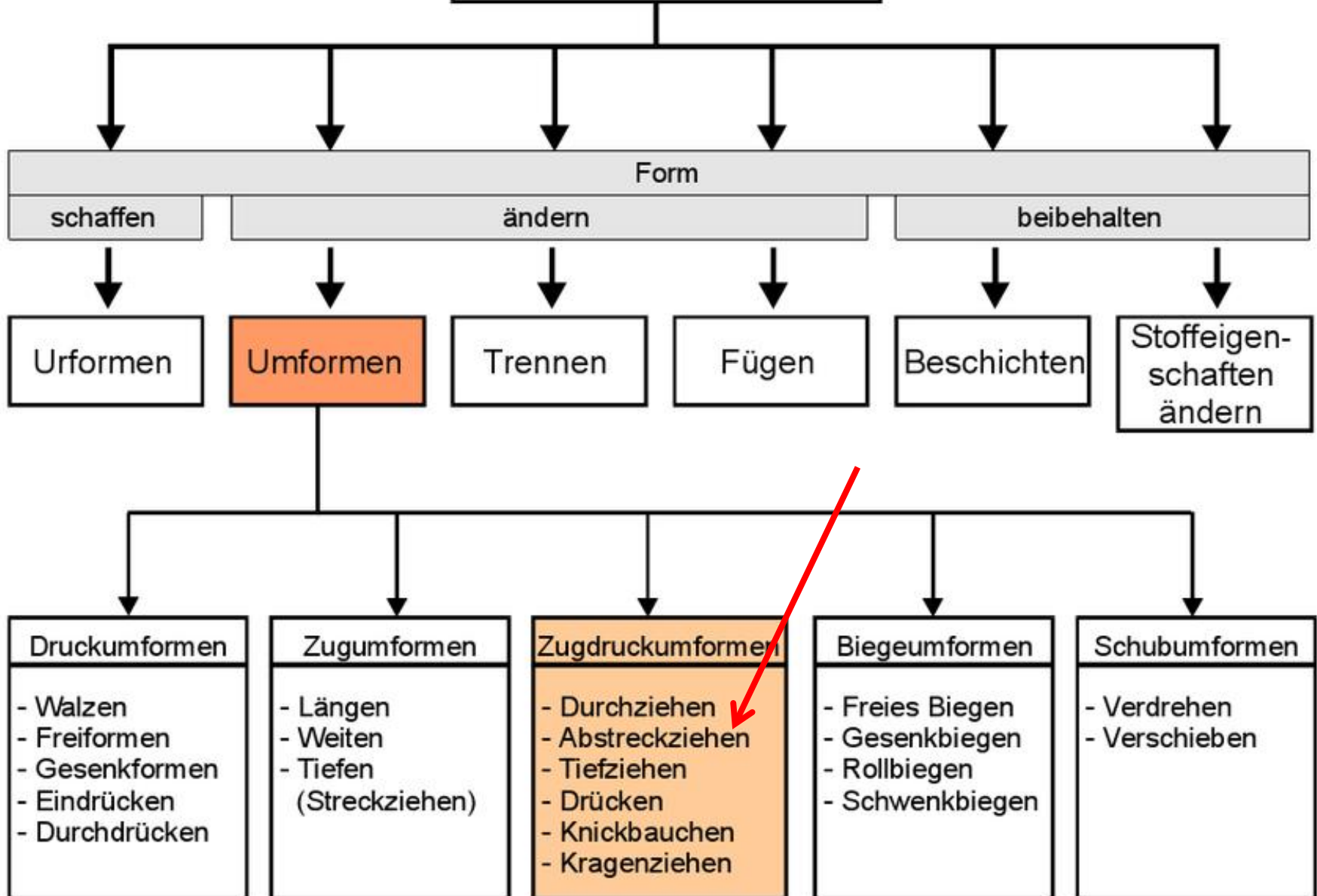
Ábra *Heinz Tschätsch*:
„Rohrziehen” c. könyvből

Bild 11.3 Prinzip des Gleitziehens über schwimmenden Dorn. 1 Ziehring, 2 Werkstück, 3 schwimmender Dorn

Abstreckgleitziehen = nyújtó-mélyhúzó-alakító módszerek egyike

Fertigungsverfahren (DIN 8580)

Forrás: *Elmar Mönig*:
„Tiefziehen“ 2012.



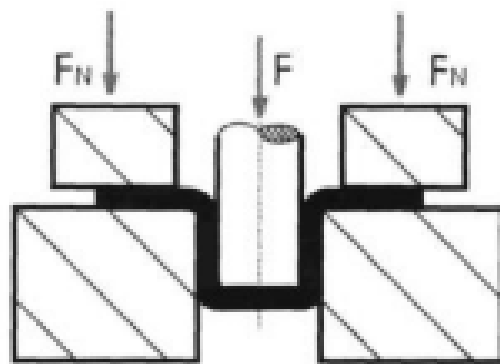
2.1 Schema des Tiefziehens

Forrás: *Elmar Mönig*: „Tiefziehen“ 2012.

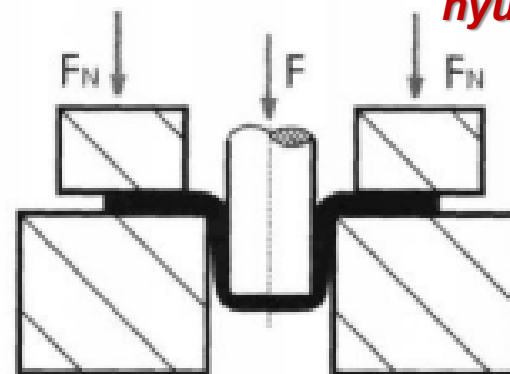
Nach DIN 8584 Blatt 3 ist Tiefziehen ein Zugdruckumformen eines Blechzuschnittes (je nach Werkstoff auch einer Folie oder Platte, einer Tafel, eines Ausschnittes oder Abschnittes) zu einem Hohlkörper oder Zugdruckumformen eines Hohlkörpers zu einem Hohlkörper mit kleinerem Umfang ohne beabsichtigte Veränderung der Blechdicke.

Nach DIN 8584 Blatt 2 ist das Abstreck- Gleitziehen (Abstreckziehen) ein Gleitziehen von Hohlkörpern durch einen Abstreckring mit einem gegen den Werkstückboden drückenden Innenwerkzeug (Stange, Stempel) z.B. zur Wanddickenverminderung von tiefgezogenen oder fließgepressten Näpfen.

Abstreckgleitziehen = olyan mélyhúzó-alakító módszer, amellyel a munkadarab falvastagsága is megváltozik, azaz nyújtó-mélyhúzó módszer.



a.) Blechdicke $s = s_0 = \text{konstant}$



b.) Blechdicke $s \neq s_0 \neq \text{konstant}$

Abbildung 2-1: a.)Tiefziehen

b.)Abstreckziehen

Rozsdamentes acélfajták rövid jele kémiai összetétel alapján az MSZ EN 10088-2:2015 szerint

Forrás: Europäische Stahlsorten, 2017.

Nichtrostende Stähle und andere legierte Stähle (außer Schnellarbeitsstähle), sofern der mittlere Gehalt mindestens eines der Legierungselemente $\geq 5\%$ ist

Die Bezeichnung besteht aus:

- X = Hauptsymbol für nichtrostenden Stahl
- PM = Pulvermetallurgie (wenn für Werkzeugstähle erforderlich)
- G = Stahlguss (vorangestellt, wenn erforderlich)

– Kohlenstoffgehalt:

3 Ziffern = $100 \times$ mittlerer C-Gehalt des vorgeschriebenen Bereiches. Wenn kein Bereich für den Kohlenstoffgehalt angegeben ist, ist von einem passenden repräsentativen Wert auszugehen.

Zwecks Unterscheidung zwischen zwei Stahlsorten mit ähnlicher chemischer Zusammensetzung kann die Kennzahl für den Kohlenstoffgehalt um 1 erhöht werden.

Rozsdamentes acélfajták rövid jele kémiai összetétel alapján az MSZ EN 10088-2:2015 szerint

Forrás: Europäische Stahlsorten, 2017.

Stainless steels and other alloy steels (except high speed steels) where the average content by weight of at least one alloying element is $\geq 5\%$

The designation is made up of:

- X = Principal symbol for stainless steels
- PM = powder metallurgy (where necessary for tool steel)
(where necessary for tool steel)
- G = steel casting (where necessary)
- Carbon content:

3 characters = $100 \times$ specified average carbon percentage content. Where the carbon percentage content is not specified by a range, a suitable representative value shall be selected by the responsible body.

To distinguish between two similar steel grades, the number indicating carbon content may be increased by 1.

Rozsdamentes acélfajták rövid jele kémiai összetétel alapján az MSZ EN 10088-2:2015 szerint

Forrás: Europäische Stahlsorten, 2017.

EN 10088-2: X10CrNi18-8

Nichtrostender austenitischer Stahl (X) mit einem mittleren prozentualen Gehalt an Kohlenstoff von 0,10 % (10), einem mittleren Chromgehalt (Cr) von 18,0 % (18) und einem mittleren Nickelgehalt (Ni) von 8 % (8)

EN 10088-2: X10CrNi18-8

Stainless austenitic steel (X) with a mean percentage carbon content of 0,10 % (10), a mean chromium (Cr) content of 18,0 % (18) and a mean nickel (Ni) content of 8 % (8)

	Bedeutung
1.2345(67)	Werkstoffhauptgruppe
1.2 3 45(67)	Sortennummer (Stahlgruppe)
1.234 5 (67)	Zählnummer
1.2345(67)	erweiterte Zählnummer

Werkstoffhauptgruppen [Bearbeiten | Quelltext bearbeiten]

Ziffer	Werkstoffhauptgruppe
0	Gusseisenwerkstoffe, Roheisensorten, Ferrolegierungen
1	Gruppe der Stähle
2	Nichteisen-Schwermetalle
3	Nichteisen-Leichtmetalle
4	Pulvermetalle, Sinterwerkstoffe
5...8	Nichtmetallische Werkstoffe
9	reserviert (für interne Verwendung)

Anyag szám jelölés-rendszer a DIN 17007-2:1961 szabvány szerint

Forrás:

<https://de.wikipedia.org/wiki/Werkstoffnummer>

Rozsdamentes acél ötvözetek csoport számjele a DIN 17007-2:1961 szabvány szerint

Sortennummer (Stahlgruppe)

40	Nichtrostender Stahl mit $< 2,5 \%$ Ni
41	Nichtrostender Stahl mit $< 2,5 \%$ Ni; mit Mo
43	Nichtrostender Stahl mit $\geq 2,5 \%$ Ni
44	Nichtrostender Stahl mit $\geq 2,5 \%$ Ni; mit Mo
45	Nichtrostender Stahl mit Sonderzusätzen

Forrás: <https://de.wikipedia.org/wiki/Werkstoffnummer>

Rozsdamentes acélok fajtái és jellemzői

1. Ferrites rozsdamentes acélok

Fő ötvöző: króm (Cr)

A legalább 11 % krómtartalmú acélok már kellő védelmet biztosítanak nedves környezetben a rozsdásodás ellen.

Alkalmazási területük: vasúti és közúti járművek, gépek gyártása, mezőgazdasági és háztartási eszközök, fűtőgáz elvezetők készítése, gázturbinák, konténerek, hőcserélő berendezések, nagy töménységű kénsavnak ellenálló eszközök gyártása.

A ferrites acélok

- jó szilárdsági tulajdonságokkal rendelkeznek megfelelő **szívósság** (Zähigkeit, toughness) mellett,
- de nem olyan **képlékenyek** (Duktilität, ductility), mint az ausztenites acélok, ezért alkalmazásuknak korlátai is vannak (Gümpel, 2016.).

A ferrites acélok általában 11-17% krómot tartalmaznak. Mágnesezhetők. Bizonyos feltételek mellett hegeszthetők. Hidegen-melegen egyaránt jól alakíthatók, jól forgácsolhatók. Gyenge maróhatású közegekben alkalmazzák, szerves savak és sók vizes oldataihoz, illetve közepes maróhatású közegekben. Dinamikus igénybevételeknek jól ellenállnak, szívósak. A Wnr. 1.4000 (KO-1) és a Wnr. 1.4113 minőségek jól polírozhatók és jól forgácsolhatók. A Wnr. 1.4016 (KO-3) jó korrózióállósággal rendelkezik minden szokványos környezetben, illetve kevés klórkoncentráció esetén, mint pl. a háztartások és a természetes víz. Tengervíznek nem ellenálló! Kristályközi korrózióval szemben ellenálló, míg hegesztése és magas hőmérsékleten történő feldolgozása nem ajánlott.

Wnr. = Werkstoffnummer = Anyag számjele

(Forrás: <http://www.perkor.hu/rozsdamentes-es-hoallo-acelok-anyagismerete>)

Ferrites rozsdamentes acélok alapvető típusai és alkalmazása (Gümpel, 2016.)

Grundtyp	Typische Stähle nach Norm EN 10088 (ASTM A 240)	Anwendungsbereiche Komponenten
11-13 % Chrom	1.4003 (S40977) 1.4512 (S40900)	Schienen- und Straßen- fahrzeuge Maschinen- und Anlagenbau Agrartechnik Haushalt Abgasanlagen / Gasturbine Containerbau Wärmetauscher Automobilindustrie Handhabung hoch- konzentrierter Schwefelsäure
16-18 % Chrom	1.4016 (S43000) 1.4509 (S43940) 1.4520	
16-18 % Chrom + 1-2,5 % Molybdän	1.4521 (S44400) 1.4113 (S43400)	
28 % Chrom +4 % Molybdän + (Ni) (Superferrite)	1.4575 1.4592	

Ferrites
rozsdamentes
acélok
mechanikai
tulajdonságai

Rp 0,2 =
mai jele: **f_{0,2}** =
0,2%-os fajlagos
maradó nyúlást
okozó feszültség,
névleges
folyáshatár

Rm =
mai jele **f_t** =
szakítószilárdság

A5 =
fajlagos
megnyúlás 5×d
hosszon

(Gümpel, 2016.)

Kausay

Werkstoffnummer Kurzname	Rp 0,2 in N/mm ² (quer)	Rm In N/mm ²	A5 In %
1.4003 X2CrNi12	280 bis 320	450 bis 650	18 bis 20
1.4000 X6Cr13	230	400 bis 600	19
1.4016 X6Cr17	260	430 bis 630	18 bis 20
1.4512 X2CrTi12	220	380 bis 560	25
1.4509 X2CrTiNb18	250	430 bis 630	18
1.4510 X3CrTi17	240	420 bis 600	23
1.4520 X2CrTi17	200	380 bis 530	24
1.4521 X2CrMoTi18-2	300 bis 320	420 bis 600	20

Stahlsorte		Chemische Zusammensetzung in Masse-%				
EN Kurzname	Werkstoff-Nr.	C	Cr	Mo	Ni	Andere
Ferritische korrosionsbeständige Stähle						
X2CrNi12	1.4003	≤ 0,03	10,5/12,5	0,20/0,60	0,3/1,00	N ≤ 0,030
X2CrTi12	1.4512	≤ 0,03	10,5/12,5			Ti [6x(C+N)] bis 0,65
X6Cr17	1.4016	≤ 0,08	16,0/18,0			Ti [4x(C+N) + 0,15] bis 0,80 S 0,15/0,35 Nb 12xC bis 1,00 Nb [3xC + 0,30] bis 1,00 ; Ti 0,10 bis 0,60
X3CrTi17	1.4510	≤ 0,05	16,0/18,0			
X6CrMoS17	1.4105	≤ 0,08	16,0/18,0			
X3CrNb17	1.4511	≤ 0,05	16,0/18,0			
X2CrTiNb18	1.4509	≤ 0,03	17,5/18,5	0,90/1,40		Ti [4x(C+N) + 0,15] bis 0,80
X6CrMo17-1	1.4113	≤ 0,08	16,0/18,0			
X2CrMoTi18-2	1.4521	≤ 0,025	17,0/20,0			

Ferrites rozsdamentes acélok, válogatás az MSZ EN 10088-1:2015 szabványból

**Forrás: Merkblatt 821 „Edelstahl Rostfrei. Eigenschaften” 5. Auflage. Informationsstelle Edelstahl Rostfrei. Düsseldorf, 2014.
http://www.edelstahl-rostfrei.de/downloads/iser/MB_821.pdf**

2. Martenzites rozsdamentes acélok

Fő ötvözők: króm (Cr), szén (C) a karbon-martenzites acélok, nikkel (Ni) a nikkel-martenzites acélok esetén.

A martenzites acélok tulajdonságaik tekintetében abban különböznek az összes többi rozsdamentes acéltól, hogy nagyobb a keménységük és a szilárdságuk. Ennek mértéke erősen függ a hőkezeléssel beállított szövetszerkezeti állapottól, amint azt a következő két diagram mutatja (Gümpel, 2016.).

A martenzites szövetszerkezet a 12%-18%-os krómacélokra jellemző. Széntartalom: 0,10-0,44% Mágnesezhetőek. Hőkezelés (lágyítás) által nemesíthetőek ill. edzhetőek. Nem vagy csak bizonyos feltételek mellett hegeszthetők: A Wnr. 1.4057 (KO-16), 1.4021 (KO-11) és 1.4028 minőségek hegesztésre csak különleges eljárással alkalmasak, hegesztett szerkezetekhez nem ajánlottak. A Wnr. 1.4034 (KO-13) hegesztésre szintén nem alkalmas. Jól alakíthatók, jól polírozhatók. Nagy kopásállósággal és éltartósággal rendelkeznek. Molibdén hozzáadásával nő a korrózióállóságuk. A Wnr. 1.4006 (KO-2) hegesztésre alkalmas. Utólagos hőkezelés általában szükséges, annak elhagyása következtében csökken az acél korrózióállósága. Jól hajlítható a Wnr. 1.4021 (KO-11), Wnr. 1.4057 (KO-16), míg rosszul hajlíthatóak a Wnr. 1.4028 és a Wnr. 1.4034 (KO-13).

Forrás: <http://www.perkor.hu/rozsdamentes-es-hoallo-acelok-anyagismerete>

**Martenzites
rozsdamentes
acélok
alapvető
típusai és
alkalmazása
(Gümpel,
2016.)**

Grundtyp	Typische Stähle nach Norm DIN EN 10088(ASTM A 240)	Anwendungsbereiche Komponenten
Kohlenstoffmartensitische Stähle bis 0,50 % Kohlenstoff 13 % Chrom bis 0,50 % Kohlenstoff 17 % Chrom 1 % Molybdän über 0,50 % Kohlenstoff 14-17 % Chrom 1 % Molybdän	1.4006 (S41000) 1.4034 (S42000) 1.4021 1.4122 1.4057 1.4109 1.4112	Wellen, Spindeln Ventile Pressbleche Bremscheiben Messer Chirurgische Instrumente Konstruktionsteile in Wasserkraftwerken
Nickelmartensitische Stähle bis 0,10 % Kohlenstoff mit 13 % Chrom 4 % Nickel mit 16 % Chrom 5 % Nickel + (Mo)	1.4313 (S41500) 1.4418	Wälzlager Pumpen, Verdichter Wasserturbinen Erdöltechnik Kältetechnik
Aushärtbare nickelmartensitische Stähle mit 13-17 % Chrom 4-8 % Nickel + Mo + (Cu)	1.4542 Custom 450 Custom 455 Custom 465	Schrauben Wellen Spindeln

**Széntartalmú
martenzites**

**rozsdamentes acélok
mechanikai
tulajdonságai**

Rp 0,2 =

**mai jele: $f_{0,2}$ =
0,2%-os fajlagos
maradó nyúlást okozó
feszültség, névleges
folyáshatár**

Rm =

**mai jele f_t =
szakítószilárdság**

A5 =

**fajlagos megnyúlás
5×d hosszön**

KV =

**Kerbschlag-
biegeversuch =
Charpy-féle ütőmunka
bemetszett
próbatesten
meghatározva**

(Gümpel, 2016.)

Kausay

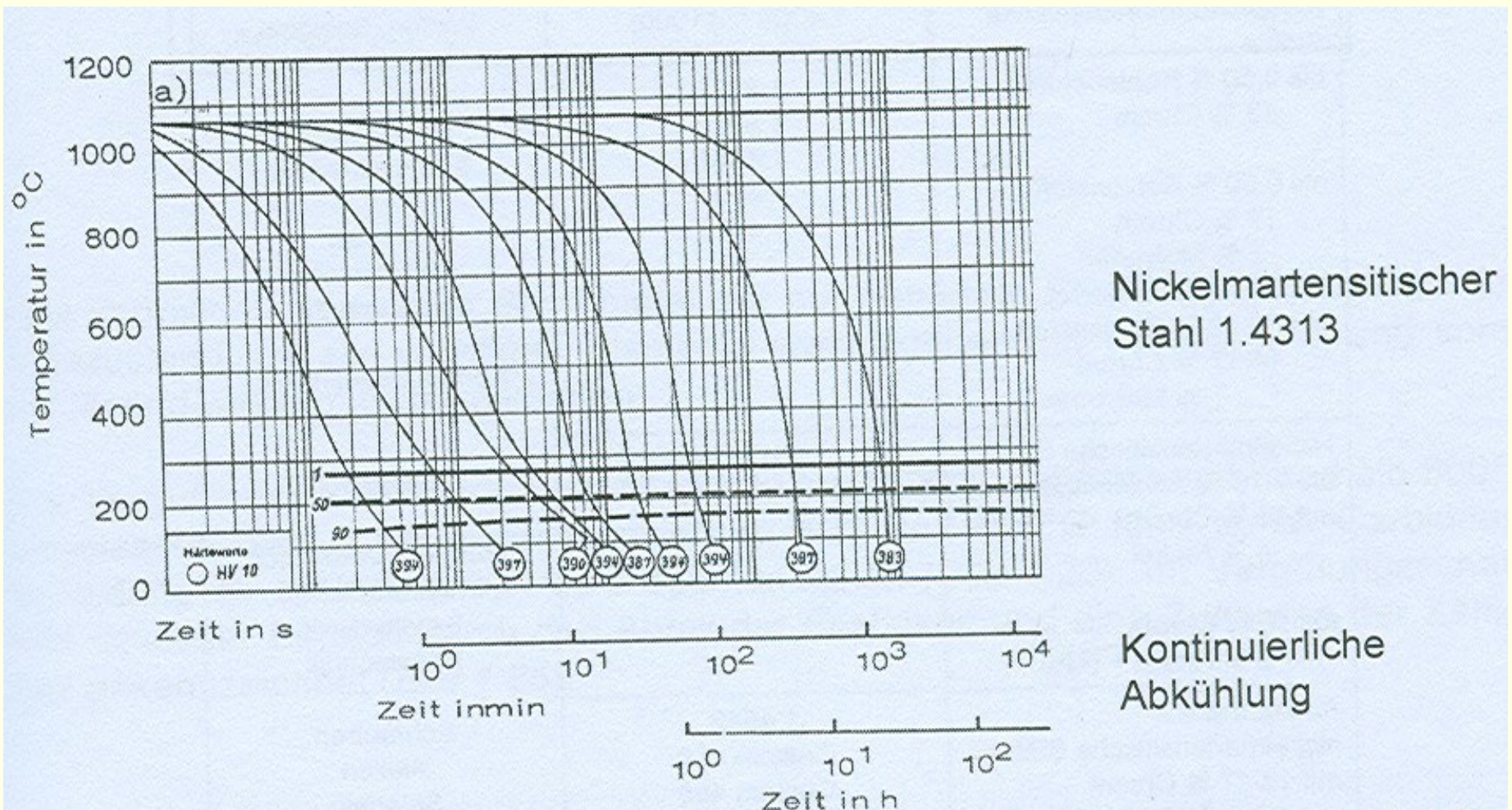
Werkstoff-Nr. Kurzname	Rp0,2 N/mm ² (min.)	Rm N/mm ²	A5 (quer) % (min.)	KV (quer) J (min.)
1.4021 X20Cr13	450 550	650 – 850 750 - 950	12 10	30
1.4024 X15Cr15	450	650 – 800	14	30
1.4028 X30Cr13	600	800 - 1000	10	-
1.4034 X46Cr13	ca. 55 HRC (gehärtet)			
1.4057 X20CrNi17-2	550	750 – 950	14	20
1.4109 X65CrMo14	ca. 57 HRC (gehärtet)			
1.4120 X20CrMo13	550	750 – 900	14	28
1.4122 X35CrMo17-1	600	800 - 900	12	20

Stahlsorte		Chemische Zusammensetzung in Masse-%				
EN Kurzname	Werkstoff-Nr.	C	Cr	Mo	Ni	Andere
Martensitische korrosionsbeständige Stähle: Kohlenstoffmartensite						
X12Cr13	1.4006	0,08/0,15	11,5/13,5	≤ 0,60	≤ 0,75	S 0,15/0,35
X12CrS13	1.4005	0,08/0,15	12,0/14,0			
X20Cr13	1.4021	0,16/0,25	12,0/14,0			
X30Cr13	1.4028	0,26/0,35	12,0/14,0			
X46Cr13	1.4034	0,43/0,50	12,5/14,5	0,50/0,80	1,5/2,5	V 0,10/0,20
X50CrMoV15	1.4116	0,45/0,55	14,0/15,0			
X17CrNi16-2	1.4057	0,12/0,22	15,0/17,0	0,8/1,3	≤ 1,0	S 0,15/0,35
X39CrMo17-1	1.4122	0,33/0,45	15,5/17,5			
X14CrMoS17	1.4104	0,10/0,17	15,5/17,5	0,20/0,60		
Martensitische korrosionsbeständige Stähle: Nickelmartensite						
X3CrNiMo13-4	1.4313	≤ 0,05	12,0/14,0	0,3/0,7	3,5/4,5	
X4CrNiMo16-5-1	1.4418	≤ 0,06	15,0/17,0	0,80/1,50	4,0/6,0	
Ausscheidungshärtende korrosionsbeständige Stähle						
X5CrNiCuNb16-4	1.4542	≤ 0,07	15,0/17,0	≤ 0,60	3,0/5,0	Cu 3,0/5,0; Nb 5xC bis 0,45
X7CrNiAl17-7	1.4568	≤ 0,09	16,0/18,0		6,5/7,8	Al 0,70/1,50
X5CrNiMoCuNb14-5	1.4594	≤ 0,07	13,0/15,0	1,20/2,00	5,0/6,0	Cu 1,20/2,00; Nb 0,15/0,60

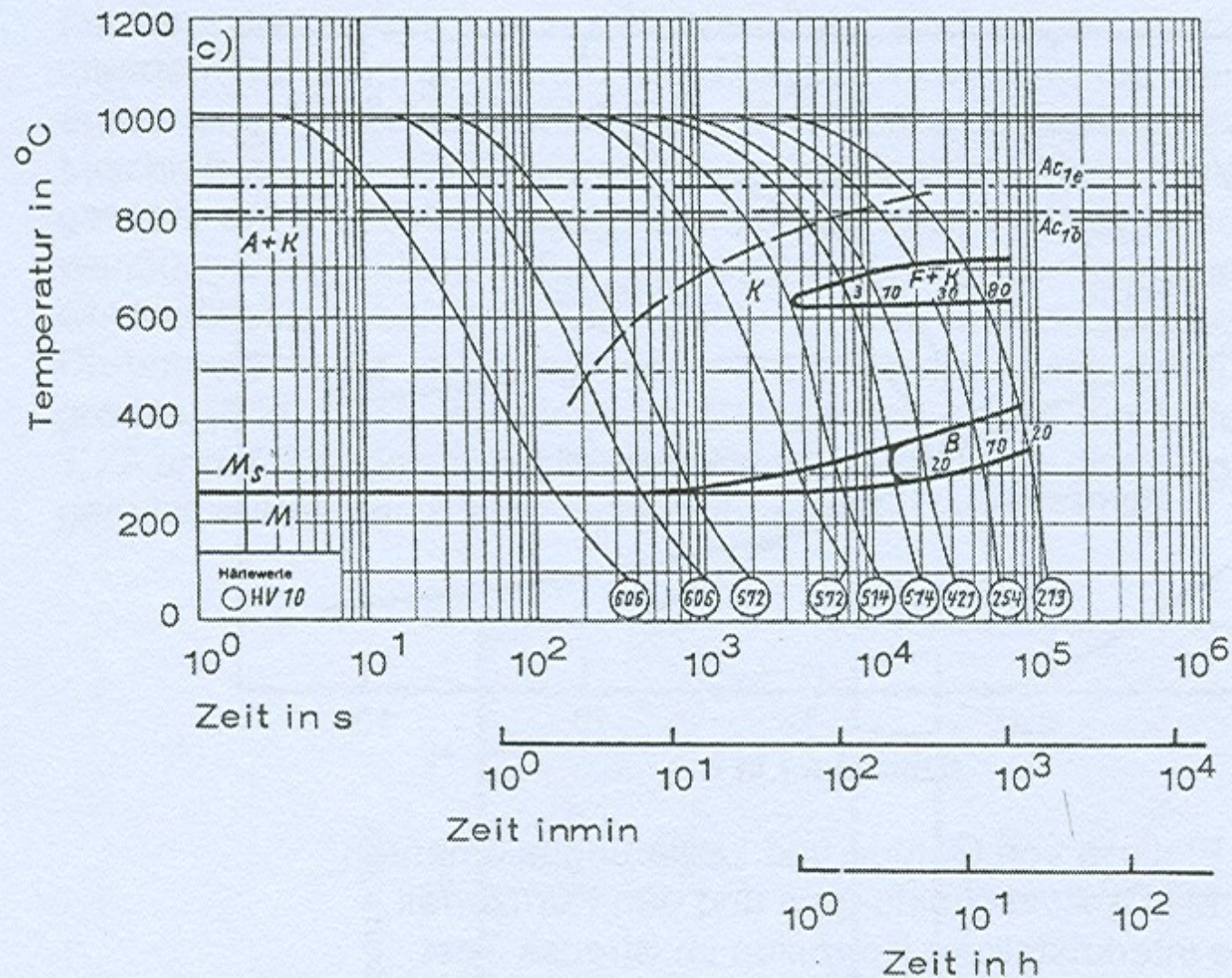
Karbon-, nikkell-martenzites és hőkezeléssel növelt szilárdságú (mit Ausscheidungshärtung) martenzites rozsdamentes acélok, válogatás az MSZ EN 10088-1:2015 szabványból

Forrás: Merkblatt 821 „Edelstahl Rostfrei. Eigenschaften” 5. Auflage. Informationsstelle Edelstahl Rostfrei. Düsseldorf, 2014.

http://www.edelstahl-rostfrei.de/downloads/iser/MB_821.pdf



Rozsdamentes nikkel-martenzites acél idő-hőmérséklet átalakulási folyamata (Gümpel, 2016.)



Kohlenstoff-
martensitischer Stahl
1.4021

Kontinuierliche
Abkühlung

Rozsdamentes karbon-martenzites acél idő-hőmérséklet átalakulási folyamata (Gümpel, 2016.)

Idő-hőmérséklet átalakulási diagram

**(angolul: „Time Temperature Transformation”, TTT-graph;
németül: „Zeit-Temperatur-Umwandlungsschaubild”, ZTU-Diagramm)**

Über die Änderung einer physikalischen, messbaren Größe wie der Länge einer Probe während der Temperaturführung wird der Beginn und gegebenenfalls das Ende einer Umwandlung bestimmt. Oft lassen sich auch mehrere Umwandlungen eindeutig identifizieren. Da die meisten physikalischen Größen selber temperaturabhängig sind, bei der Länge über den thermischen [Ausdehnungskoeffizienten](#), ist dies zu berücksichtigen. Für mehrere Temperaturführungen werden der Umwandlungsbeginn und -ende in ein Zeit-Temperatur-Diagramm eingetragen. Die Zeit ist dabei meist [logarithmisch](#) aufgetragen. Oft werden die verwendeten Zeit-Temperaturpfade zur Information mit eingezeichnet.

Das isotherme ZTU-Diagramm

Prinzipdarstellung eines isothermen Zeit-Temperatur-Umwandlungsschaubildes. Dargestellt ist eine Erwärmungstransformation vom Zustand B nach A. Die rote Linie kennzeichnet den zeitlichen Temperaturverlauf der Erwärmung. Die Prozentangaben kennzeichnen den Anteil der zeitabhängigen Transformation; innerhalb der Transformation sind beide Zustände als Gemisch vorhanden.

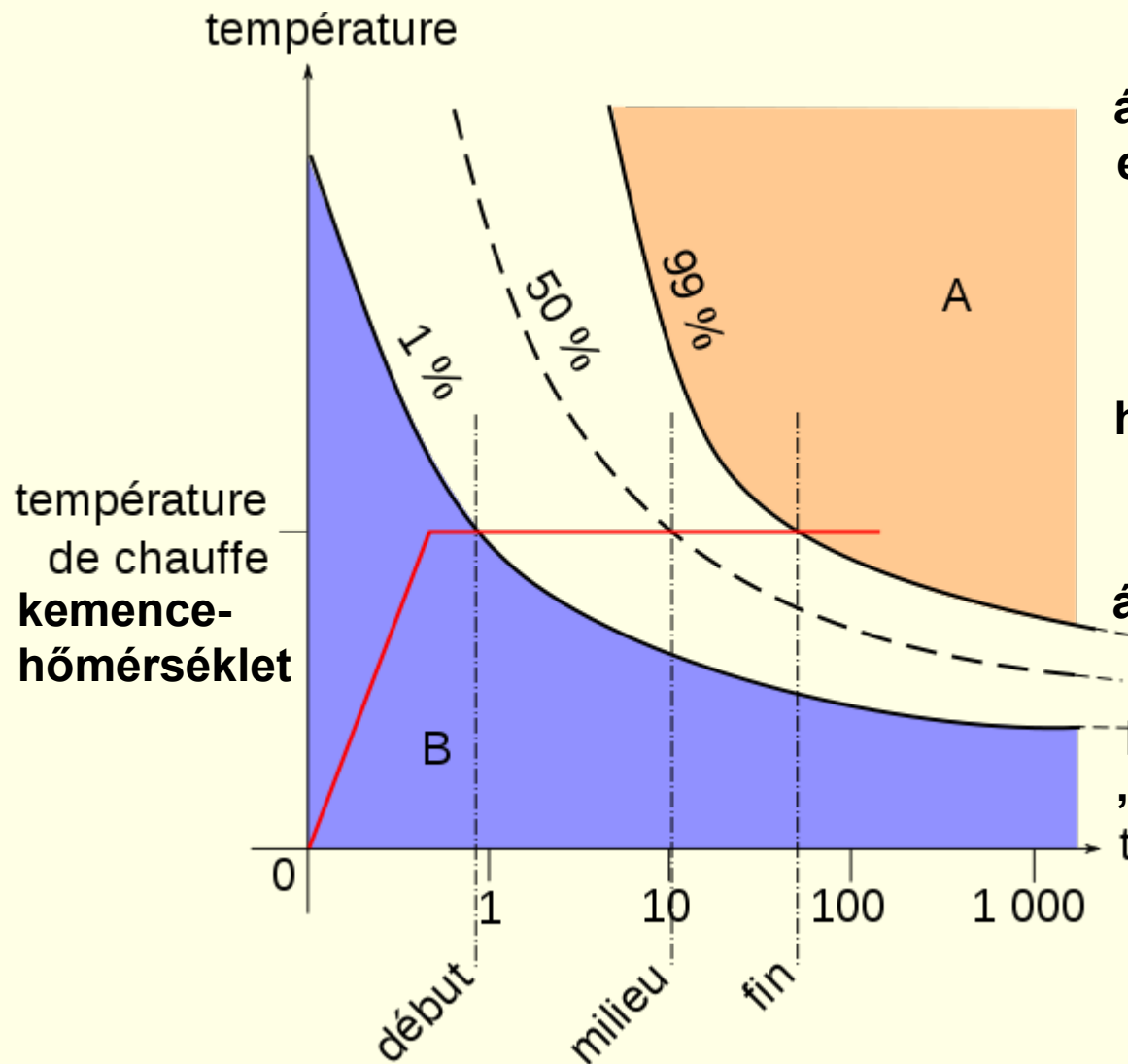
Nach der Austenitisierung (Wärmebehandlung beim Härten von Stahl) wird das Werkstück sehr schnell auf die gewünschte Temperatur gebracht und solange gehalten, bis alle Umwandlungen abgeschlossen sind, was über die Längenänderung (Dilatometer) ermittelt werden kann.

Das kontinuierliche ZTU-Diagramm

Nach der Austenitisierung wird das Werkstück mit verschiedenen Abkühlgeschwindigkeiten bis auf Raumtemperatur abgekühlt. Dabei werden die Umwandlungspunkte festgehalten. Zusätzlich wird am Ende der Abkühlkurve meist noch die erreichbare [Härte](#) notiert.

Die beiden Arten der Diagramme müssen streng getrennt betrachtet werden.

Forrás: <https://de.wikipedia.org/wiki/Zeit-Temperatur-Umwandlungsschaubild>



Az idő-hőmérséklet átalakulási diagram izotermái előállításának elvi diagramja.

Átalakulás „B” állapotból „A” állapotba.

A piros vonal a felfűtési hőmérséklet időbeli változást mutatja.

A százalékos értékek az átalakulás mértékét fejezik ki.

Átalakulás közben a pillanatnyi állapot az „A” és „B” állapot elegye (keveréke)

átalakulás kezdete közepe vége

Forrás: <https://de.wikipedia.org/wiki/Zeit-Temperatur-Umwandlungsschaubild>

A következő ábrákon előforduló fogalom a **permeabilitás**.

A permeabilitás, **mágneses permeabilitás** vagy abszolút permeabilitás a B mágneses indukciót és a H mágneses térerősséget összekötő arányossági tényező. Jele: a görög μ (ejtsd: mű), mértékegysége a henry/méter, $1 \text{ H/m} = 1 \text{ V}\cdot\text{s/A}\cdot\text{m}$.

$$B = \mu \cdot H$$

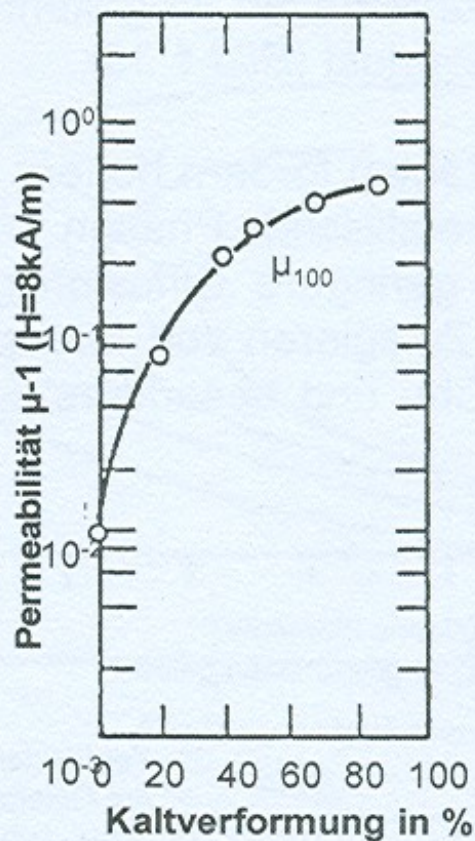
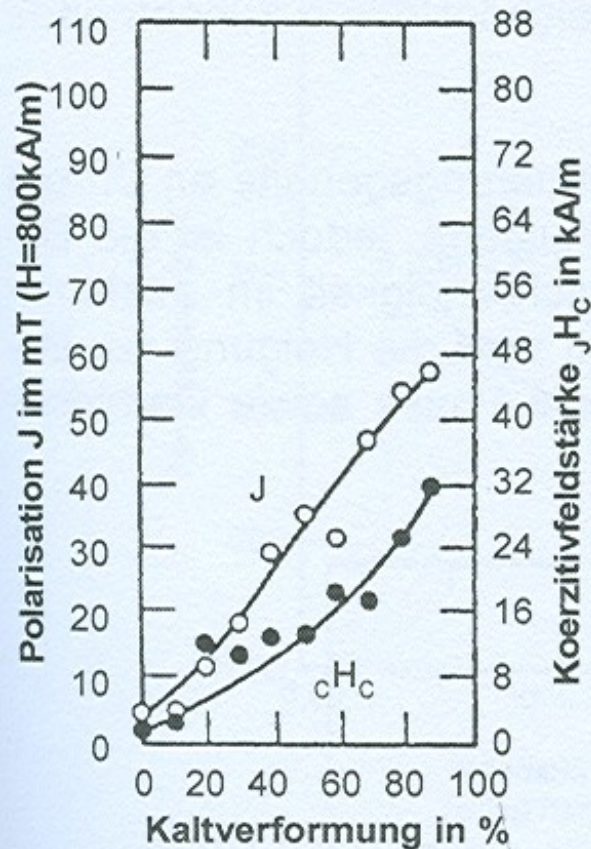
ahol μ általában egy komplex másodrendű tenzor, a közegre jellemző mennyiség. Homogén, izotróp közegben, időben nem – vagy csak lassan – változó terek esetén a permeabilitás egy valós szám, amely a mágneses indukció és térerősség abszolút értékének hányadosaként írható:

$$\mu = B / H$$

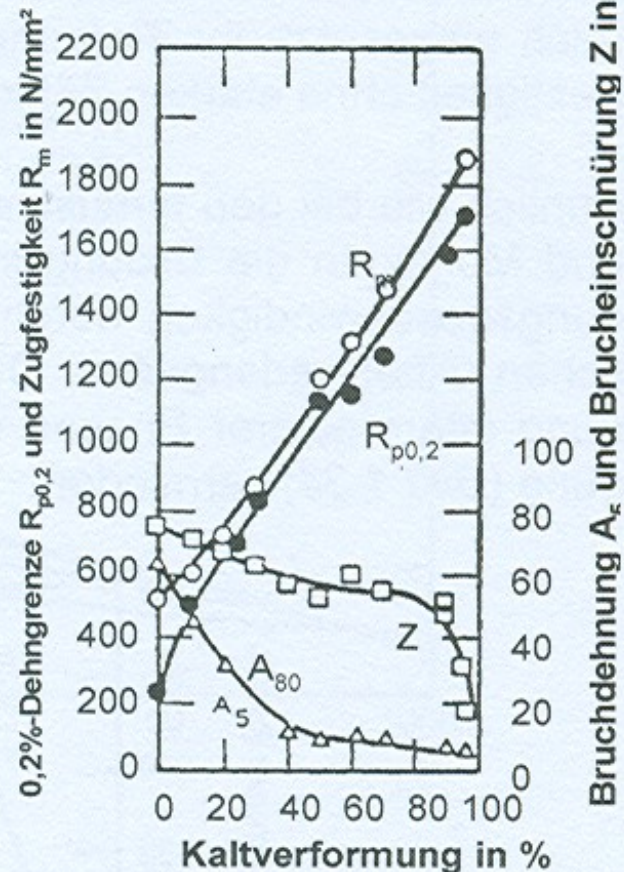
Neve a latin *permeare* „átengedni” szóból származik.

A permeabilitást a közeg mágneses teret „áteresztő képességének” foghatjuk fel, minél nagyobb ugyanis az értéke, az adott áram hatására mindig ugyanakkora mágneses térerősség mellett a mágneses tér mozgatóerejét valójában jellemző mágneses indukció annál nagyobb benne.

Forrás: <https://hu.wikipedia.org/wiki/Permeabilitás>



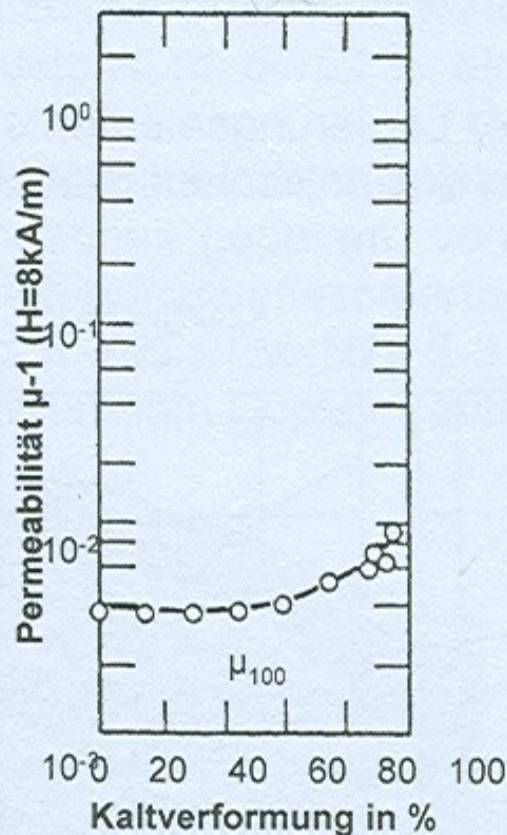
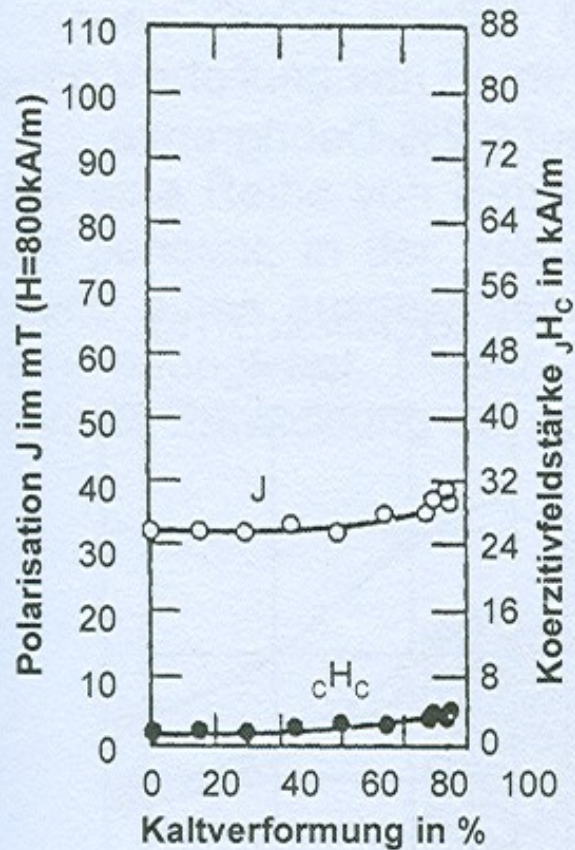
Magnetische Eigenschaften



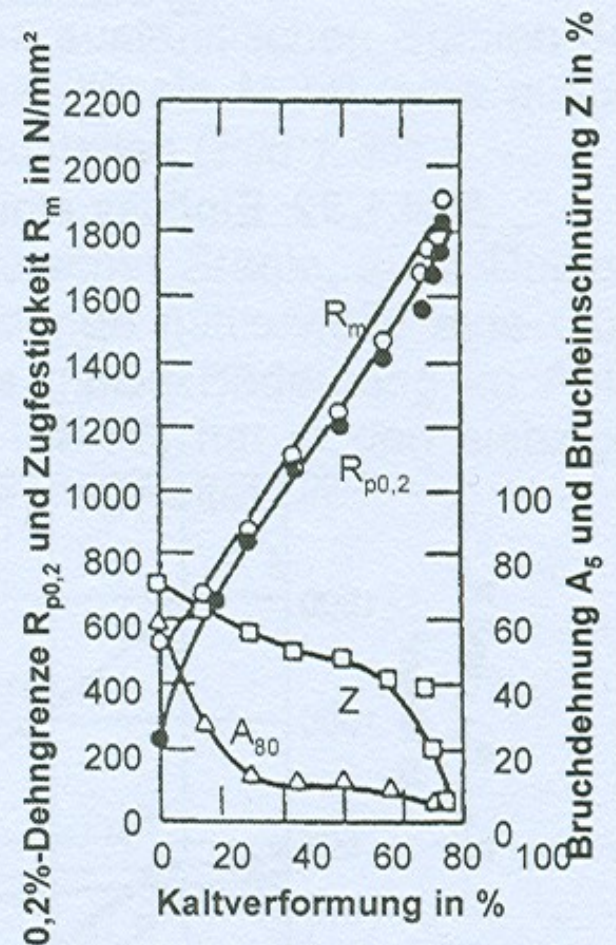
Mechanische Eigenschaften

usgangszustand: 1080°C, 30 min / Wasser

Hideg alakítás hatása az X2CrNi19-11 (1.4306) jelű rozsdamentes acél mágnezites és mechanikai tulajdonságaira (Gümpel, 2016.)



Magnetische Eigenschaften



Mechanische Eigenschaften

Ausgangszustand: 1080°C, 30 min / Wasser

Hideg alakítás hatása az X2CrNi18-15-4 (1.4438) jelű rozsdamentes acél mágnezites és mechanikai tulajdonságaira (Gümpel, 2016.)

3. Ausztenites rozsdamentes acélok

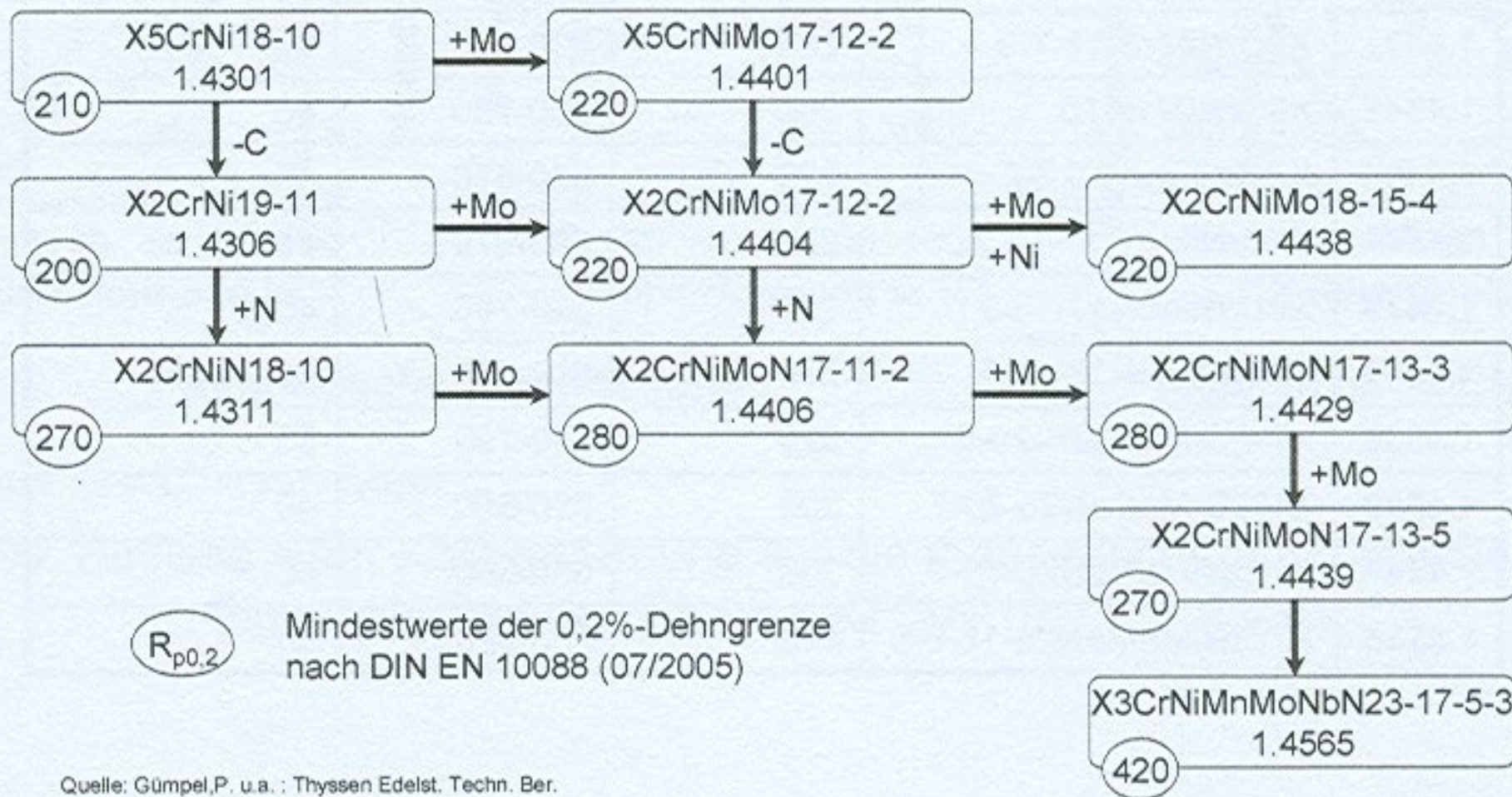
Fő ötvözők: króm (Cr), nikkel (Ni), molibdén (Mo). Nikkel-tartalma nagyobb, mint a ferrites-ausztenites rozsdamentes acéloké. A mangán-ausztenites acélok ötvözőként mangánt (Mn) is tartalmazznak (*Gümpel, 2016.*).

Az ausztenites acélok a legáltalánosabban elterjedt saválló acélok. Különösen jól megmunkálhatóak.

Összetételüktől függően változik hegeszthetőségük pl. Wnr. 1.4301 (KO-33), Wnr. 1.4541 (KO-36) és Wnr. 1.4571 (KO-35) kiválóan hegeszthető, míg a jól forgácsolható Wnr. 1.4305 (KO-36S) nem ajánlott hegesztésre. Hidegen és melegen is jól alakíthatóak. Korrózióálló képességük nagyon jó. Bizonyos körülmények között nem mágnesezhetőek. Rossz hővezetők.

Kristályközi korrózióval szemben általában ellenállóak. Jól polírozható minőség a Wnr. 1.4301 (KO-33) és a WNr. 1.4404, kevésbé polírozhatóak: Wnr. 1.4541 (KO-36), 1.4571 (KO-35).

(Forrás: <http://www.perkor.hu/rozsdamentes-es-hoallo-acelok-anyagismerete>)



Quelle: Gümpel, P. u.a. : Thyssen Edelst. Techn. Ber.
14. Band 1988, S. 12/25

Rozsdamentes ausztenites acélok ötvözői a 0,2%-os maradó nyúláshoz tartozó névleges folyáshatár feltüntetésével (Gümpel, 2016.)

Ausstenites rozsdamentes acélok alapvető típusai és alkalmazása (Gümpel, 2016.)

Grundtyp	Typische Stähle nach Norm EN 10088 (ASTM A 240)	Anwendung Anwendungsbereiche bzw. -komponenten
18% Chrom 8–10% Nickel	1.4301 (S30400) 1.4306 (S30403) 1.4541 (S32100)	Chemische Industrie Haushalt Nahrungsmittelindustrie Apparate- und Behälterbau Rohrleitungen
17% Chrom 12–14% Nickel 2% Molybdän	1.4401 (S31600) 1.4435 (S31603) 1.4571 (S31635)	
Sonderstähle: bis 25% Chrom bis 25% Nickel bis 7% Molybdän bis 0,50% Stickstoff (Kupfer) Nitrogén (Réz)	1.4565 (S34565) 1.4547 (S31254) 1.4529 (N08926) 1.4563 (N08028)	Umwelttechnik Rauchgasentschwefelung Wasseraufbereitung Offshoretechnik Meerestechnik/ Meerwasserentsalzung Bauwesen

Ausstenites rozsdamentes acélok mechanikai tulajdonságai (Gümpel, 2016.)

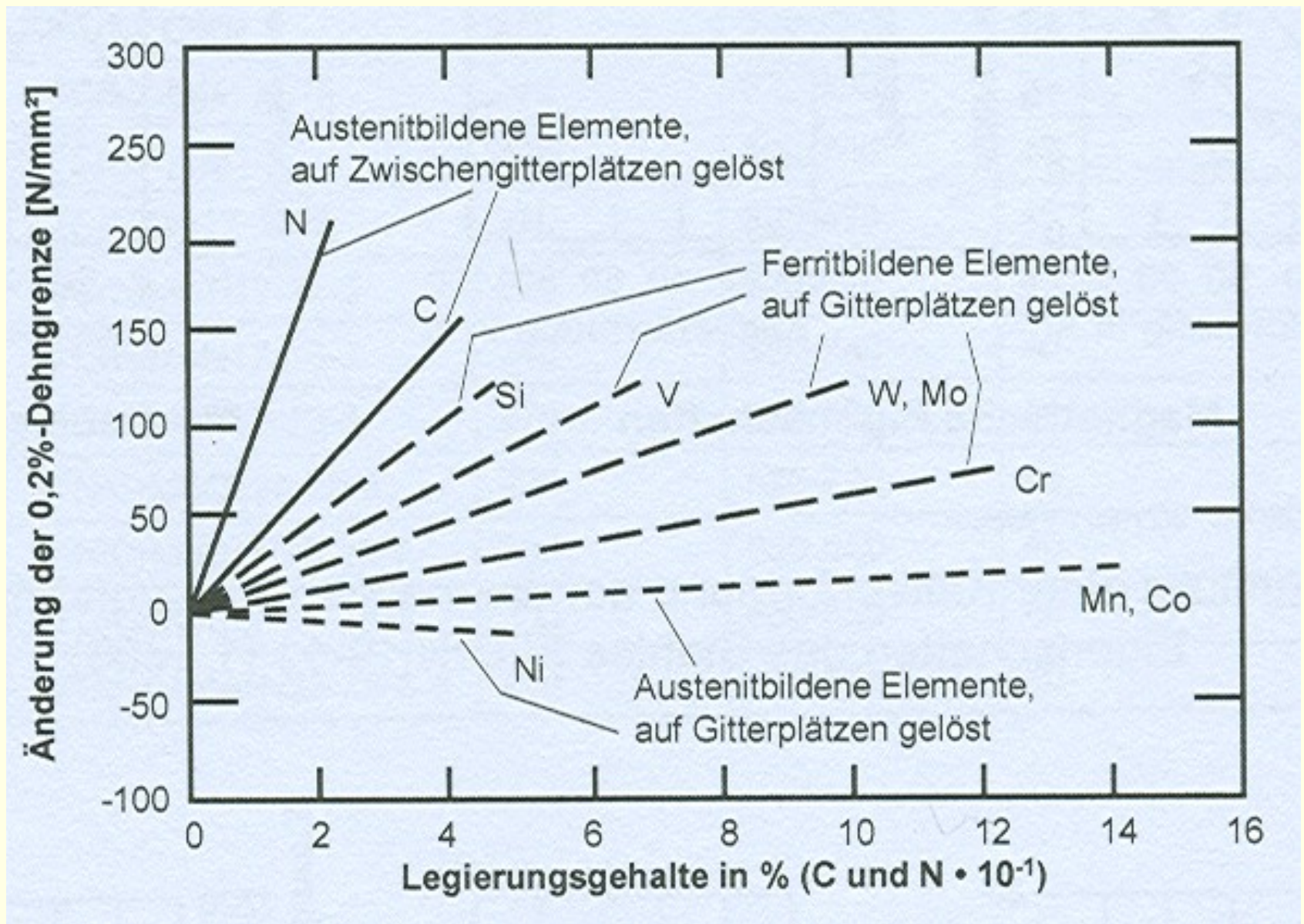
Stahl	Kurzname	Rp 0,2 (min) in N/mm ²	Rm in N/mm ²	A5 (min. quer) in %
1.4301	X5CrNi18-10	210	520-720	45
1.4306	X2CrNi19-11	200	500-700	45
1.4311	X2CrNiN18-10	270	550-750	40
1.4315	X5CrNiN19-9	270	500-750	40
1.4371	X2CrNiMnN17-7-5	280	630-830	35
1.4541	X6CrNiTi18-10	200	500-700	40
1.4404	X2CrNiMo17-12-2	220	520-670	45
1.4571	X6CrNiMoTi17-12-2	220	520-670	45
1.4429	X2CrNiMoN17-13-3	280	580-780	40
1.4439	X2CrNiMoN17-13-5	270	580-780	40
1.4539	X1NiCrMoCu25-20-5	220	520-720	35
1.4529	X1NiCrMoCuN25-20-7	300	650-850	40
1.4547	X1CrNiMoCuN20-18-7	300	650-850	40
1.4565	X2CrNiMnMoN25-18-6-5	420	800-950	30

Stahlsorte		Chemische Zusammensetzung in Masse-%				
EN Kurzname	Werkstoff-Nr.	C	Cr	Mo	Ni	Andere
Austenitische korrosionsbeständige Stähle						
X5CrNi18-10	1.4301	≤ 0,07	17,5/19,5		8,0/10,5	N ≤ 0,11
X4CrNi18-12	1.4303	≤ 0,06	17,0/19,0		11,0/13,0	N ≤ 0,11
X8CrNiS18-9	1.4305	≤ 0,10	17,0/19,0		8,0/10,0	S 0,15/0,35; Cu ≤ 1,00
X2CrNi19-11	1.4306	≤ 0,030	18,0/20,0		10,0/12,0	N ≤ 0,11
X2CrNi18-9	1.4307	≤ 0,030	17,5/19,5		8,0/10,5	N ≤ 0,11
X2CrNi18-10	1.4311	≤ 0,030	17,5/19,5		8,5/11,5	N 0,12/0,22
X6CrNiTi18-10	1.4541	≤ 0,08	17,0/19,0		9,0/12,0	Ti 5xC bis 0,70
X6CrNiNb18-10	1.4550	≤ 0,08	17,0/19,0		9,0/12,0	Nb 10xC bis 1,00
X3CrNiCu18-9-4	1.4567	≤ 0,04	17,0/19,0		8,5/10,5	Cu 3,0/4,0
X10CrNi18-8	1.4310	0,05/0,15	16,0/19,0	≤ 0,80	6,0/9,5	
X5CrNiMo17-12-2	1.4401	≤ 0,07	16,5/18,5	2,00/2,50	10,0/13,0	N ≤ 0,10
X2CrNiMo17-12-2	1.4404	≤ 0,030	16,5/18,5	2,00/2,50	10,0/13,0	N ≤ 0,10
X6CrNiMoTi17-12-2	1.4571	≤ 0,08	16,5/18,5	2,00/2,50	10,5/13,5	Ti 5xC bis 0,70
X2CrNiMoN17-13-3	1.4429	≤ 0,030	16,5/18,5	2,5/3,0	11,0/14,0	N 0,12/0,22
X2CrNiMo18-14-3	1.4435	≤ 0,030	17,0/19,0	2,5/3,0	12,5/15,0	N ≤ 0,10
X3CrNiMo17-13-3	1.4436	≤ 0,05	16,5/18,5	2,5/3,0	10,5/13,0	N ≤ 0,10
X2CrNiMoN17-13-5	1.4439	≤ 0,030	16,5/18,5	4,0/5,0	12,5/14,5	N 0,12/0,22
X1NiCrMoCu25-20-5	1.4539	≤ 0,020	19,0/21,0	4,0/5,0	24,0/26,0	Cu 1,20/2,00; N ≤ 0,15
X2CrNiMnMoNbN25-18-5-4	1.4565	≤ 0,030	24,0/26,0	4,0/5,0	16,0/19,0	Mn 5,0/7,0; N 0,30/0,60; Nb ≤ 0,15
X1NiCrMoCuN25-20-7	1.4529	≤ 0,020	19,0/21,0	6,0/7,0	24,0/26,0	Cu 0,50/1,50; N 0,15/0,25
X1CrNiMoCuN20-18-7	1.4547	≤ 0,020	19,5/20,5	6,0/7,0	17,5/18,5	Cu 0,50/1,00; N 0,18/0,25
X1CrNiMoCuN24-22-8	1.4652	≤ 0,020	23,0/25,0	7,0/8,0	21,0/23,0	Mn 2,0/4,0; N 0,45/0,55

Ausztenites rozsdamentes acélok, válogatás az MSZ EN 10088-1:2015 szabványból

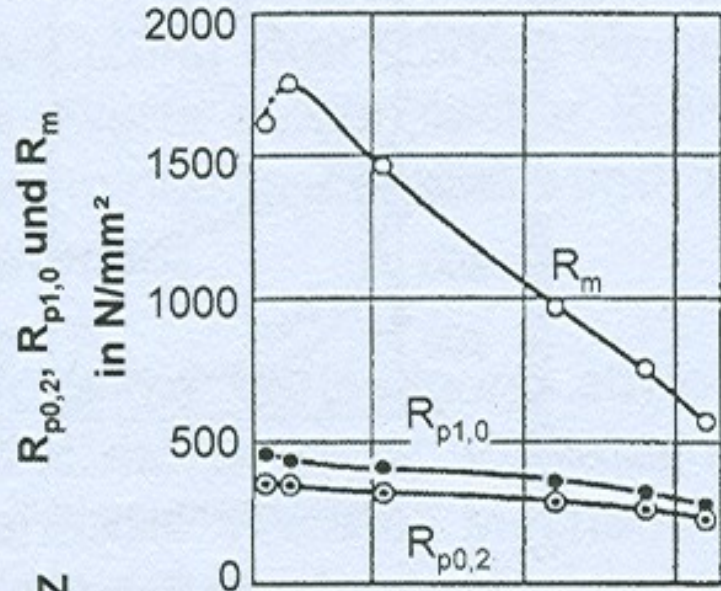
Forrás: Merkblatt 821 „Edelstahl Rostfrei. Eigenschaften” 5. Auflage. Informationsstelle Edelstahl Rostfrei. Düsseldorf, 2014.

http://www.edelstahl-rostfrei.de/downloads/iser/MB_821.pdf

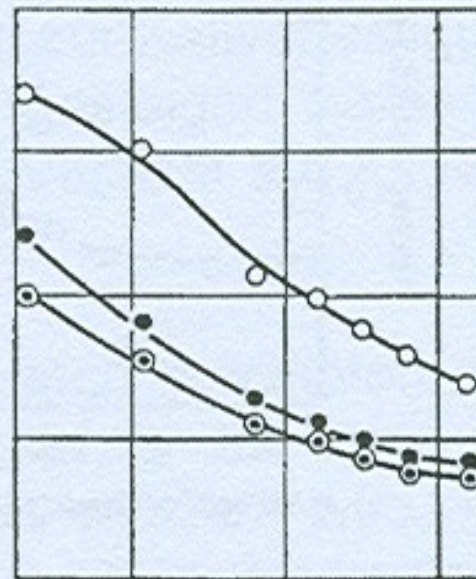


Néhány ötvöző elem hatása az ausztenites rozsdamentes acél 0,2%-os maradó alakváltozáshoz tartozó névleges folyáshatárára (Gümpel, 2016.)

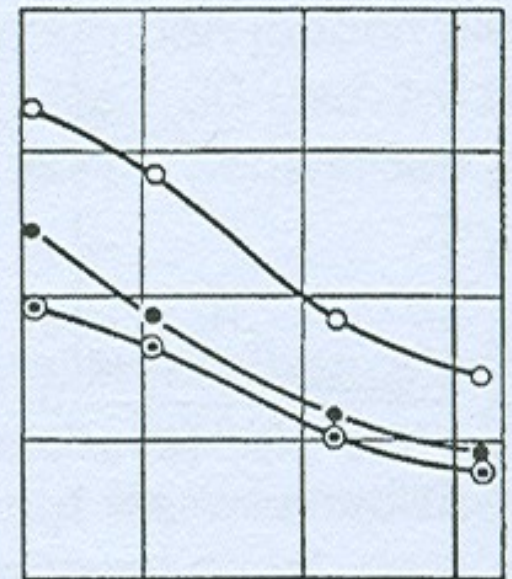
X5CrNi18-10
1.4301



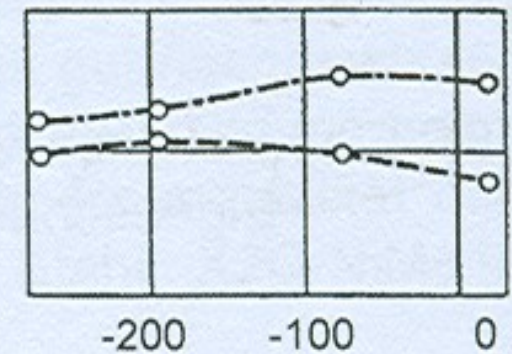
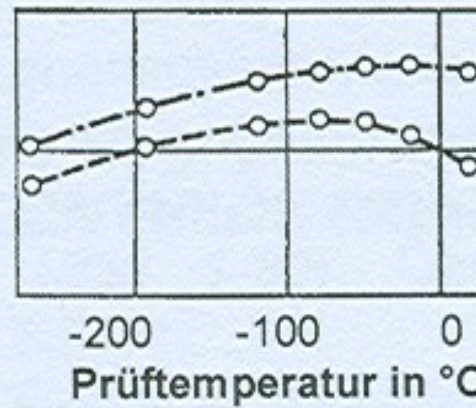
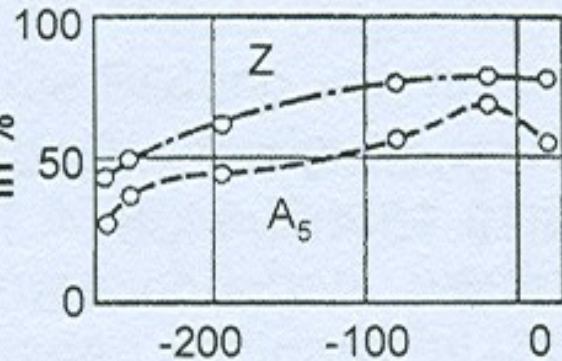
X2CrNi18-10
1.4311



X2CrNiMoN17-11-2
1.4406



Bruchseinschnürung Z
Bruchdehnung A₅
in %



**Rozsdamentes króm-nikkel acélok mechanikai tulajdonsága
alacsony hőmérsékleten (Gümpel, 2016.)**

4. Ferrites-ausztenites (duplex) rozsdamentes acélok

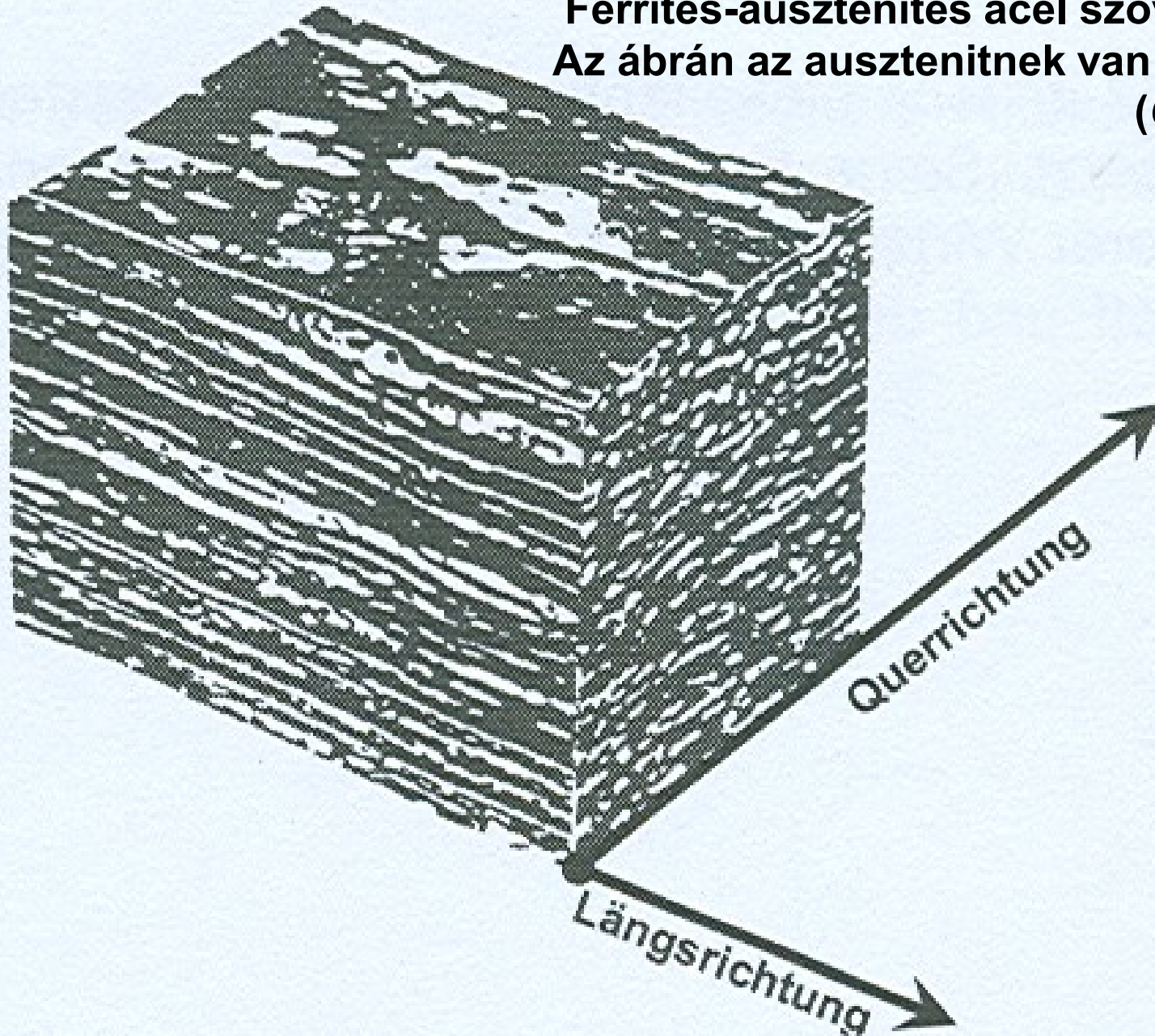
Fő ötvözők: króm (Cr), nikkel (Ni), molibdén (Mo)

A ferrites-ausztenites acélokat duplex acélnak is nevezik.

Duplex" szó jelentése: kettős - az acél szövetszerkezetét ugyanis két fázis alkotja: ferrites és ausztenites. Ennek jelentősége, hogy mindkettő előnye kihasználható: a ferrit javítja a korrózióállóságot, az ausztenit pedig biztosítja a szívósságot, alakíthatóságot és hegeszthetőséget. Az ausztenites minőségeknél is jobban nyújthatóak. Korrózióálló képességük kitűnő. Az ipari fejlődés hatására több alfaja is elterjedt: „normál duplex”, „lean duplex”, „szuper duplex”, „hiperduplex”.

(Forrás: <http://www.perkor.hu/rozsdamentes-es-hoallo-acelok-anyagismerete>).

Ferrites-auszenites acél szövetszerkezete.
Az ábrán az ausztenitnek van világos színe.
(Gümpel, 2016.)



Ferrites-ausztenites rozsdamentes acélok
alapvető típusai és alkalmazása (Gümpel, 2016.)

Grundtyp	Typische Stähle nach Norm EN 10088 (ASTM A 240)	Anwendungsbereiche Komponenten
21% Cr; 1,5% Ni; 4% Mn; 0,2% N	1.4162 (S32101)	Chemische Industrie Onshore- / Offshoretechnik Chemikaliientankerbau
23% Cr; 4% Ni; 0,10% N	1.4362 (S32304)	
22% Cr; 5% Ni; 3% Mo; 0,15% N	1.4462 (S31803/S32205)	
25% Cr; 7% Ni; 3% Mo; 0,25% N; (Cu; W)	1.4501 (S32760) 1.4410 (S32750)	Behälter Apparate Rohrleitungen

Ferrites-ausztenites rozsdamentes acélok mechanikai tulajdonságai (Gümpel, 2016.)

Stahl	Kurzname nach Norm: EN 10088 (ASTM A 240)	Rp 0,2 in N/mm ² (min)	Rm in N/mm ²	A5 in % (quer, min)
1.4162	(S32101)	450	650	30
1.4362	X2CrNi23-4 (S32304)	400	630-800	25
1.4462	X2CrNiMoN22-5-3 (S31803/S32205)	460	640-840	25
1.4501	X2CrNiMoWN25-7-4 (S32760)	530	730-930	25(längs)
1.4410	X2CrNiMoN25-7-4 (S32750)	530	730-930	20

Zusammensetzung der Legierung in Gewichts-%

	C	Si	Mn	Cr	Ni	Mo	N	Cu	S
Legierung 1	0,015	0,19	0,91	29,26	8,00	2,07	0,31	0,025	0,0043
Legierung 2	0,016	0,16	1,01	28,81	7,48	2,50	0,37	0,035	0,0032
Legierung 3	0,016	0,16	0,87	30,51	6,20	2,08	0,44	0,034	0,0042

Legierungsanteile in den Gefügebestandteilen in Gewichts-%

		Cr	Ni	Mo	N
Legierung 1	Ferrit	32,59 ± 0,48	5,47 ± 0,18	2,60 ± 0,14	0,00 ± 0,03
	Austenit	27,88 ± 0,31	9,24 ± 0,20	1,58 ± 0,14	0,62 ± 0,03
Legierung 2	Ferrit	31,78 ± 0,42	5,27 ± 0,32	3,16 ± 0,12	0,00 ± 0,02
	Austenit	28,15 ± 0,48	8,48 ± 0,18	1,93 ± 0,08	0,75 ± 0,03
Legierung 3	Ferrit	32,31 ± 0,31	4,58 ± 0,13	2,40 ± 0,11	0,00 ± 0,03
	Austenit	30,16 ± 0,25	6,99 ± 0,20	1,64 ± 0,13	0,98 ± 0,04

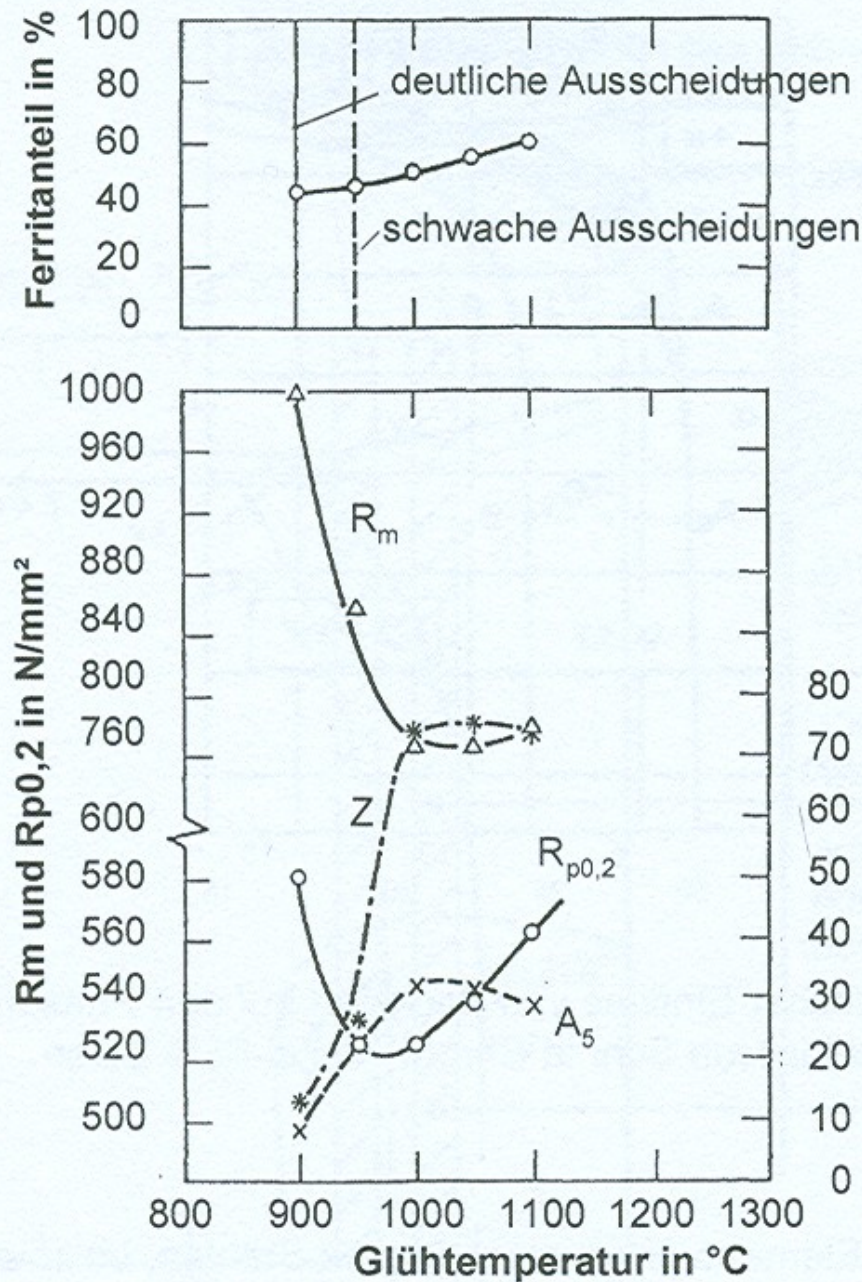
Példa a Duplex-acélok ötvözőinek tömegszázalékára (Gümpel, 2016.)

Stahlsorte		Chemische Zusammensetzung in Masse-%				
EN Kurzname	Werkstoff-Nr.	C	Cr	Mo	Ni	Andere
Austenitisch-ferritische korrosionsbeständige Stähle						
X2CrNi22-2	1.4062	≤ 0,03	21,5/24,0	≤ 0,45	1,00/2,90	N 0,16/0,28
X2CrMnNiN21-5-1	1.4162	≤ 0,04	21,0/22,0	0,10/0,80	1,35/1,70	Mn 4,0/6,0; N 0,20/0,25; Cu 0,10/0,80
X2CrNiN23-4	1.4362	≤ 0,03	22,0/24,0	0,10/0,60	3,5/5,5	Cu 0,10/0,60
X2CrNiMoN22-5-3	1.4462	≤ 0,03	21,0/23,0	2,5/3,5	4,5/6,5	N 0,10/0,22
X2CrNiMnMoCuN24-4-3-2	1.4662	≤ 0,03	23,0/25,0	1,00/2,00	3,0/4,5	Mn 2,5/4,0; Cu 0,10/0,80
X2CrNiMoN25-7-4	1.4410	≤ 0,03	24,0/26,0	3,0/4,5	6,0/8,0	N 0,24/0,35
X2CrNiMoCuWN25-7-4	1.4501	≤ 0,03	24,0/26,0	3,0/4,0	6,0/8,0	Cu 0,50/1,00; W 0,50/1,00; N 0,20/0,30

Ferrites-ausztenites rozsdamentes acélok, válogatás az MSZ EN 10088-1:2015 szabványból

**Forrás: Merkblatt 821 „Edelstahl Rostfrei. Eigenschaften” 5. Auflage.
Informationsstelle Edelstahl Rostfrei. Düsseldorf, 2014.
http://www.edelstahl-rostfrei.de/downloads/iser/MB_821.pdf**

**Hőkezelés hatása az
X2CrNiMoN22-5-3 (1.4462) jelű acél
szövetszerkezetére
és mechanikai tulajdonságaira
(Gümpel, 2016.)**



A **szívósság** (Zähigkeit, toughness) a szilárd anyagok igen becses műszaki tulajdonsága. **Ellentéte a ridegség** (rideg anyag az üveg, a kerámia, egyes műanyagok, az edzett acél). **Szívós anyag** a bőr, a lágyacél, holott rideg az üveg, az öntöttvas stb. **Szívósság az anyag idomíthatóságának az a foka, amelyen belül a húzásra igénybe vett rúd egész hosszában egyenletesen deformálódik, míg azt az idomíthatóságot, amelynél a húzott rúd helyenként erősebb alakváltozást szenved **képlékenységnak** nevezik.** Szerkezeti anyagoknál a szívósság becsesebb sajátság a képlékenységnél, mert **a szívóssági alakváltozásoknál az egész szerkezet vesz részt a teherhordásban (ellenállásban), a képlékenységi alakváltozásoknál pedig annak csak csekély része.** A szívósság tulajdonképpen molekuláris helyzeti erély, amely igénybevételekkel csökkenthető és oly műveletekkel, amelyek a molekulákat eredeti helyzetükbe visszaterelik, fémeknél például izzítással, bizonyos határig növelhető.

A szívósság jellemzője, hogy szoros kapcsolatban áll a keménységgel, illetőleg, hogy azonos anyagnál a szívósság csökkenésével a keménység növekedik és viszont a szívósság növekedésével a keménység csökken. A kiizzított vas vagy acél mindig lágyabb az igénybevételekkel ridegítetttnél. A képlékenységnél ezen jelenség nem áll elő; ennél az igénybevételek nem fokozzák a keménységet.

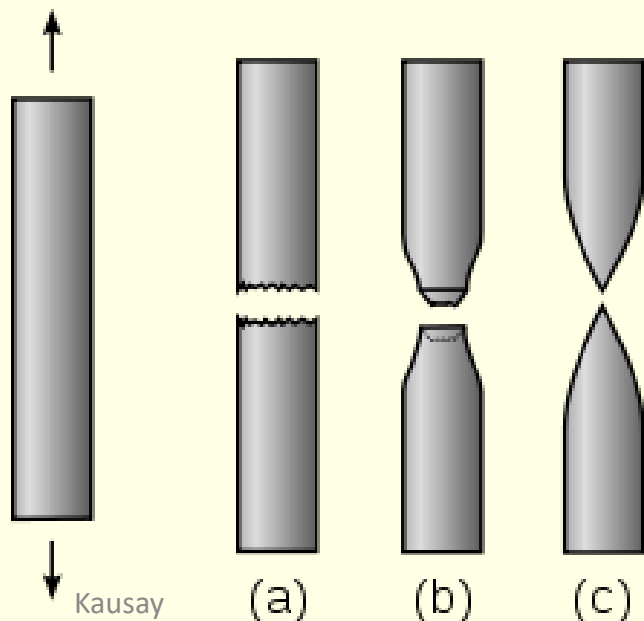
Forrás: www.kislexikon.hu/szivossag.htm

Képlékenység (németül: Duktilität, angolul: ductility) is. Régebben szinonimája volt a kovácsolhatóság, kalapácsolhatóság, nyújthatóság fogalmának)

A **képlékeny acél** alakváltozása terheléskor, a folyáshatár elérése után, a teher növekedésének arányánál nagyobb arányú. A képlékeny acél rugalmassági modulusa a teher növekedésével csökken.

A képlékenység az tulajdonság, amelynek folytán a tartószerkezet teherbírási tartalékainak kimerülése a tönkremenetel előtt jól látható.

Az acél képlékeny alakváltozása szakadás előtt (fajtától függően) akár 25% is lehet.



Acél pálca

(a) rideg törése

(b) **képlékeny** törése

(c) **teljesen képlékeny** törése

Forrás:

<https://de.wikipedia.org/wiki/Duktilit%C3%A4t>

A **betonacél A, B, C duktilitási (alakíthatósági) osztályának** egyik követelménye, a szakítószilárdság (f_t) és a folyáshatár (f_y) hányadosa jellemző (karakterisztikus) értékének megengedett legkisebb értéke, rendre:

$$(f_t/f_y)_k \geq 1,05 \text{ (A osztály);}$$

$$(f_t/f_y)_k \geq 1,08 \text{ (B osztály);}$$

$$(f_t/f_y)_k \geq 1,15 \text{ (C osztály),}$$

de $< 1,35$. Ez a hányados mintegy 15 évvel ezelőtt még jelentősen nagyobb szám volt, azaz az újabb gyártmányok esetén a folyáshatár közelít a szakítószilárdsághoz.

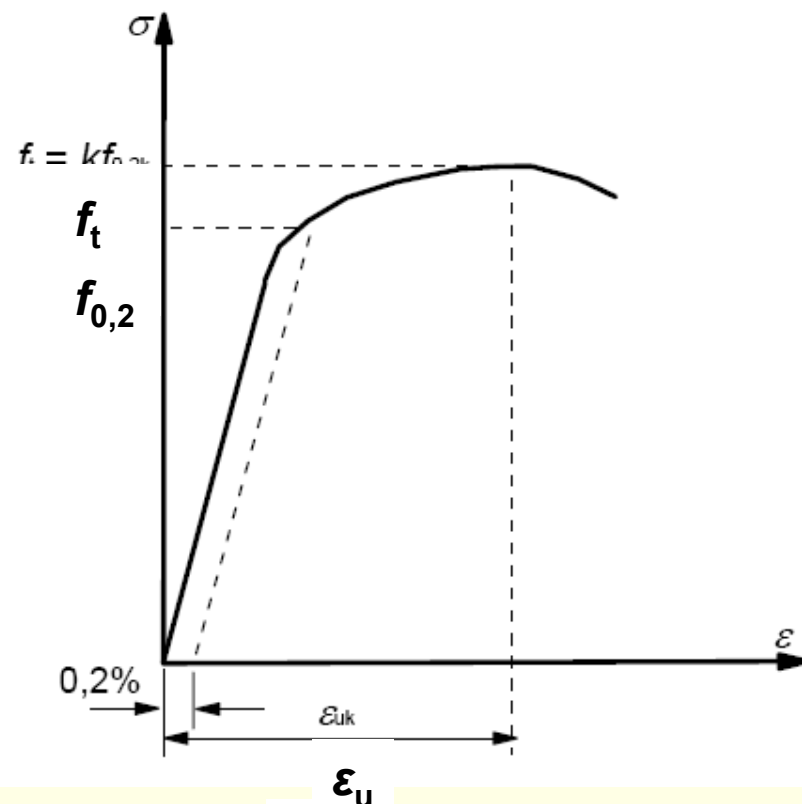
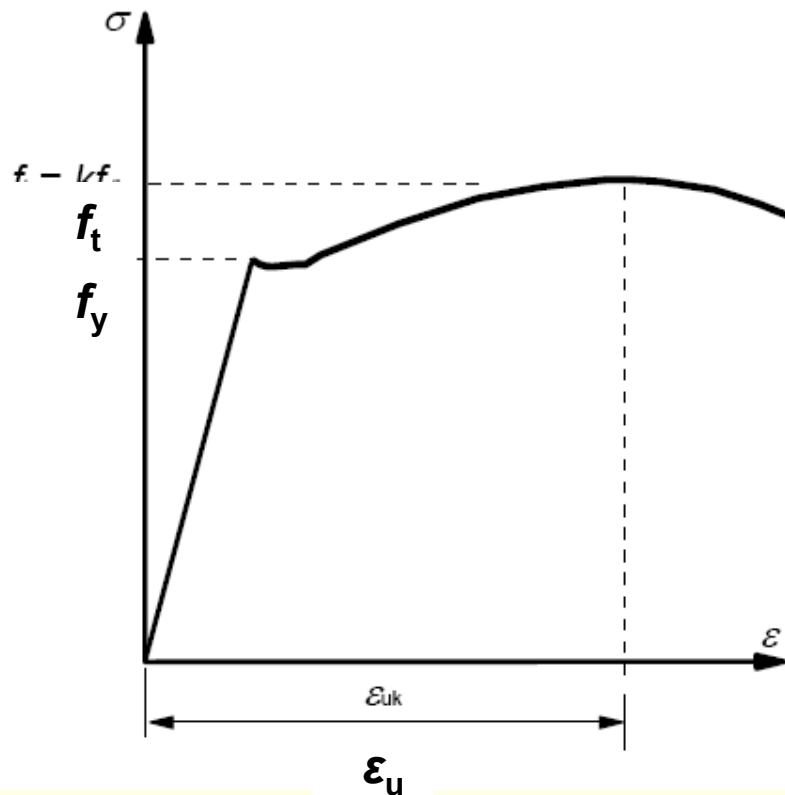
A másik követelmény a **legnagyobb teherhez tartozó fajlagos megnyúlás** jellemző (karakterisztikus) értékének megengedett legkisebb értéke, rendre:

$$\varepsilon_{uk} \geq 2,5\% \text{ (A osztály);}$$

$$\varepsilon_{uk} \geq 5,0\% \text{ (B osztály);}$$

$$\varepsilon_{uk} \geq 7,5\% \text{ (C osztály)}$$

(MSZ EN 1992-1-1:2010 szabvány C1. táblázatából).



Melegen hengerelt **betonacél**

húzófeszültség – fajlagos megnyúlás diagramja

f_t = szakítószilárdság, **jele a Gümpel-féle (2016) könyvben: R_m**

f_y = folyáshatár

A 0,2%-os maradó nyúláshoz tartozó névleges folyáshatár ($f_{0,2}$)
(nevezik 0,2%-os egyezményes folyáshatárnak is),

jele a Gümpel-féle (2016) könyvben: $R_p 0,2$

Az MSZ EN 1992-1-1:2010 szabvány 3.7. ábrája



Kontrakció = Befűződés = A keresztmetszeti terület (A_0) csökkenésének ($A_0 - A_{\text{kontrahált}}$) fajlagos értéke a szakadás helyén:

$$Z\% = \frac{A_0 - A_{\text{kontrahált}}}{A_0} \times 100 = \frac{d_0^2 - d_{\text{kontrahált}}^2}{d_0^2} \times 100$$



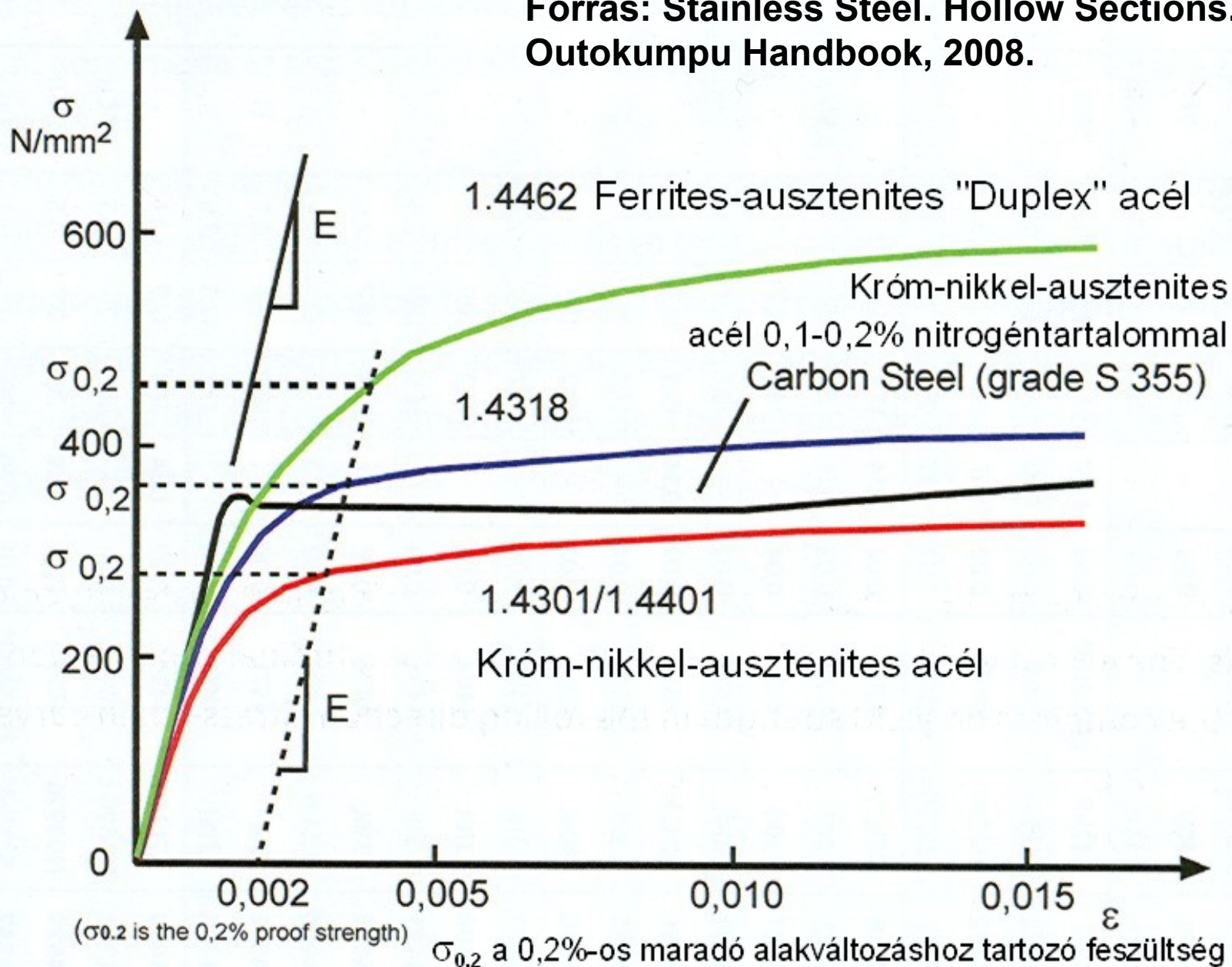
Jele a *Gümpel*-féle (2016) könyvben: A5 2017.02.23 14:49

Névleges átmérő, $d_{\text{névl}} = 12 \text{ mm}$

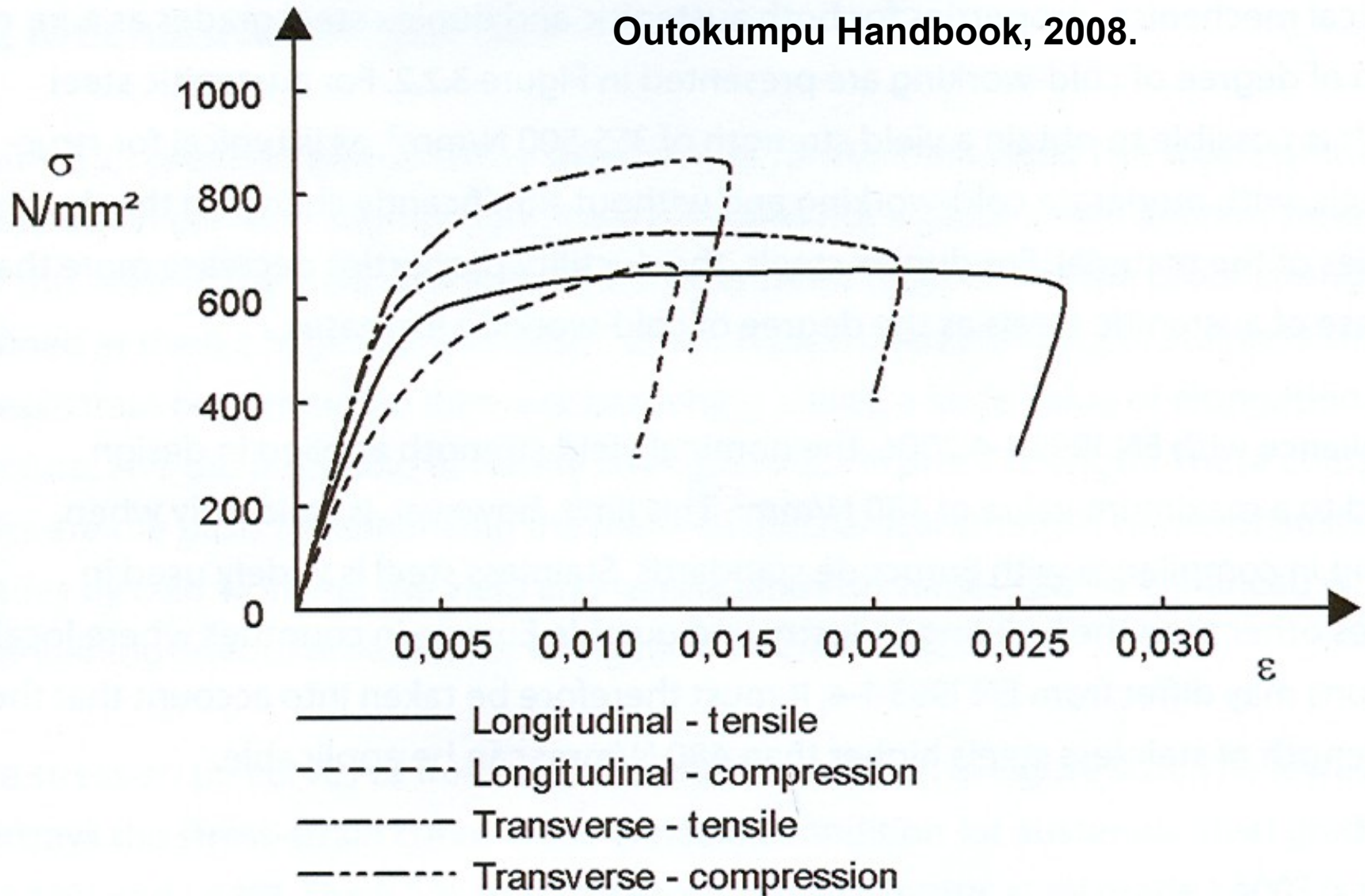
Megnyúlás $5 \times d_{\text{névl}} = 60 \text{ mm}$ hosszon: $\Delta L_{5 \times d} = 73,64 - 60 = 13,64 \text{ mm}$

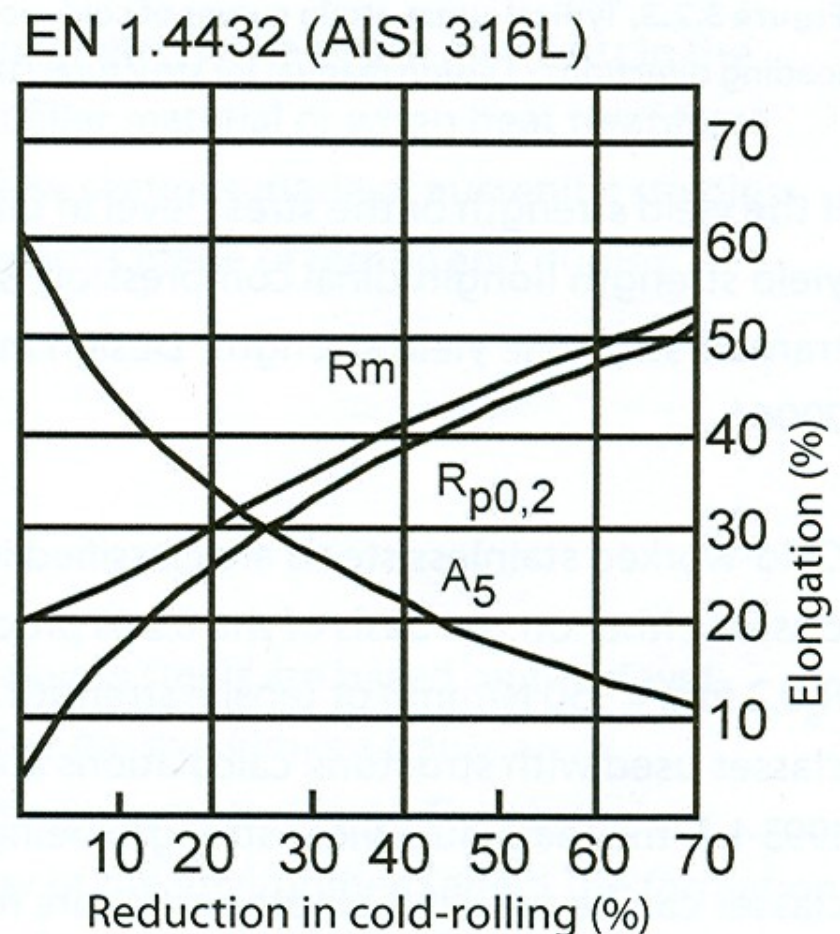
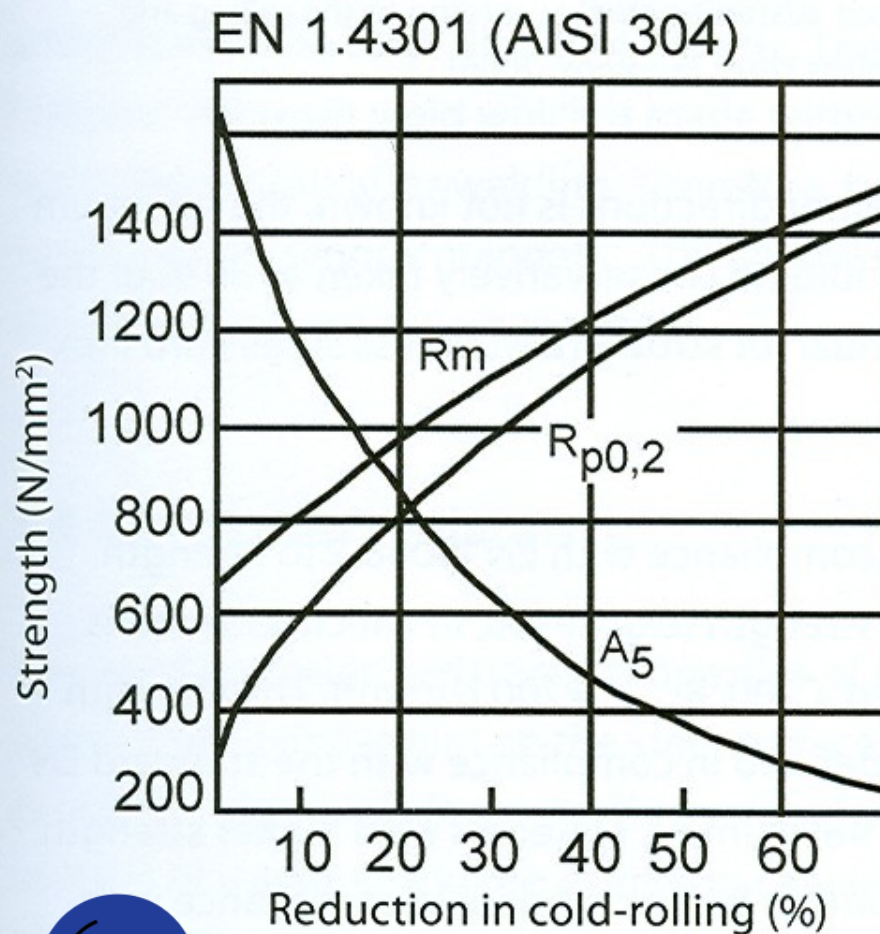
Fajlagos megnyúlás $5 \times d_{\text{névl}} = 60 \text{ mm}$ hosszon: $\varepsilon_{5 \times d} \% = 100 \times \Delta L_{5 \times d} / 60 = 22,7\%$

**Forrás: Stainless Steel. Hollow Sections.
Outokumpu Handbook, 2008.**



**Forrás: Stainless Steel. Hollow Sections.
Outokumpu Handbook, 2008.**





A hideghengerlés hatása a rozsdamentes acél tulajdonságaira
Forrás: Stainless Steel. Hollow Sections. Outokumpu Handbook, 2008.

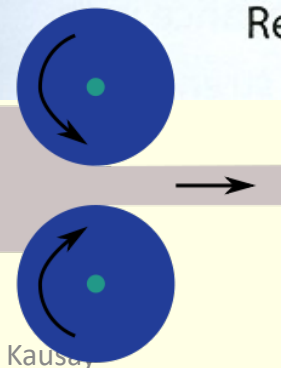


Table 3.2.1. Cold-worked steels in compliance with EN 10088-2:2005 applicable when designing in accordance with EN 1993-1-4.

1)	$R_{p0,2}$ [MPa]	R_m [MPa]	Available steel grades in strip and plate products
CP350	350 - 500	-	1.4318 ²⁾ , 1.4301, 1.4307, 1.4401, 1.4404
CP500	500 - 700	-	1.4318, 1.4301, 1.4307, 1.4401, 1.4404
C700	-	700 - 850	1.4318, 1.4301, 1.4307, 1.4401, 1.4404
C850	-	850 - 1000	1.4318, 1.4301, 1.4307, 1.4401, 1.4404
1) Property class in compliance with EN 10088-2, CP = proof strength, C = tensile strength			
2) Meets the property class requirements in soft annealed condition (designated 2B in EN 10088)			

Forrás: Stainless Steel. Hollow Sections. Outokumpu Handbook, 2008.

Rozsdamentes betonacél



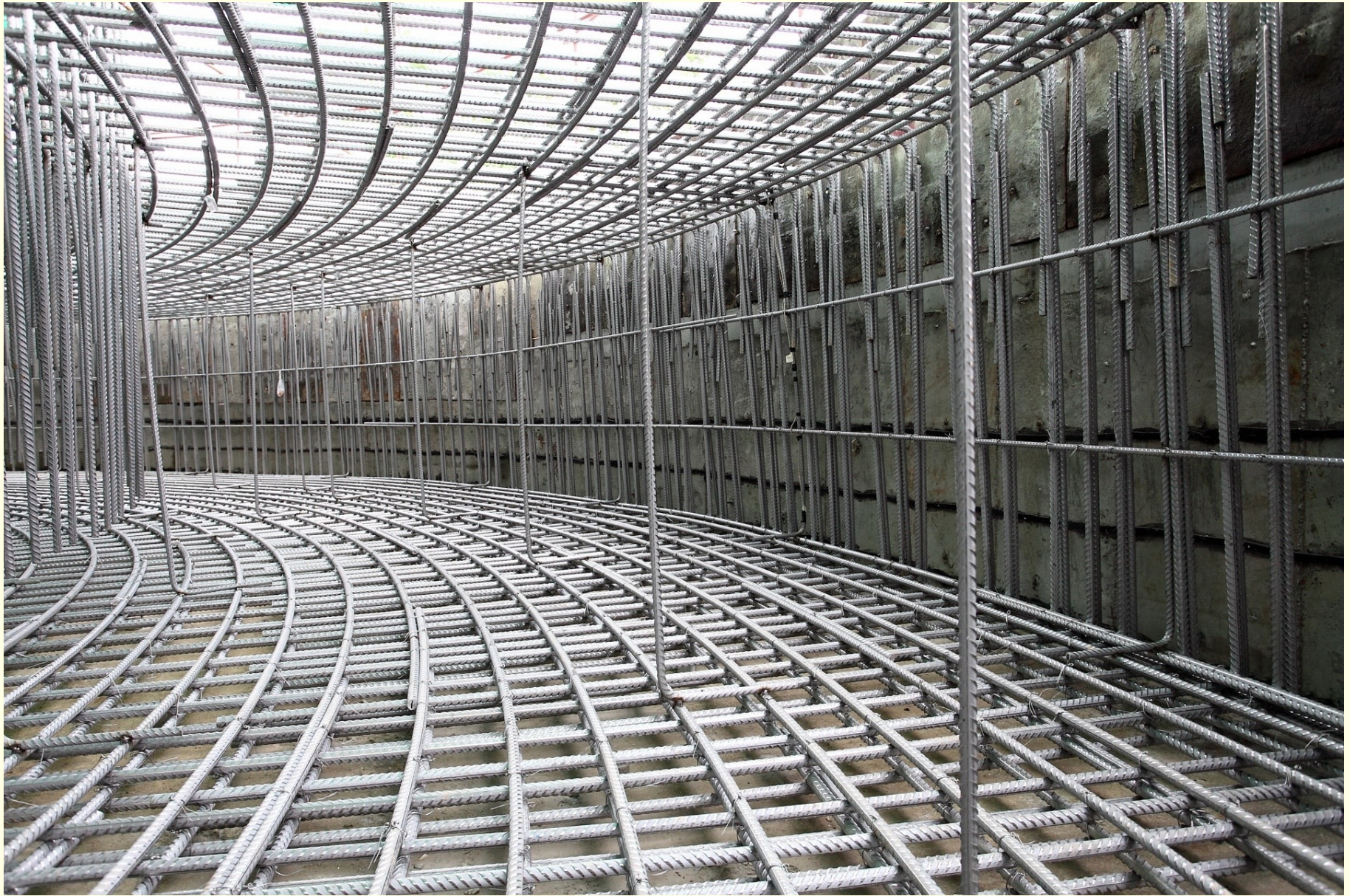
Ø8 mm



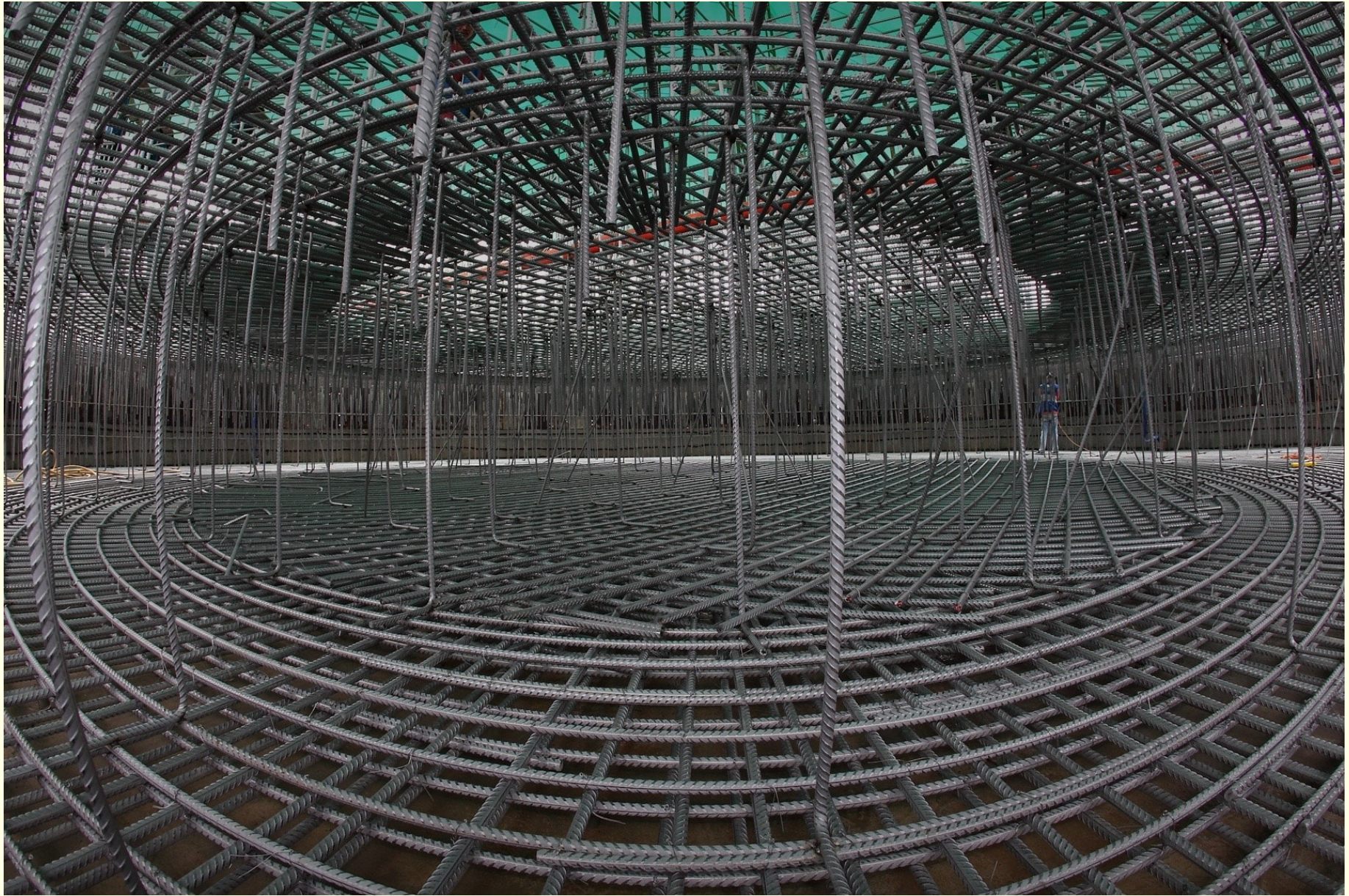
Ø20 mm



Forrás: <http://www.outokumpu.com/de/lieferformen/rostfreier-bewehrungsstahl/Seiten/default.aspx>



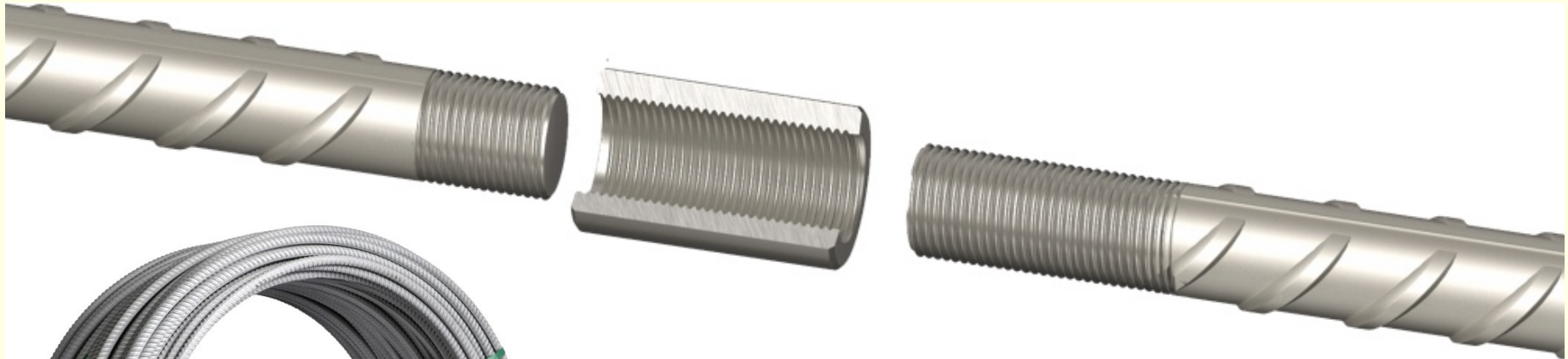
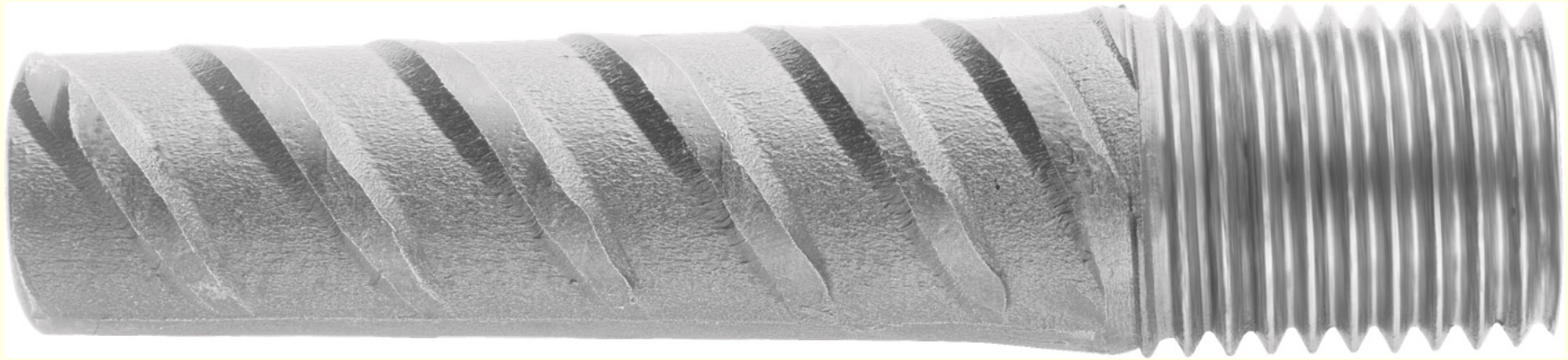
Forrás: <http://www.outokumpu.com/de/lieferformen/rostfreier-bewehrungsstahl/Seiten/default.aspx>



Forrás: <http://www.outokumpu.com/de/lieferformen/rostfreier-bewehrungsstahl/Seiten/default.aspx>



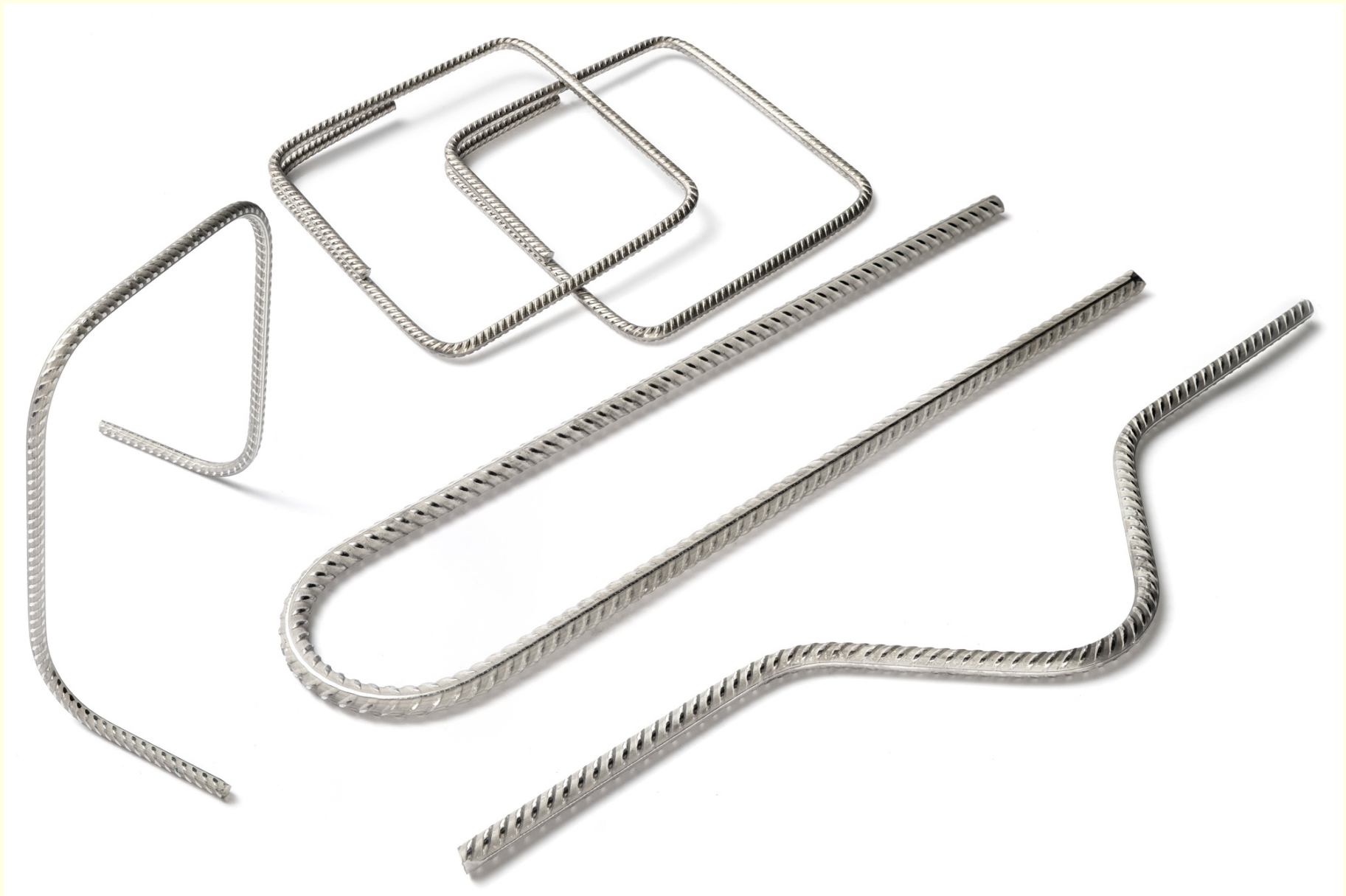
Forrás: <http://www.outokumpu.com/de/lieferformen/rostfreier-bewehrungsstahl/Seiten/default.aspx>



Forrás:
<http://www.outokumpu.com/de/lieferformen/rostfreier-bewehrungsstahl/Seiten/default.aspx>



Forrás: <http://www.outokumpu.com/de/lieferformen/rostfreier-bewehrungsstahl/Seiten/default.aspx>



Forrás: <http://www.outokumpu.com/de/lieferformen/rostfreier-bewehrungsstahl/Seiten/default.aspx>

Betonstähle

Betonacél jelölése

Die Bezeichnung besteht aus:

- B = Hauptsymbol für Betonstähle
- Mechanische Eigenschaften: 3 Ziffern = charakteristischer Wert der Streckgrenze in MPa für den kleinsten Abmessungsbereich. Unter dem Begriff Streckgrenze ist je nach den Angaben in der betreffenden Erzeugnisnorm die obere oder untere Streckgrenze (ReH) oder (ReL) oder die Dehngrenze bei nicht-proportionaler Dehnung (Rp) oder die Dehngrenze bei gesamter Dehnung (Rt) zu verstehen.
- Zusatzsymbole für Stähle der Gruppe 1:
Buchstabe = Duktilitätsklasse, falls erforderlich mit einer oder zwei nachfolgenden Kennziffern
Duktilitätsklasse A = hergestellt aus kaltverformtem Stahl
Duktilitätsklasse B = hergestellt aus warmgewalztem Stahl

Steels for reinforcing concrete

Betonacélok jelölése

The designation is made up of:

B = Principal symbol for steels for reinforcing concrete

Mechanical property: 3 characters = characteristic yield strength in MPa for the smallest dimensional range. The term yield strength refers to upper or lower yield strength (ReH) or (ReL) or proof strength (Rp), or proof strength total extension (Rt) depending on the requirement specified in the relevant product standard.

Additional symbols for steels of group 1:

Letter = ductility class followed, where necessary, by 1 or 2 digits

Ductility class A = made from cold-formed steel

Ductility class B = made from hot-rolled steel

Példa a betonacélok jelölésére

Beispiel: DIN 488: B500A

Betonstahl (B) mit einem festgelegten Mindestwert der Streckgrenze bei Raumtemperatur von 500 MPa, hergestellt aus kaltverformtem Stahl, Duktilitätsklasse A

Anmerkung: Ersatznorm EN 10080 enthält keine definierte Betonstahlsorte.

Forrás: Europäische
Stahlsorten, 2017.

Example: DIN 488: B500A

Reinforcing steel (B) with a specified minimum yield strength at ambient temperature of 500 MPa, made from cold-formed steel, ductility class A

Note: Replacement standard EN 10080 does not specify any reinforcing steels.

Spannstähle

Feszítőacélok jelölése

Die Bezeichnung besteht aus:

- Y = Hauptsymbol für Spannstähle
- Mechanische Eigenschaften: 4 Ziffern = Nennwert für Zugfestigkeit R_m in MPa, bei 3stelligen Angaben für die Zugfestigkeit ist eine Null voranzusetzen.
- Zusatzsymbole für Stähle der Gruppe 1:
 - C = Kaltgezogener Draht
 - H = Warmgewalzte Stäbe oder warmgewalzte und behandelte Stäbe
 - Q = Vergüteter Draht
 - S = Litze
 - G = Andere Merkmale, wenn erforderlich mit 1 oder 2 nachfolgenden Ziffern

Zwecks Unterscheidung zwischen zwei Stahlorten der betreffenden Erzeugnisnorm können an die Zusatzsymbole der Gruppe 1 ein oder zwei Ziffern angehängt werden.

- Weitere Zusatzsymbole für Stahlerzeugnisse siehe Kapitel 1.5

Beispiel: prEN 10138-3: Y1770S7

Spannstahl (Y) mit einem festgelegten Nennwert der Zugfestigkeit bei Raumtemperatur von 1770 MPa, als Litze hergestellt (S), mit 7 Drähten in der Litze (7)

Steels for prestressing concrete **Feszítőacélok jelölése**

The designation is made up of:

- **Y** = Principal symbol for steels for prestressing concrete
 - Mechanical property: 4 characters = nominal tensile strength (R_m) in MPa, where tensile strength is specified by 3 digits the first digit shall be zero.
 - Additional symbols for steels of group 1:
 - C = cold drawn wire
 - H = hot rolled bars or hot rolled and processed bars
 - Q = quenched and tempered wire
 - S = strand
 - G = Other characteristics followed, where necessary by 1 or 2 digits
- Symbols of group 1 may be suffixed by one or two digits in order to distinguish between qualities in accordance with the relevant product standard.
- Further additional symbols for steel products are given in Chapter 1.5

Example: prEN 10138-3: Y1770S7

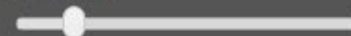
Prestressing steel (Y) with a specified nominal tensile strength at ambient temperature of 1770 MPa, manufactured as strand (S), with 7 wires in the strand (7)

1.2990	1.2714+QT	1.2361	1.2312				
1.2842	1.2709 ESU	1.2360	1.2311	1.2083 ESU			
1.2510	1.2550	1.2358	1.2294	1.2080		1.4571	
1.2826	1.2436	1.2344	1.2210	1.2067		1.4305	
1.2767	1.2379	1.2344 ESU	1.2162	1.1730		1.4301	1.7225
1.2767 ESU	1.2367	1.2343	1.2099	1.0570	HSS 1.3343	1.4122	1.7225+QT
1.2738	1.2365	1.2343 ESU	1.2085	Toolox 33	HSS PM 23	1.4112	1.7147
1.2714	1.2363	1.2316	1.2083	Toolox 44	HSS PM 4	1.4034	1.7131

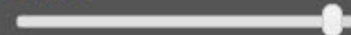
Eigenschaften

[< Zurück](#) [Werte zurücksetzen](#)

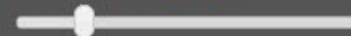
☒ Zugfestigkeit im Lieferzustand (ca.):
770 N/mm²



☒ Gewünschte Arbeitshärte (min.):
62 HRC



☒ Zulässige Arbeitstemperatur: von
20°C bis mind. 200 °C



☒ Zerspanbarkeit (im Lieferzustand):
★★★★★

☒ Zähigkeit:
★★★★★

☒ Verschleißbeständigkeit:
★★★★★

☒ Korrosionsbeständigkeit:
★★★★★

Acél kiválasztó felület: <http://www.stahlberater.de/?cc=de>

1.2990 1.2714+QT 1.2361 1.2312

PREMIUM 1.2510 100MnCrW4

1. Eigenschaften

Lieferhärte max. 229 HB

1. Analyse

Zugfestigkeit (Lieferzustand ca.) 770 N/mm²

1. Ausführungen

Arbeits Härte max. 62 HRC

1. Alternativen

Zugfestigkeit (bei max. Arbeits Härte) >2.180 N/mm²

1. PDF Download

Arbeits Temperatur 20 bis 200°C

1. Online-Shop

Zerspanbarkeit ★★★★★

Zähigkeit ★★★★★

Verschleißbeständigkeit ★★★★★

Korrosionsbeständigkeit ★★★★★

Technische Eigenschaften:

1.2510: Sehr universell einsetzbarer mittellegierter Ölhärter mit Schwerpunkt Kaltarbeit: hohe Härteannahme, hohe Maßbeständigkeit sowie gute Schneidhaltigkeit und Zähigkeit. Eigenschaften und Anwendungen sind weitestgehend identisch mit dem Werkstoff 1.2842. Arbeits Härte: 57-62 HRC.

Eigenschaften

< Zurück Werte zurücksetzen

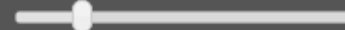
☒ Zugfestigkeit im Lieferzustand (ca.):
770 N/mm²



☒ Gewünschte Arbeits Härte (min.):
62 HRC



☒ Zulässige Arbeits Temperatur: von
20°C bis mind. 200 °C



☒ Zerspanbarkeit (im Lieferzustand):
★★★★★

☒ Zähigkeit:
★★★★★

☒ Verschleißbeständigkeit:
★★★★★

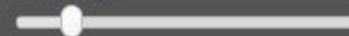
☒ Korrosionsbeständigkeit:
★★★★★

Acél kiválasztó felület: <http://www.stahlberater.de/?cc=de>

[To the homepage](#)
[App for iPhone/iPad](#)
[App for android smartphones/tablets](#)
[Introduction video](#)

1.2990	1.2714+QT	1.2361	1.2312		
1.2842 BO 2	1.2709 ESU / ESR	1.2360 ~Chipper	1.2311	1.2083 ESU / ESR	
1.2510 BO 1	1.2550 BS 1	1.2358	1.2294	1.2080 BD 3	1.4571 320 S 31
1.2826	1.2436 BD 6	1.2344 BH 13	1.2210	1.2067 BL 3 / BL 1	1.4305 303 S 31
1.2767	1.2379 BD 2	1.2344 ESU BH 13 ESR	1.2162	1.1730	1.4301 304 S 15
1.2767 ESU / ESR	1.2367	1.2343 BH 11	1.2099	1.0570 (St 52-3)	HSS 1.3343 BM 2
1.2738	1.2365 BH 10	1.2343 ESU BH 11 ESR	1.2085	Toolox 33	HSS PM 23 BM 3
1.2714	1.2363 BA 2	1.2316	1.2083	Toolox 44	HSS PM 4 BM 4

Properties

[< Back](#)
[Restore values](#)
☒ Tensile strength on delivery (approx.):
765 N/mm²

☒ Desired working hardness (min.):
61 HRC

☒ Allowable operating temperature:
 from 20 °C to min. **200 °C**

☒ Machinability (on delivery):
 ★ ★ ★ ★ ★

☒ Toughness:
 ★ ★ ★ ★ ★

☒ Wear resistance:
 ★ ★ ★ ★ ★

☒ Corrosion resistance:
 ★ ★ ★ ★ ★

Acél kiválasztó felület: <http://www.steel-guide.co.uk/?cc=gb>

ABRAMS PREMIUM STEEL
 is a registered trademark of
 Abrams Engineering Services GmbH & Co. KG
 Hannoversche Str. 38 • 49084 Osnabrueck / Germany

T*: +44 (0) 121 368 0910
 F*: +44 (0) 121 368 0911
app@premium-steel.co.uk

sales@premium-steel.co.uk
www.premium-steel.co.uk
shop.premium-steel.co.uk

GTC
 DISCLAIMER
 IMPRINT

* The domestic service numbers listed here are used to reduce the costs for our clientele in Great Britain. You will be redirected to our native English speaking accounts managers in Germany.

[To the homepage](#)

[App for iPhone/iPad](#)

[App for android smartphones/tablets](#)

[Introduction video](#)

1.2990 1.2714+QT 1.2361 1.2312

PREMIUM 1.2510 – BS BO 1 100MnCrW4

1. B	Properties	Delivery hardness max.	229 HB
1. B	Chemical composition	Tensile strength (approx. on delivery)	770 N/mm2
1.	Specifications	Working hardness max.	62 HRC
1.	Alternatives	Tensile strength (at max. working hardness)	>2,180 N/mm2
1.	PDF Download	Working temperature	20 up to 200°C
1. E	Online Shop	Machinability	★★★★★
1.		Toughness	★★★★★
1.		Wear resistance	★★★★★
1.		Corrosion resistance	★★★★★
	Technical properties: BS BO 1: Alloyed oil hardener with focus on cold work, can be used for a wide range of applications: full hardenability, high degree of dimensional stability, good cutting power and good toughness. Its technical properties and its applications are similar to those of BS BO 2. Working hardness: 57-62 HRC.		

Properties

< Back	Restore values
<input checked="" type="checkbox"/>	Tensile strength on delivery (approx.): 765 N/mm ²
<input checked="" type="checkbox"/>	Desired working hardness (min.): 61 HRC
<input checked="" type="checkbox"/>	Allowable operating temperature: from 20 °C to min. 200 °C
<input checked="" type="checkbox"/>	Machinability (on delivery): ★★★★★
<input checked="" type="checkbox"/>	Toughness: ★★★★★
<input checked="" type="checkbox"/>	Wear resistance: ★★★★★
<input checked="" type="checkbox"/>	Corrosion resistance: ★★★★★

Acél kiválasztó felület: <http://www.steel-guide.co.uk/?cc=gb>

Erzeugung von nichtrostendem Stahl gestiegen

29 March 2017

Die weltweite Produktion von nichtrostendem Stahl hat sich 2016 gegenüber dem Vorjahr um 10,2 Prozent auf 45,8 Millionen Tonnen erhöht. Das berichtete das Internetportal „stahl-online.de“ der Wirtschaftsvereinigung Stahl unter Berufung auf eine Mitteilung des International Stainless Steel Forums (ISSF). In China sei die Produktion von nichtrostendem Stahl im Vergleich zu 2015 um 15,7 Prozent auf 24,9 Millionen Tonnen gestiegen, heißt es.

Rozsdamentes acél termelése növekszik a világban

Globális termelés rozsdamentes acélból 2016-ban az előző évhez képest 10,2 százalékkal nőtt, és mintegy 45,8 millió tonnát tett ki. Erről számolt be a német Acél Szövetség „stahl-online.de” internetes portálja, a Nemzetközi Stainless Steel Forumra (ISSF) hivatkozva. Kínában a termelés a rozsdamentes acélból 2015-höz képest 15,7 százalékkal nőtt, nagysága 24,9 millió tonna.

11 April 2017

Die Rohstahlerzeugung in Deutschland ist im März 2017. um 1,9 Prozent gegenüber dem Vorjahresmonat auf 3,9 Millionen Tonnen gewachsen. Das teilte die Wirtschaftsvereinigung Stahl mit. Die Produktion lag demnach im ersten Quartal 2017 knapp 2 Prozent über der des Vorjahres.

Die Stahlmengenkonjunktur habe somit ihren moderaten Erholungskurs fortgesetzt, der durch die Auftragseingangsentwicklung im abgelaufenen Jahr vorgezeichnet gewesen sei, heißt es.

FujiwaraMuro Architects tervezte karcsú három szintes családi ház Osakában, a teljes homlokzatfelületet kitöltő ablakokkal, eléjük **rozsdamentes acél lánc** függönyt húzva, amely lehetővé teszi a fény beáramlását, miközben a magánélet sem kerül teljesen a "kirakatba".



Forrás: <http://tervlap.hu/cikk/show/id/5245> és <https://www.dezeen.com/2017/04/09/steel-chain-curtains-skinny-split-level-house-fujiwaramuro-architects-osaka-japan/>

Barcelonai Basilika Sagrada Família



Forrás: http://www.umformtechnik.net/edelstahlbleche-und-%E2%80%93langgut-fuer-barcelonas-sagrada-fam%C3%ADlia_32206_de/#

Barcelonai Basilika Sagrada Família (Szent Család templom)

A templomot **Antoni Plàcid Gaudi** (Reus, 1852 – Barcelona, 1926) katalán építész tervezte. A templom alapkövetétele 1882-ben volt. Az építés befejezését háborúk és anyagi nehézségek hátráltatták, most azonban 2026-ra a teljes befejezésről döntöttek. Az építés költségét, mint eddig is, teljes egészében idegenforgalmi és múzeumi adományokból és bevételekből fedezik. A templom látogatóinak száma évente 3,2 millió fő. A templom az építés alatt is zavartalanul látogatható.

Befejezett állapotában a neogótikus Sagrada Família templomnak 18 darab 94-182 m magas tornya lesz. A toronyszerkezetek rozsdamentes acél anyagát elsősorban szilárdsága és korrózióállósága alapján választották ki. A különféle alakú és méretű „Forta DX 2304” és „Forta DX 2205” típusú rozsdamentes acélok egyedüli beszállítója a finn Outokumpu acélművek.

Forrás: http://www.umformtechnik.net/edelstahlbleche-und-%E2%80%93langgut-fuer-barcelonas-sagrada-fam%C3%ADlia_32206_de/#



Antoni Gaudí 1878-ban

Forrás: https://hu.wikipedia.org/wiki/Antoni_Gaud%C3%AD



Sagrada Família templom 2005-ben



Forrás: http://www.umformtechnik.net/edelstahlbleche-und-%E2%80%93langgut-fuer-barcelonas-sagrada-fam%C3%ADlia_32206_de/#



Seine Modelle aus schlaffen Schnüren hatte Gaudí kopfunter aufgehängt und je nach Gestaltung mit Gewichten beschwert. Das Verfahren empfahl sich für Baustrukturen, die vor allem auf Druck beansprucht sind und kaum auf Biegung. Bild: Fili

Barcelonai Basilika Sagrada Família

A templom tervezője, **Antoni Gaudí** a templom erőjátékát súlyokkal terhelt lazán felfüggesztett zsinórhálóval modellezte, majd a modellt képzeletben „talpára állította”. Ezt a modellezési módot a gótikára jellemző, főleg nyomásra igénybe vett, hajlításnak alig kitett szerkezetek esetén célszerű alkalmazni.

Forrás:

http://www.umformtechnik.net/edelstahlbleche-und-%E2%80%93langgut-fuer-barcelonas-sagrada-fam%C3%ADlia_32206_de

A Kuvaitban 2018-ra elkészülő, 36 km hosszú „Scheich Dschabir al-Ahmad as-Sabah” híd építéséhez az Outokumpu acélművek 1600 tonna Forta DX 2304 típusú rozsdamentes acélt szállít.

Forrás:

http://www.outokumpu.com/SiteCollectionImages/Imagegalleries/Outokumpu%20wins%20a%20stainless%20steel%20rebar%20order%20for%20a%20highway%20bridge%20project%20in%20Kuwait/s6_al-sabah-causeway2_1208x804pxl.jpg



8 May 2017

Outokumpu hat eigenen Angaben zufolge 1.000 Tonnen Edelstahl der Sorte Supra 316L/4404 für den Hauptsitz der China Resources Group in China bereitgestellt. Dieser 392,5 Meter hohe Wolkenkratzer wird gerade gebaut und soll bis 2018 fertiggestellt werden. Das geht aus einer Mitteilung des finnischen Edelstahlkochers hervor. Der Edelstahl aus dem Outokumpu-Kaltwalzwerk im hessischen Dillenburg wurde demnach in „Deco Linen“-Oberflächenausführung gefertigt und geliefert. Der Wolkenkratzer, der von den Architekten der Firma KPF entworfen worden sei, habe 56 äußere Edelstahl-Stützen, die als Träger für die Glasfassade dienen. So werde eine charakteristische Form geschaffen, ohne dass innere Säulen benötigt würden, um eine offene Raumaufteilung zu ermöglichen, heißt es.

Itt lehet róla részletesebben olvasni: <http://www.rp-online.de/nrw/staedte/krefeld/krefeld-stahl-fuer-392-meter-wolkenkratzer-in-china-aid-1.6808638>

Die City von Shenzhen in China soll bis Ende des kommenden Jahres um eine Attraktion reicher sein: Die China Resources Group baut einen 392,5 Meter hohen Wolkenkratzer, in dem 1000 Tonnen Edelstahl von Outokumpu verbaut sein werden. FOTO: CLW





Im Kaltwalzwerk in Dillenburg wurde der Edelstahl in der Oberflächenausführung "Deco Linen" für die Fassade des Wolkenkratzers gefertigt, die Logistik in Krefeld koordiniert. FOTO: Outokumpu



Borotva pengék martenzites rozsdamentes acélból

**Forrás: Merkblatt 821 „Edelstahl Rostfrei. Eigenschaften” 5. Auflage.
Informationsstelle Edelstahl Rostfrei. Düsseldorf, 2014.**

http://www.edelstahl-rostfrei.de/downloads/iser/MB_821.pdf

Vonatkozó szabványok

MSZ EN 10083-1:2006 Angol nyelvű!

„Nemesíthető acélok. 1. rész: Általános műszaki szállítási feltételek”

MSZ EN 10088-1:2015 Angol nyelvű!

„Korrózióálló acélok. 1. rész: A korrózióálló acélok jegyzéke”

MSZ EN 10088-2:2015 Angol nyelvű!

„Korrózióálló acélok. 2. rész: Az általános felhasználású, korrózióálló acél finom- és durvalemezek és szalagok műszaki szállítási feltételei”

MSZ EN 10088-3:2015 Angol nyelvű!

„Korrózióálló acélok. 3. rész: Az általános felhasználású félgyártmányok, rudak, hengerhuzalok, huzalok, idomacélok és fényes termékek műszaki szállítási feltételei”

MSZ EN 10088-4:2009 Angol nyelvű!

„Korrózióálló acélok. 4. rész: Szerkezeti célú, korrózió ellenálló acél finom- és durvalemezek, valamint szalagok műszaki szállítási feltételei”

MSZ EN 10088-5:2009 Angol nyelvű!

„Korrózióálló acélok. 5. rész: Szerkezeti célú, korrózió ellenálló acélból készült rudak, hengerhuzalok, huzalok, idomacélok és fényes termékek műszaki szállítási feltételei”

ASTM A 240/A 240Ma:2016

„Standard Specification for Chromium and Chromium-Nickel Stainless Steel Plate, Sheet, and Strip for Pressure Vessels and for General Applications”

Felhasznált irodalom



3.3.4	Geschweißte Stahlrohre Auflistung nach steigenden Werkstoff-Nummern	182
3.3.5	Formstücke zum Einschweißen Auflistung nach steigenden Werkstoff-Nummern	196
3.4	Stähle zum Kaltumformen Auflistung nach steigenden Werkstoff-Nummern	198
3.5	Stähle für oberflächenveredelte Bänder und Bleche Auflistung nach steigenden Werkstoff-Nummern	205
3.6	Stähle mit festgelegten Eigenschaften bei erhöhten Temperaturen (früher: „warmfeste“ Stähle) sowie Stähle für einfache Druckbehälter Auflistung nach steigenden Werkstoff-Nummern	218
3.7	Automatenstähle Auflistung nach steigenden Werkstoff-Nummern	222
3.8	Einsatzstähle Auflistung nach steigenden Werkstoff-Nummern	223
3.9	Vergütungsstähle Auflistung nach steigenden Werkstoff-Nummern	226
3.10	Nichtrostende Stähle	235
3.10.1	Korrosionsbeständige Stähle Auflistung nach steigenden Werkstoff-Nummern	235
3.10.2	Hitzebeständige Stähle Auflistung nach steigenden Werkstoff-Nummern	249
3.10.3	Hochwarmfeste Stähle (künftig: „warmfeste“ Stähle) Auflistung nach steigenden Werkstoff-Nummern	250
3.11	Ventilstähle und -legierungen Auflistung nach steigenden Werkstoff-Nummern	252
3.12	Nitrierstähle Auflistung nach steigenden Werkstoff-Nummern	253
3.13	Nickellegierte kaltzähe Stähle Auflistung nach steigenden Werkstoff-Nummern	254

3.3.4	Welded steel tubes Listing according to material numbers in numerical order	182
3.3.5	Butt-welding pipe fittings Listing according to material numbers in numerical order	196
3.4	Steels for cold forming Listing according to material numbers in numerical order	198
3.5	Steels for coated strips and sheets Listing according to material numbers in numerical order	205
3.6	Steels with specified elevated temperature properties and steels for simple pressure vessels Listing according to material numbers in numerical order	218
3.7	Free-cutting steels Listing according to material numbers in numerical order	222
3.8	Case hardening steels Listing according to material numbers in numerical order	223
3.9	Quenched and tempered steels Listing according to material numbers in numerical order	226
3.10	Stainless steels	235
3.10.1	Corrosion resisting steels Listing according to material numbers in numerical order	235
3.10.2	Heat resisting steels Listing according to material numbers in numerical order	249
3.10.3	Creep resisting steels Listing according to material numbers in numerical order	250
3.11	Valve steels and alloys Listing according to material numbers in numerical order	252
3.12	Nitriding steels Listing according to material numbers in numerical order	253
3.13	Nickel alloyed steels with specified low temperature properties Listing according to material numbers in numerical order	254



Paul Gümpel
und 7 Mitautoren

Rostfreie Stähle

Grundwissen, Konstruktions-
und Verarbeitungshinweise

5., durchgesehene Auflage

Mit 224 Bildern und 34 Tabellen

Kontakt & Studium Band 493

expert  verlag®

Renningen, 2016.

Rostfreie Stähle

Grundwissen, Konstruktions- und Verarbeitungshinweise

Prof. Dr.-Ing. Paul Gümpel

Dipl.-Ing. Gunter Blumhofer

Prof. Dr.-Ing. Horst Dören

Dipl.-Ing. Wolfgang Gebel

Dr.-Ing. Winfried Heimann

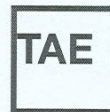
Dr. Rudolf Morach

Dr.-Ing. Karl W. Schmitz

Dr.-Ing. Georg Uhlig

5., durchgesehene Auflage

Mit 224 Bildern und 34 Tabellen



Kontakt & Studium
Band 493

Herausgeber:

Prof. Dr.-Ing. Dr. h.c. Wilfried J. Bartz

Dipl.-Ing. Hans-Joachim Mesenholl

Dipl.-Ing. Elmar Wippler

expert  verlag®

Renningen, 2016.

Jörg Dombrowski (Hrsg.)

Schweißen im Metallbau

Planen, Ausführen, Nachbehandeln, Toleranzen



Coleman

Köln, 2015.

Metallbau

Schweißen im Metallbau

Planen, Ausführen, Nachbehandeln, Toleranzen

259 Abbildungen und 111 Tabellen

Herausgeber:

Dipl.-Ing. Jörg Dombrowski

Autoren:

Ing.-Päd. f. Maschinenbau Lothar Hirschhausen

Dipl.-Ing. Frank Kania,
Schweißfachingenieur (EWE)

Dipl.-Ing. (FH) Armin Richter,
Schweißfachingenieur (IWE)

Dr.-Ing. Uwe Roxlau

Metallbauermeister Roland Rühlmann,
Schweißfachmann (IWS)

M. Sc. Dipl.-Ing. (FH) René Schasse,
Schweißfachingenieur (IWE)

Dipl.-Ing. Joachim Schmidt

Prof. Dr.-Ing. habil. Jochen Schuster

Dipl.-Ing. (FH), Metallbauermeister Stephan Stickling,
Schweißfachingenieur (IWE)

Dipl.-Ing. Karsten Zimmer,
Schweißfachingenieur (EWE)

Coleman

Köln, 2015.

**OUTO
KUMPU**

Szakmai konferencia 2011

Korróziálló acélok alkalmazása az építőiparban



**OUTO
KUMPU**

Szakmai konferencia
2011.
*Korróziálló acélok
alkalmazása az építőiparban*

Előadások anyagai

Stainless Steel Hollow Sections Handbook

Finnish Constructional Steelwork Association Ltd.
Helsinki, 2008.

With compliments

Outokumpu Stainless Tubular Products

STALE
TUBE

OUTO
KUMPU

FCSA

Finnish Constructional
Steelwork Association



Activating Your Ideas

Stainless steel for corrosion
resistant concrete reinforcement

OUTO
KUMPU

Klein

Einführung in die DIN-Normen

14. Auflage



Beuth

2008.

Klein

Einführung in die DIN-Normen

Herausgegeben vom
DIN Deutsches Institut für Normung e.V.

Bearbeitet von

Dieter Alex, Andrea Fluthwedel, Wolfgang Goethe,
Tim Hofmann, Gerhard Imgrund, Manfred Kaufmann,
Peter Kiehl, Stefan Krebs, Babara Rasch,
Bärbel Schambach, Alois Wehrstedt

14., neubearbeitete Auflage

Mit 2051 Bildern, 733 Tabellen und 352 Beispielen



Beuth

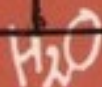
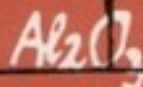
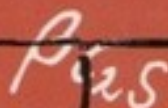
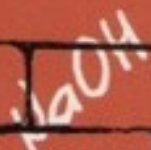
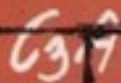
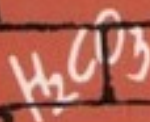
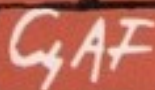
2008.

B.G. Teubner Stuttgart · Leipzig · Wiesbaden
Beuth Verlag GmbH Berlin · Wien · Zürich

Dr. Balázs György

Építőanyagok és kémia

Megyei Kiadó



1984.

Építőanyagok és kémia

Írta:

Dr. Balázs György

egyetemi tanár

a műszaki tudományok doktora

TANKÖNYVKIADÓ, BUDAPEST, 1984

OSZTATNI MIHÁLY

KONVERTER- ACÉLGYÁRTÁS

MŰSZAKI KÖNYVKIADÓ

1982.

Osztatni Mihály

okl. kohómérnök

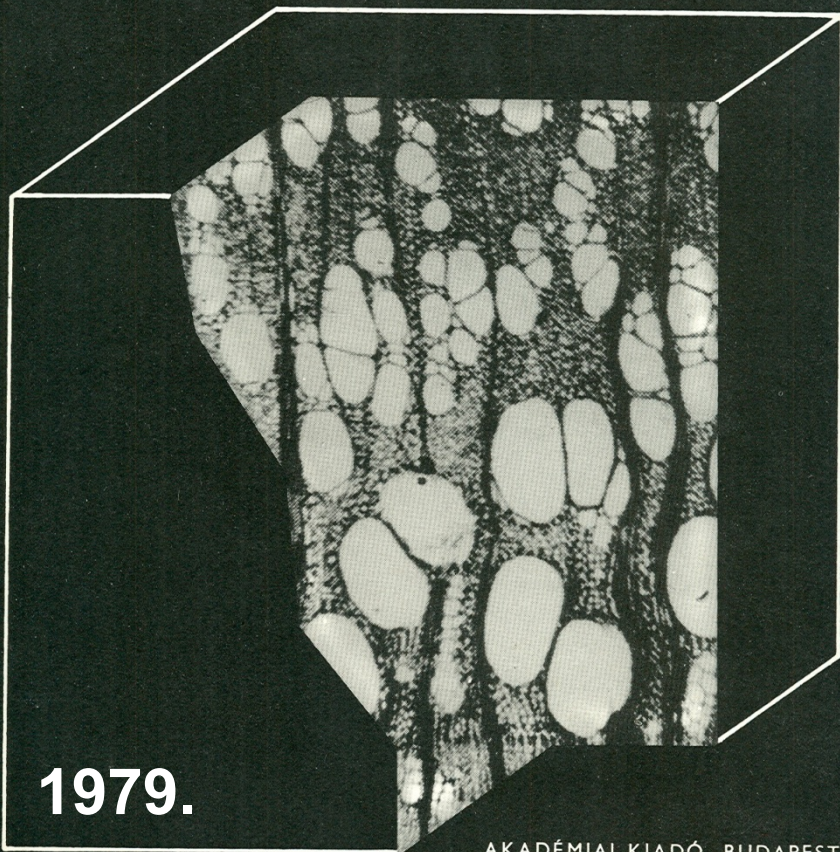
KONVERTERACÉLGYÁRTÁS

ÉRKEZTETI
MŰSZAKI KÖNYVTÁR
Bevetelnyr. 23059 feltári számon
8.

Műszaki Könyvkiadó, Budapest, 1982

MÉRNÖKI SZERKEZETEK ANYAGTANA 2.

FA-KŐ-FÉM-
PALOTÁS KÖTŐANYAGOK



1979.

AKADÉMIAI KIADÓ, BUDAPEST

MÉRNÖKI SZERKEZETEK ANYAGTANA 2.

FA-KŐ-FÉM-
KÖTŐANYAGOK

ÍRTA

DR. PALOTÁS LÁSZLÓ

A MŰSZAKI TUDOMÁNYOK DOKTORA,
KOSSUTH-DÍJAS NY. EGYETEMI TANÁR

MUNKATÁRSÁK:

DR. KERTÉSZ PÁL

A MŰSZAKI TUDOMÁNYOK KANDIDÁTUSA, EGYETEMI DOCENS
(V. RÉSZ)

DR. VERESS SÁNDOR

NY. FŐISKOLAI TANÁR
(VI. RÉSZ)



AKADÉMIAI KIADÓ • BUDAPEST 1979

Handbuch der Sonderstahlkunde

Von
Ed. Houdremont

Band I

Handbuch der Sonderstahlkunde

Von

Prof. Dr.-Ing. Eduard Houdremont

Vorstandsmitglied der Fried. Krupp A.-G., Essen

Mit 873 Textabbildungen
und 224 Zahlentafeln



Springer-Verlag Berlin Heidelberg GmbH
1943

WEIGELSBERGI WEIGL ERNŐ
TAKARÉKACÉLOK

Budapest, 1943.

TAKARÉKACÉLOK

ÍRTA:

weigelsbergi WEIGL ERNŐ

OKL. VASKOHÓMÉRNÖK, ÁLLAMVASGYÁRI MŰSZAKI TANÁCSOS,
A MÁVAG ELEKTROACÉLMŰVÉNEK FŐNÖKE

A SZERZŐ KIADÁSA

NYOMATOTT

A KIR. MAGYAR EGYETEMI NYOMDÁBAN BUDAPESTEN 1943. ÉVBEN

Monypenny - Schäfer
Rostfreie Stähle

Rostfreie Stähle

Berechtigte deutsche Bearbeitung der Schrift „Stainless
Iron and Steel“ von J. H. G. Monypenny in Sheffield

Von

Dr.-Ing. Rudolf Schäfer

Mit 122 Textabbildungen



Berlin
Verlag von Julius Springer
1928



**Köszönöm
a szíves figyelmüket...**